

2019

月刊 总第24期

Building Environment & Energy

主办: 中国建筑科学研究院建筑环境与节能研究院 ***** BERRESER 本期导读 06 | 新闻直通车 | News Express | 黄公胜教授:《不确定性:如何影响建筑能耗系统设计》 《村镇建筑用能系统整合与能效提升技术研究》在度中期工作会召开 《建筑节能与可再生能源利用通用规范》制冷设备性能指标专题会召开 《中国可再生能源发展报告 (2018)》发布 四部委部署工业炉窑大气污染治理 2020 年形成完善治理体系 22 | 热点聚焦 | Spotlight | 2019 年供暖技术学术年会在拉萨顺利召开 39 | 案例變析 | Cases |

武汉生态城碧柱园会议中心酒店的空调设计

中国博览会会展综合体项目(北块)



格力数据中心变频冷水机组 引领IDC变频绿色新时代









搜索、



江亿: 城镇供暖低碳发展路线

建筑供暖要求的室温是 20℃ 左右,因此只要是能够在 20℃ 下释放热量的热源,从原则上讲都可以作为供暖热源。建筑供暖应以低品位能源为主,而燃煤锅炉、燃气锅炉、电锅炉都是把高品位能源转换为低品位热量,会造成严重浪费,因此不应作为建筑供暖热源。

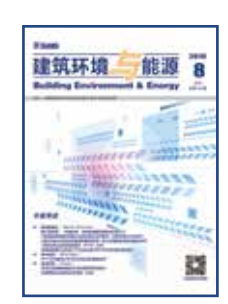
目前,我国城镇供热热源中仍有超过一半是各类锅炉,这与节能低碳的要求完全不符。因此,北方供暖要实现低碳发展,必须彻底改变当前的热源模式,向以低品位热源为主的能源结构转型。

在转型中必须解决以下两个问题:

一是火电厂、产生工业余热工厂的分布情况与需要供暖的城镇建筑在地理位置上存在不匹配的问题。这一问题可通过热量长途输送的方式予以解决。经分析表明,输送半径在150公里以内就可以实现热量产生与供暖需热量之间的匹配。目前,国内已有一批实际工程案例,运行结果也显示了这一技术的可行性和优越性。

二是火电厂规划的主要功能为电力调峰,当冬季改为热电联产方式,在发电的同时还要承担建筑供热,存在如何满足电力调峰需求的问题。这需要彻底改变目前火电厂热电联产的模式,变"以热定电"的方式为"热电协同"的方式。在火电厂安装巨量的蓄热装置,同时通过电动热泵和吸收式热泵提升发电过程排出的低品位余热,使发电过程产生的余热能全部回收利用,在不改变电厂锅炉蒸汽量的前提下大范围调节对外输出的电量。这种改造方式虽然设备投入较高,但是可以有效解决热电厂存在的电与热之间的矛盾。未来,我国北方地区的火电厂都同时肩负电力调峰和冬季供热的任务,这种模式应是未来北方火电厂的主要模式。

总之,从我国可再生能源为主、化石能源为辅的能源系统蓝图出发,可以得出我国北方地区城镇的供暖热源方式:主要依靠调峰用火电厂的低品位余热以及钢铁、有色、化工、建材等工业生产过程中排放的余热,作为基础供热热源承担 90% 以上的总热量和 70% 以上的最大负荷,构建北方地区热能大联网系统。同时,辅之终端以燃气为动力的调峰热源,承担 30% 左右的最大负荷和不到 10% 的总热量,构建我国北方地区新型供热热源系统。



建筑环境与能源

主办单位

中国建筑科学研究院建筑环境与节能研究院

支持单位

中国建筑学会暖通空调分会 中国制冷学会空调热泵专业委员会 中国建筑节能协会暖通空调专业委员会 中国建筑节能协会地源热泵专业委员会

编辑出版

《建筑环境与能源》编辑部 2019年第8期(总第24期) (每月10日出版)

顾问委员会

主 任 郎四维

委 员 江 亿 | 吴德绳 | 龙惟定 马最良 | 徐华东 | 罗 英

编辑委员会

主任委员 徐 伟 副主任委员 路 宾

员(按姓氏笔画排序)

于晓明|方国昌|龙恩深|田 琦|由世俊 伍小亭 | 刘 鸣 | 刘燕敏 | 寿炜炜 | 李先庭 李永安|肖 武|邹 瑜|张子平|张建忠 金丽娜 | 徐宏庆 | 黄世山 | 董重成 | 端木琳 潘云钢

编辑部

主 编徐伟

副 主编路宾

执行主编 王东青

责任编辑 李 炜 | 李月华

校 对才隽

编周林 地址: 北京市北三环东路 30 号

邮编: 100013

美

电话: 010-6469 3285 传真: 010-6469 3286 邮箱: beaebjb@163.com





建筑环境与能源微信公众号

版权声明: 凡在本刊发表的原创作品版权 属于编辑部所有,其他报刊、网站或个人 如需转载,须经本刊同意,并注明出处。





06 |新闻直通车 | News Express |

《建筑节能与可再生能源利用通用规范》制冷设备性能指标专题会召开 《村镇建筑用能系统整合与能效提升技术研究》年度中期工作会召开 国家标准《工程结构术语标准》编制组成立暨第一次工作会召开 中国建筑科学研究院通过环境管理和职业健康安全管理体系认证审核 第五届"基于 BIM 的预制装配建筑体系应用技术"高峰论坛在上海举办 第五届海峡两岸节能科技分论坛顺利召开

环能院大讲堂: 黄公胜教授《不确定性: 如何影响建筑能耗系统设计》

09 | 行业新闻 | Industry News |

湖南开展钢结构装配式住宅建设试点 河南鹤壁市冬季清洁取暖工作推进会召开 冬奥村 11 栋建筑跃出地面 2020 年底完工 《中国可再生能源发展报告(2018)》发布 黑龙江鼓励机关办公建筑使用清洁能源供暖 2019年北京国际大都市清洁空气行动论坛召开 山东省明确 2019 年新型城镇化建设 25 项具体任务 辽宁省鞍山市铁东区 2019 年上半年项目建设工作顺利进行 四部委部署工业炉窑大气污染治理 2020 年形成完善治理体系

同方人环中标喀什巴楚煤改电工程一期项目

美的中央空调荣获售后服务体系双项权威认证

天加力推中日韩携手, 共促全球 GHP 燃气空调市场

海尔中央空调率先获得呼和浩特地铁 2 号线入驻"通行证"

20 | 国际新闻 | International News |

全球热泵销量下降 3.3%

2018年, 欧洲 VRF 销售额增长 7%

美国组合式空调市场规模达到 204 亿美元

美国开发辐射制冷系统 将比任何冷却系统更节能





能量控制 Energy Control



能效优化 Energy Efficiency Optimization



水力调节 Hydraulic Regulation



















翻途能源科技(无锡)有限公司 OaseTECH Energy Technology (Wuxi) Co., Ltd. 翻途贸易(上海)有限公司 OaseTECH Trade (Shanghai) Co., Ltd.

上海翱途流体科技有限公司 Shanghai OaseTECH Fluid Technology Co., Ltd. 上海市闵行区浦星公路1969号43幢1112室 Room 1112, Flat 43, No.1969 Puxing Road, Minhang District, Shanghai, China.

Tel: +86 21 34785900 E-mail: info@oasetech.com Fax: +86 21 34785900 www.oasetech.com



ONTENTS





《村镇建筑用能系统整合与能效提升技术研究》年度中期工作会召开



国家标准《工程结构术语标准》编制组成立暨第一次工作会召开



环能院大讲堂:黄公胜教授《不确定性:如何影响建筑能耗系统设计》



中国博览会会展综合体项目(北块)

22 **| 热点聚焦 |** Spotlight |



2019 年供暖技术学术年会在拉萨顺利召开

26 **| 聚焦政策 |** Policy **|**

关于规范城镇燃气工程安装收费的指导意见 关于防爆电气等产品由生产许可转为强制性产品认证管理实施要求的公告

关于下达 2019 年度大气污染防治资金预算的通知 山东省关于严格控制煤炭消费总量推进清洁高效利用的指导意见

关于印发淄博市 2019 年冬季清洁取暖实施方案的通知

关于印发泉州市打赢蓝天保卫战三年行动计划贯彻实施方案的通知

关于印发《2019年度辽宁省工程建设地方标准编制/修订计划》的通知

关于发布《绿色建筑运营后评估标准》的公告

关于发布《医院建筑绿色改造技术规程》的公告

关于发布《分体式地埋管地源热泵系统工程技术标准》的公告

39 **| 案例赏析 |** Cases **|**

武汉生态城碧桂园会议中心酒店的空调设计中国博览会会展综合体项目(北块)

45 | 技术交流 | Technical communication |

冷水机组高效运行策略的研究

利用自然通风的轿车舱内新风量及热舒适性实验研究

通风窗送风量与气流组织形式对教室内空气污染物净化效率的影响研究 直膨式多联机辐射空调的舒适性研究

厦门某大厦办公楼标准层空调机房噪音分析及处理

68 | 会议活动 | Events |



し、元亨 PUANHENG COOLING TOWER

为客产创造价值

中国空调用冷却塔市场销量排名第一*



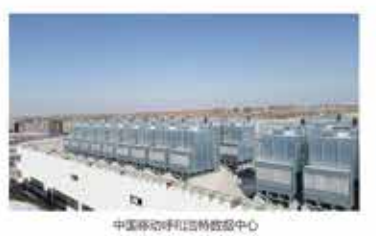
典型用户

中国移动呼和浩特数据中心 中国移动兰州数据中心 中国移动乌鲁木齐数据中心 中国联通保山数据中心 交通银行扬州数据中心 中国移动哈尔滨数据中心 中国移动济南数据中心 中国联通西安数据中心 中国电信厦门海峡枢纽中心 国家超级计算广州中心 中国移动淮南数据中心 中国移动青岛数据中心 中国联通德清云数据中心 中国电信宝之云数据中心 国家超级计算长沙中心

湖南元亨科技股份有限公司

电话: 0731-85417298 www.yhkj.com

* 《2018年中国中央空调行业研究报告》











广州中心 交通銀行紙



全文强制标准《建筑节能与可再生能源利用通用规范》制冷设备性能指标专题研讨会在京召开

7月25日,由中国建筑科学研究院有限公司牵头起草的《建筑节能与可再生能源利用通用规范》制冷设备性能指标专题研讨会在北京顺利召开。会议由住房和城乡建设部建筑环境与节能标委会秘书长邹瑜主持。

标准主编人公司环能院院长 徐伟介绍了《节能规范》研编工 作情况及规范编制的原则和主要 技术内容,重点介绍了制冷设备 性能指标的确定方法及其反馈意 见情况,并对会上需讨论的重点 问题进行了说明。

与会专家针对满负荷与部分负荷能效是否双路径限制及表达、能效限值水平、条文的表述等问题表明了各自的观点和想法。会上,徐伟进行了总结,一是目标与表达方式应以工程节能为目标,表达上尽可能简单人等,二是与会专家认为目前能效限值基本合理;三是会后编制组将根据专家意见进行修改完

善,也希望参会企业可以梳理相 关建议及其支撑材料提供给编制 组,加强沟通,共同完成此项工 作。



"十三五"国家重点研发计划《村镇建筑用能系统整合与能效提升技术研究》第一年度中期工作会召开

2019年7月26日上午,由中国建筑科学研究院有限公司作为课题牵头单位、建筑环境与节能研究院张景高级工程师作为课题负责人的"十三五"国家重点研发计划课题"村镇建筑用能系统整合与能效提升技术研究"课题,第一年度中期工作会议会在北京顺利召开。

会议由课题负责人张景主 持。各子课题负责人张景高工、



李旭林副教授(联络人)、王宗山教师、杜永恒副院长、魏慧娇主任、冯璐工程师分别就各子课题具体的工作进度、考核指标完

成情况、产出情况、经费使用情况以及下一步工作计划等进行汇报。随后大家对当前研究中遇到的问题、难题进行了充分的探讨。对下一步的工作部署与安排达成了共识。

此次是课题启动以来第一年 度中期工作会议,会议的顺利召 开为保证课题向正确方向发展, 推动课题进展、形成更好的成果 具有重要意义。

国家标准《工程结构术语标准》 编制组成立暨第一次工作会召开

7月3日,由中国建筑科学 研究院有限公司主编的国家标 准《工程结构术语标准》编制 组成立暨第一次工作会议在北 京召开。住建部标准定额司副 处长周晓杰、标准定额研究所 副处长姚涛,公司科技标准处 副处长姜波及编制组成员参加 会议。会议由标准主编、研究 员朱爱萍主持。

会上,姜波代表主编单位 对与会专家及各参编单位的支 持表示感谢,并表示公司将对 标准的编制工作提供全面支持, 以确保标准制订工作圆满完成。 周晓杰代表上级主管部门充分 肯定本标准编制的重要意义, 并强调标准编制应注意严肃性、 程序规范性、标准之间的协调 性和按进度完成的重要性。姚 涛对本标准的范围、组织架构、 编制深度等进行了指导。朱爱 萍宣读了编制单位及成员名单, 宣布编制组正式成立。

朱爱萍介绍了标准的编制 工作大纲及标准草案,与会人 员就编制大纲和标准草案进行 了热烈讨论,明确了编制大纲 技术内容,确定了各单位分工 及编制工作进度计划。《工程 结构术语标准》将系统规范工 程结构的术语及其定义, 实现 工程结构专业术语的标准化, 利于国内外技术交流, 并服务 于工程结构领域。

在有关部门领导的关心和 支持下, 在编制组成员的共同 努力下,标准编制组将按照工 作要求, 按时并高质量的完成 编制任务。



中国建筑科学研究院有限公司顺利通过环境 管理体系和职业健康安全管理体系认证审核

近日,中国建筑科学研究院 有限公司顺利通过环境管理体系 和职业健康安全管理体系认证审 核。至此,公司已具有"质量、 环境、职业健康安全"三大管理 体系证书。

由公司企业发展处牵头,各 职能部门、后勤部及各二级单位 配合,通过前期各管理体系文件 的建立、运行过程的控制,形成 大量的记录。

经过认证机构 5 天的现场审 核,通过查阅文件、询问、现场 实地检查等, 对公司管理体系建 立及运行情况进行深入细致的评 审。随着市场竞争日益激烈,取 得环境管理体系、职业健康安全 管理体系认证已成为必然趋势, 该证书的取得规范了公司相关领 域的管理机制,提升了公司的管 理水平和市场竞争力。





第五届"基于BIM 的预制装配建筑体 系应用技术"高峰 论坛在上海举办

7月25日至26日,由中 国建筑科学研究院有限公司和 "十三五"国家重点研发计划"基 干 BIM 的预制装配建筑体系应用 技术"项目部联合主办,公司建 研科技北京构力科技有限公司与 华东建筑集团股份有限公司承办 的第五届"基于BIM的预制装 配建筑体系应用技术"高峰论坛 在沪成功举办,来自全国各地的 500 余名代表出席了本次论坛。

本届论坛以"数字装配智造 未来"为主题,通过专家报告、 项目成果展示等方式, 向与会代 表分享了项目团队历经三年倾力 研发的装配式建筑中 BIM 全流程 集成应用研究成果,32项实际工 程项目的真正落地应用,展现了 装配式建筑 BIM 全流程应用的真 正价值。

公司总经理许杰峰代表项目 团队, 就项目的主要成果、关键 技术与创新性、示范工程应用和 发展展望等方面作了大会主题报 告。项目各课题单位代表,就自 主 BIM 平台和装配式建筑设计、 生产、施工各环节中 BIM 创新 应用进行了全面介绍。论坛期间 还安排了高峰对话的环节,对话 专家畅谈了装配式行业的发展趋 势, 并与参会代表关注的问题进 行了热情互动。

专家预见,结合BIM平台、 构件库、物联网、计算机辅助加 工、虚拟施工安装等新技术,有 望解决预制装配式建筑体系产业 化发展中的诸多关键问题, 势必 给装配式建筑的全产业链生产方 式带来全面提升。

第五届海峡两岸节能科技分论坛顺利召开

7月3日至4日,由科技部海峡两岸科学技术交流中心和李国鼎科技发展基金会共同主办的"第五届海峡两岸科技论坛"在江苏南京召开,论坛共设置节能科技(绿色建筑)、食品分分论坛,中国建筑科学研究院有限公司承办了节能科技(绿色建筑)分论坛,来自两岸的专家、学者共30余人参与了交流和讨论。

由海峡中心和李国鼎基金会共同主办的"海峡两岸科技论坛"是首次由两岸科技主管部门主导,两岸科技和产业界人士广泛参与的科技盛会。分别于2011年、2013年、2015年、2017年在北京、台北和西安召开了前四届海峡两岸科技论坛,论坛旨在引导两岸更全面深入地开展科技交流与合作。公司副总经理王清勤作为召集人主持了本次分论坛。王清勤以"《绿色建筑评价

标准》GB/T 50378-2019"为题作分论坛演讲报告,着重介绍了在我国绿色建筑高质量发展的背景下,《绿色建筑评价标准》GB/T 50378 的最新修订要点、典型条文、主要特点及未来计划等。会上,绿色建筑与节能专业委员会主任王有为、公司环能院副院长赵建平、清华大学教授张寅平等海峡两岸有关专家、学者应激作主题演讲。

经过一天研讨,专家、学者 代表围绕绿色建筑标准与发展功 向、建筑节能技术、健康照照 室内空气质量等议题,为议则 技事业发展献言献策,会议 题满成功。双方一致同意、近 圆满成功。双方一致竟,近 明 是未来可在智能建筑、健康照明 程建筑、健康重点发展方向 能 建康空调等重点发展方向、节能 科技发展。



环能院大讲堂:香港城市大学黄公胜教授讲座《不确定性:如何影响建筑能耗系统设计》

2019 年 7 月 2 日, 作 为 2019 年度环能院大讲堂系列活动之一,高性能建筑中心邀请香港城市大学黄公胜副教授举办了题为《不确定性:如何影响建筑能耗系统设计》的学术讲座。

黄公胜教授总结课题组近年 的研究成果,系统地介绍了建筑 能耗系统在设计过程中遇到的不 确定性,以及不确定性对设计的 影响。介绍目前处理不确定性的 方法和相关技术。以空调系统的 设计为例,说明基于不确定性设 计特点与优点。并对国内国际相 关领域的研究总体情况进行了综 述。 相对于欧美等国的工程实践,目前我国建筑设计和工程实践周期短,技术细节重视不足,建筑能源系统设计中经常出现余量过大的情况,造成投资浪费和运行费用的提高。科学地将不确定性定量评估代入到建筑设计和

运行中,将有助于提高建筑能源 系统的优化设计和运行效果改 善。环能院参会人员认真听取了 黄公胜教授的精彩报告,并在会 后进行了热烈的讨论。学术讲座 的举办,将进一步促进环能院相 关领域的科研工作和工程实践。



IndustryNews

冬奥村 11 栋建筑跃出 地面 2020 年底完工

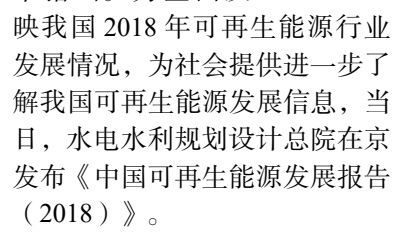
7月21日上午,随着最后一 方混凝土浇筑完成, 冬奥村项目 一标段 11 栋楼工程提前实现地下 结构封顶,剩余9栋也将在7月 内"跃"出地面。承建方北京城 建集团介绍,这标志着冬奥村工 程建设提前进入钢结构施工阶段, 并为地上钢结构大面积施工奠定 了基础。

建筑面积达 33.3 万平方米的 2022年北京冬奥会冬奥村项目, 位于北辰路以东、北土城路以北, 共有20栋住宅。这次封顶一标段 工程建筑面积约19万平方米,共 有 11 栋住宅, 在北京市朝阳区奥 体文化商务园区 11 号地块。其中 地下为整体车库,共3层;地上 11 栋主楼住宅最高 17 层、建筑 高度60米。结构形式为地下钢筋 混凝土结构、地上装配式钢结构 建筑。

按照计划, 奥运村人才公租 房剩余9栋也将实现地下结构封 顶,2019年年底完成主体结构, 2020年年底完工。这里建成后将 极具中国风、北京味。按照设计, 公租房采用了北京四合院的院落 形制,房屋中间围成一个庭院, 楼宇间错落有致地排布。此外, 两处中心绿地将有不少园林景观 小品,融入了乾隆年间的《冰嬉图》 元素。未来使用过程中, 建筑屋 顶将布设绿化、光热设备, 既美 观又可为24小时热水提供热源: 绿地上铺设的光导管,则将太阳 光用来车库照明;这里还会实现 5G 信号全覆盖; 公租房和对面广 场区的地下空间设有连廊,方便 抵达各类商业配套空间。

《中国可再生能源发展报告(2018)》发布

"能源消费结构 向清洁化、优质化发 展,可再生能源消费 比重稳步提升,可再 牛能源发展进入高 比例增量替代和区 域性存量替代新阶 段。"6月26日发 布的《中国可再生能 源发展报告(2018)》 中指出。为全面反



《报告》中针对水电、风电、 太阳能发电、生物质能、地热能



五大能源品种, 梳理和 分析世界及中国能源发 展总体情况、中国可再 生能源发展成果、国际 合作与行业热点,并对 2019~2025 年可再生能 源发展前景进行展望。

可再生能源生产 和消费实现快速增长, 有力推动了清洁低碳的 绿色能源体系建设,

促进了能源经济向以生态为核 心发展方式的转变。水电、风 电、太阳能发电、生物质能、 地热能等可再生能源规模化发 展,截至2018年年底,装机容 量达到 72896 万千瓦, 占全部电 力装机容量的38.4%,同比增长 11.7%

四部委部署工业炉窑大气污染治理 2020 年形成完善 治理体系

生态环境部、国家发展和 改革委员会、工业和信息化部、 财政部近日印发《工业炉窑大 气污染综合治理方案》, 贯彻 落实《国务院关于印发打赢蓝 天保卫战三年行动计划的通知》 有关要求, 指导各地加强工业 炉窑大气污染综合治理, 协同 控制温室气体排放,促进产业 高质量发展。

根据方案,到2020年,完 善工业炉窑大气污染综合治理管 理体系,推进工业炉窑全面达标 排放,京津冀及周边地区、长三 角地区、汾渭平原等大气污染防 治重点区域工业炉窑装备和污染 治理水平明显提高,实现工业行 业二氧化硫、氮氧化物、颗粒物 等污染物排放进一步下降,促进 钢铁、建材等重点行业二氧化碳 排放总量得到有效控制,推动环 境空气质量持续改善和产业高质 量发展。

方案明确了以下几项重点 任务,一是加大产业结构调整力 度。严格建设项目环境准入;加 大落后产能和不达标工业炉窑 淘汰力度。二是加快燃料清洁低 碳化替代。加大煤气发生炉淘汰 力度;加快淘汰燃煤工业炉窑。 三是实施污染深度治理。推进工 业炉窑全面达标排放;全面加强 无组织排放管理;推进重点行业 污染深度治理; 加大煤气发生炉 VOCs 治理力度。四是开展工业 园区和产业集群综合整治。加强 涉工业炉窑企业运输结构调整, 京津冀及周边地区大宗货物年货 运量 150 万吨及以上的。原则上 全部修建铁路专用线; 具有铁路 专用线的,大宗货物铁路运输比 例应达到80%以上等。

9

空调能效新标准今年底 发布:首次统一定速与 变频机能效

已运行 14 年的空调能效强 制性国家标准,将迎来一次重大 性变革。

日前,家电圈从多个空调厂家获悉,已修订多年的空调能效新标准将于今年底正式颁布,首次将变频机与定速机的能效等级统一,从而更好地推动空调产品的节能减排进程。

据悉,空调能效新标准将于 2020年起实施,中间将会留给 相关空调企业清理不达标产品至 少半年以上时间。

据悉,空调能效新标准,除了不再区分变频机和定速机,同时还将再次采用5个能效等级的设置。其中,最显著变化,现有的定速空调能效一级节能水平,将降至为新标准的四级非节能水平,而定速空调的二级节能水平,将降至新标准的五级人门水平。

同时,现有的变频空调一级 能效水平,则是新标准的二级能 效水平,以此类推迟。

随着即将颁布的空调新能效标准实施,新标准还对未来2年的空调能效进入门槛进行再次提升,并提出了新要求。这意味着,缺乏能效优势的定速空调将会走入一轮发展的死胡同中。这也将带动上游压缩机企业的产品结构调整,以及少数以定速机为主的整机企业库存优化和市场布局等问题。



┃2019 年北京国际大都市清洁空气行动论坛召开

7月8日至7月9日,2019 年北京国际大都市清洁空气行动 论坛召开,来自联合国环境署, 巴黎、伦敦、柏林、东京、首尔、 曼谷、乌兰巴托、中国香港等国 际大都市,美国加州和意大利伦 巴第大区等典型地区的负责空气 质量和气候变化的官员和专家, 以及国际国内长期关注北京空气 质量改善讲程的专家, 共同分享 国际大都市空气质量改善和温室 气体减排措施、进展及中长期规 划和远景展望, 为北京市精准施 策、有效开展大气污染防治和应 对气候变化工作提供国际经验和 建议。

论坛首目的主题为"清洁空气与应对气候变化行动",中国工程院院士、清华大学环境学院院长贺克斌教授系统地介绍了过去20年来北京市大气污染治理的实践和成效,包括以空气质量监测评价、源解析和污染源清单等科技手段为支撑的环境规划,法律标准,环境执法,配套

经济政策,全民参与以及京津冀区域联防联控等内容。此外,来自联合国环境署气候与清洁空气联盟高级大气专家内森·博格福德·帕内尔(Nathan Borgford-Parnell)先生,美国加州空气资源管理委员会空气质量规划及研究专家杰里米·阿维斯(Jeremy C·Avise)先生,以及与会城市代表分享介绍了各自城市在大气污染治理和应对气候变化领域的最新政策、行动、成效和下一步规划。

论坛第二天分为3个平行 论坛,分别聚焦区域空气质量协 同治理,城市应对气候变化规划 与行动,以及移动源污染排放立 法等大城市普遍面临的大气污染 治理热点、难点。各分论坛专门 设置了城市代表讨论环节,各城 市代表专家就国际大都市面临的 大气污染治理和应对气候变化 战,分享各自的经验,并为此实 市空气质量治理和应对气候变化 规划提出建设性意见。

┃ 河北省农村清洁取暖再添新标准

醇基燃料是以甲醇为主要

原料生产的液体燃料,排放以 水与二氧化碳为主,是京津冀 地区大力推广的环保洁净能源。 醇基燃料中的甲醇含量与其燃 烧效率息息相关, 总硫含量与 其腐蚀性和大气污染息息相关。 目前,国内市场该类型产品鱼 龙混杂,受专业技术限制,很 多产品及配套设施建立不完善。 同时市场还存在大量传统设备 改造,这些设备除燃烧不彻底、 增加使用成本、不够环保节能 之外, 还存在安全隐患, 甚至 有报废的风险。这些都严重影 响了工业生产和个人业主使用 醇基燃料的积极性。

河北省全力推进老旧小区改造工作 确保按时高质量完成任务

7月10日,河北省老旧小区 改造现场会在唐山召开, 副省长 张古江出席会议并讲话。省住房 和城乡建设厅厅长康彦民在会上 通报全省老旧小区改造工作情况。

张古江要求,要科学制定改 造方案,按照尽力而为、量力而 行的原则,从安全问题、居住功 能、环境治理等方面,多做居民 亟需改的里子工作, 杜绝面子工 程和搞"标配"。多方筹集改造 资金,从政府、居民、社会、企 业多方筹资,确保改造资金与改 造需求相匹配。合理安排改造施 工,制定各小区通讯、电力、热 力、管网等专项方案, 积极稳妥 有序推进。完善长效管理机制, 研究确定小区物业管理模式,探 索构建社区党组织、居委会、业 主委员会、楼门长、物业服务企 业"五位一体"的社区治理体系。 要强化组织领导,强化督导调度, 强化舆论氛围,凝聚共同推进老 旧小区改造的工作合力。

与会人员还现场观摩了唐山 市老旧小区改造的示范项目。



河北省打响大气污染集中整治夏季会战 实施十大重点任务

夏季是PM10、臭氧为首要污 染物占比突出、影响优良天数的重 要季节。从即日起,河北省将开展 大气污染集中整治夏季会战,通过 实施 10 大重点任务、25 项具体措 施,有效降低大气环境中PM₁₀、 臭氧等污染物浓度,力争提高优良 天数比率。

省大气办印发的《河北省大 气污染集中整治夏季会战方案》提 出,持续攻坚重点区域、重点领域、 重点问题、重点工作,力争7月至 9月每月全省及各市城市降尘量小 于9吨/月·平方公里,城市降尘量、 PM₁₀ 平均浓度同比下降 5% 以上。

在会战中,河北省生态环境 部门将实施 10 大重点任务,包括 开展"散乱污"企业和集群综合整 治专项行动,实施"散乱污"企 业整治回头看,严防死灰复燃; VOCs 综合整治专项行动、黑加油 站点清零整治专项行动、散煤整治 和清洁替代攻坚专项行动、秸秆垃 圾露天焚烧管控攻坚行动、机动车 和非道路移动机械污染防治行动、 科学实施大气环境应急管控、重点 区域行业差异化治理等。据测算, 方案实施后,全省预计可实现氮 氧化物、二氧化硫、VOCs、一次 PM,5分别减排7.5万吨、12.31万吨、 6.93 万吨、11.38 万吨, 可使 PM。 年均浓度下降 4.46 微克/立方米, 对全年空气质量改善目标的完成起 到有力促进作用。

河北蓟州区全力推进 冬季清洁取暖工作

一是"煤改气"工程快速推 进。市下达蓟州区 2019 年"煤 改气"任务11.4万户、涉及12 个镇 420 个村。截至目前,已安 装壁挂炉 9.2 万台、燃气表 11.3 万块,完成户内水路连接 6.98 万 户、气路连接 2.6 万户, 点火调 试 0.48 万户。70 公里长输高压 管道与宝坻、宁河两区实现全贯 通,4980公里中低压管网实现全 覆盖,8月底前完成断点连接扫 尾工作。渔阳镇、出头岭镇、下 营镇3座燃气场站(调峰站)建 设完成,已具备运营条件。

二是"煤改电"工程稳步实 施。市下达蓟州区2018年煤改 电任务 3.7 万户, 截至去年 10 月 底,户内取暖器已全部安装完成, 1万户实现通电取暖,剩余工作 随电网改造进度加快推进,预计 今年8月底前完成全部户外连接 工作。市下达蓟州区 2019 年"煤 改电"任务 5.4 万户、涉及 10 个 镇 188 个村。已完成招标工作, 正在做进场施工准备,预计9月 底前户内安装全部完成, 随电网 改造进度同步推进户外连接。

三是无烟型煤配送工作提 前着手。今年,北部山区不具备 "煤改气"、"煤改电"条件的 镇村仍需使用无烟型煤取暖,共 涉及8镇108个村1.7万户,需 求量约3万吨,计划于8月份完 成招投标,9月底前完成全部配 送工作。



新疆第一个县域煤改电 配网工程完工

从国网新疆电力有限公司获 悉,20日,民丰县煤改电配网 工程完工, 比任务计划提前 73 天完成建设任务,该工程将保障 民丰县3个乡镇1300余户居民 在冬季实现清洁取暖。这是南疆 四地州煤改电(一期)配套电网 工程建设中完成的首个县域煤改 电配网工程。

今年3月12日,自治区启 动南疆四地州煤改电(一期)配 套电网工程,旨在改善南疆四地 州农村居民供暖条件。南疆四地 州煤改电(一期)配套电网工 程今年安排投资 46 亿元,帮助 31.6 万户居民实现冬季清洁取 暖。工程覆盖喀什、和田、克孜 勒苏柯尔克孜自治州的24个县 市 211 个乡镇、1049 个村。

南疆四地州群众取暖主要依 靠散烧煤炭、薪柴等,但因煤炭 运输成本偏高,导致到户价格较 高,增加了农牧民经济负担。实 施南疆四地州煤改电(一期)配 套电网工程后可在一定程度上解 决当地群众取暖问题。

目前,南疆四地州煤改电 (一期)配套电网工程已完成 52.79%的建设任务,工程预计 将于10月30日全部竣工投运。



河北省承德中心城区今冬将有近 3000 户居民 实现清洁取暖

近日据了解,2019年承德 市市中心区(双桥区、双滦区、 高新区)将实施清洁取暖替代 散煤燃烧,完成高污染物禁燃 区内散煤燃烧户清零工作。目 前,承德市市中心区清洁取暖 替代工作正在紧张推进,预计 今年供暖季到来时将近3000户 居民实现清洁取暖。

结合实际, 承德市中心区 原则上高污染物禁燃区具备接入 集中供热条件的,将采用接入集 中供热进行替代,不具备接入集 中供热条件的,将采用"电代" 方式进行替代。高污染物禁燃区 范围外的散煤燃烧户, 可采取其 他清洁取暖方式进行替代。据悉, 承德市中心区建成区范围内散煤 燃烧户共2728户,包括高污染 物禁燃区范围内 358 户, 其中双 滦区 157 户列入拆迁计划目前已 拆完, 双桥区 201 户中已有 48 户接入集中供热, 153 户实施电 代替代: 而非高污染物禁燃区内 2370 户将使用清洁型煤替代。

记者了解到,平房接入集 中供热,需对房屋进行节能改 告. 人网建设和用户室内采暖 设施改造。政府将承担节能改 造和管网建设费用,用户室内 取暖设施改造及运行费由用户 自行承担。参照相关补贴政策, 按照每平方米 100 元的标准予 以一次性政策补贴,最高不超 过7400元/户(市、区各承担 1/2),管网建设费将按居民用 户按照居住区域现行标准的 1.5 倍收取, 由政府全部承担, 其 中市级财政承担 2/3, 区财政承 担 1/3; 商业及工商户由用户自 行承担;运行费按居民户按居 住区域收费标准的 1.5 倍收取。 老旧楼房接入集中供热的,管 网建设费和运行费用按照现行 政策标准执行,楼房外墙保温 工程费用由所在区政府承担。

据悉,8月底前承德市将完 成电力主线和供热主管铺设, 9月底前完成居民室内采暖设施 安装,10月底前具备供暖条件。

▍山东省明确 2019 年新型城镇化建设 25 项具体任务

山东省城镇化工作领导小 组办公室近日印发本省 2019 年 新型城镇化建设重点任务,从 加快农业转移人口市民化、优 化城镇化布局形态、推动城市 高质量发展、促进城乡融合发 展、强化组织实施五方面提出 了25项具体任务,加快提升全 省城镇化发展质量和水平。

围绕推动城市高质量发展, 今年我省将从分类引导城市产 业布局、优化城市空间布局、 加强城市基础设施建设、改进 城市公共资源配置、提升城市 品质和魅力、健全城市投融资 机制六方面入手。针对群众关 注的民生事,明确了增加车位 供给,完善非机动车、行人交 通系统及过街设施,推进办好 老旧小区改造、拆违建绿、扬 尘治理、黑臭水体整治、路面 清洁等。

调整优化教育医疗资源布 局,支持中小城市三级医院建 设,支持大城市中小学对中小 城市中小学进行结对帮扶。实 施城市品质提升工程,制订城 市精细化管理工作标准,建立 没有"城市病"的城市建设管 理和人居环境质量评价体系。

辽宁省鞍山市铁东区 2019 年上半年项目建设工作 顺利进行

鞍山市铁东区 2019 年上半 年项目建设工作顺利进行中, 今年上半年全区复工项目16项. 总投资146.4亿元,其中:服 务业项目3项,总投资19.9亿 元;房地产项目10项,总投资 118.45 亿元; 社会事业 1 项, 总投资 0.3 亿元; 基础设施 2 项, 总投资 7.75 亿元。

全区新开工项目8项,总 投资 50.94 亿元。其中: 社会事 业项目 2 项, 总投资 10.2 亿元; 房地产项目3项, 总投资13.7 亿元: 服务业项目1项, 总投 资 0.26 亿元; 基础设施 2 项, 总投资 26.78 亿元。

铁东区在强抓开工项目的 同时, 重点围绕提质升级传统 服务业,大力发展现代服务业, 积极培育战略性新兴产业的发 展思路,进行项目储备工作, 盘活闲置楼宇、闲置地块,加 快土地整理出让。

通过专业招商队伍的组建 和出台系列政策措施等举措, 狠抓招商引资、项目服务,都 将进一步加大铁东区项目建设 工作的步伐。

▎营口市领导一行对营口市主城区热源厂进行专项调研

7月18日下午, 营口市委 常委、副市长方景广对营口市 主城区热源厂进行专项调研。

在市滨海热电有限公司, 方景广实地查看了电厂的电气 车间,并对超低排放脱硫脱硝 改造工程进行检查。市滨海热 电有限公司今年将承担市区西 部 280 万平方米的供热面积, 营口热电集团第四热源厂作为 备用热源,今年对厂内的两台 40 万吨锅炉进行了维修改造,

目前改造工程已接近尾声,具 备今冬采暖期启动运行的条件。

营口热电集团第一热源厂 负责市区东部 200 万平方米的 供热任务,两台100吨的锅炉 维修改造工程基本完成。方景 广一行对辽宁春城银珠热电厂、 营口热电集团第二热源厂和第 三热源厂进行了实地调研,并 要求各供暖单位要抓紧各项工 程改造进程,如遇特殊天气, 能够随时达到供暖要求。

▎黑龙江鼓励机关办公建筑使用清洁能源供暖

黑龙江省近日提出, 在地热 能开采条件许可、供暖需求较大 的各地,鼓励机关办公建筑和大 型公共建筑采用地热能,或与其 他清洁能源结合互补的模式进行 供暖。

黑龙江省住房和城乡建设 厅等部门联合出台《关于加强黑 龙江省地热能供暖管理的指导意 见》,加快建立全省主要城市地 热物性数据库, 在有条件的地方 推动新建居住小区地热能分布式 供暖,鼓励机关办公建筑和大型 公共建筑带头示范。

黑龙江省将重点开发中深层 土壤源热泵供暖,严格保护地下 水资源和生态环境,确保"取热 不取水",保障地热资源可持续 开发利用。在地热能供暖项目用 地、审批、电价、运营模式等方 面加大政策支持力度,提高地热 能供暖实施主体积极性。

安徽六安两类建筑将实 现能耗监测全覆盖

日前, 六安城区第二批 22 个既有大型公共建筑能耗监测 设备安装项目顺利完成招标工 作,项目类型涵盖商场、医院、 写字楼、酒店等各种类型大型 公共建筑。此次项目建设完成 后, 六安城区既有国家机关办 公建筑和既有大型公共建筑能 耗监测将实现全覆盖。

能耗监测系统是通过对建 筑安装分类和分项能耗计量装 置,采用远程传输等手段及时 采集能耗数据,对建筑能耗进 行在线监测和动态数据分析的 系统。六安市自2017年启动公 共建筑能耗监测平台建设以来, 目前已完成首批19个既有国家 机关办公建筑项目建筑能耗监 测系统建设,本次第二批22个 项目将于近期开工建设, 年底 前各项采集数据即可接入市级 平台。

今年, 六安各县区既有公 共建筑能耗监测系统建设同步 启动,到2020年底,该市既有 国家机关办公建筑和大型公共 建筑能耗监测数据将全部实现 实时上传系统。



2019 年大同市计划完成 "煤改电" 1.0392 万户

为践行中央加大电能替代及 大气污染防治的要求,加快"散烧煤"替代步伐,进一步改善大 同市空气质量,促进居民进入"清 洁取暖、低碳生活"时代,2019 年,大同市将继续推进"煤改电" 改造工程,计划改造户数1.0392 万户,新建及改造10千伏线路 46.59公里,接户线22.18公里。

"煤改电"工程在电能替代、 清洁空气、提高居民幸福指数等 方面优势明显,是国家大力支持 和鼓励的一项重要政策, 为了让 "大同蓝"成为常态,大同市自 2016年开始"煤改电"改造工程, 截至 2018年,已改造户数 9432 户, 架设10千伏线路44.83公 里,接户线82.17公里;已累计 完成替代电量 3968.02 万千瓦时, 按照1千瓦时电量约等于0.1229 千克煤计算,相当于减少散烧煤 4876.7吨,减少二氧化碳排放 12776.96 吨、二氧化硫 41.45 吨、 **氮氧化物 36.08 吨。2019 年, 大** 同市将在以往年度的基础上继续 推行"煤改电"工程,并从财政 资金方面予以倾斜补助。目前, 已下发文件完成确村确户 10392 户,其中,新荣区460户、左云 县 502 户、云州区 861 户、天镇 县 787 户、阳高县 1116 户、云 冈区536户、平城区3600户、 灵丘县 1574户、广灵县 456 户、浑源县500户,采暖面积约 642647 平方米。



┃太原 2019 年农村"煤改气""煤改电"政策敲定

"煤改气""煤改电",9月底 前,全市将完成农村地区"煤改 电"1.57万户、"煤改气"1880户。 今年太原农村地区"煤改 电" "煤改气" 主要集中在"三 县一市"。方案明确要求,凡是 完成清洁供暖改造的村庄要实施 "一清二拆",全部划为"禁煤 区"。按照方案、采用空气源热 泵、低温空气源热泵热风机、浅 层地热能热泵和双源热泵供暖的 居民,设备购置费用由市县两级 财政补贴 94%,补贴最高不超过 每户2.74万元。采用高效电锅 炉、蓄热式电暖气和热库供暖的 居民,设备购置费用由市县两级 财政补贴 89%,补贴最高不超过 每户1.44万元。在农村"煤改气" 方面, 煤改管道燃气和煤改液化 天然气点供统一补贴政策。市、 区两级政府补贴燃气企业1万元 /户(含管网敷设、路面开挖恢复、 燃气采暖炉、燃气灶具和安装等 费用),居民只需承担燃气工程

日前,太原市今年再推

据悉,今年太原市将散煤治 理工作作为改善省城环境质量的 重要事项纳入考核范围,

实施"一票否决"。按照"时间表",9月30日前,完成农村清洁供暖配套设施建设、户内线路管网改造和采暖设备安装工作;10月31日前,完成采暖设备的调试工作。对9月底前全面完成清洁供暖改造的县(市、区),市政府给予200万元奖励,统筹用于农村地区清洁供暖改造工作。

┃湖南开展钢结构装配式住宅建设试点

近日,住房和城乡建设部办公厅接连批复同意湖南省、山东省开展"钢结构装配式住宅"建设试点,试点期限均为3年(2019~2021年)。

费每户0.19万元和燃气取暖用

据了解,湖南省已确定长沙市、株洲市、娄底市、邵阳市、吉首市、岳阳市湘阴县、常德市西洞庭管理区为国家钢结构装配式住宅试点城市(县区)。各试点城市(县区)建设行政主管部门,要在7月底前向省装配式建筑发展联席会议办公室报送本地区试点工作实施方案和2019年度试点项目。

《湖南省推进钢结构装配式住

宅建设试点方案》(以下简称方案)表示,湖南省力争用3年时间(2019~2021年),通过试点,初步建立切合湖南省实际的钢结构装配式住宅成熟的技术标准体系,培育5家以上大型钢结构装配式住宅工程总承包企业。完成10个以上钢结构装配式住宅试点示范项目,通过项目实践,重点解决困扰钢结构装配式住宅的"三板"配套、产品功能、系统集成、成本过高和质量品质不优等突出问题,为规模化推广应用树立标杆,积累经验。形成湖南省绿色钢结构装配式建筑产业集群。

┃河南切实解决突出问题 促进建筑业健康发展

近日,河南省召开部分建 筑业企业调研座谈会。省住房 和城乡建设厅党组成员、副厅 长巩魁生参加调研。

调研活动围绕当前建筑业 企业税率调整和建材价格上涨 对企业及行业发展的影响、企 业对省住房和城乡建设厅在行 业监管与服务方面的意见建议

等进行座谈。参会企业负责人 一致认为,应尽快出台加强建 筑工程材料市场价格风险管控 的指导意见,解决建材价格上 涨对建筑市场的不利影响。同 时, 应高度关注增值税税率降 低后对建筑业企业生产成本、 利润等方面产生的影响, 注重 分析研究,探索对策和措施。

▎河南信阳着力推动清洁能源发展

7月9日,以河南省政府参 事室主任朱全民为组长的调研组 来信阳市开展地热开发利用专题 调研。市委常委、常务副市长王 新会陪同调研。

座谈会上, 在听取相关汇报 后,朱全民对信阳市地热能源的 开发利用提出了意见和建议。他 表示,将以此次调研为契机,为 信阳市地热开发利用提供支持和 帮助,积极推动信阳清洁能源尤 其是地热能资源的开发和利用。

王新会简要介绍了信阳市 情和地热开发利用情况。他说,

当前, 信阳地热能资源开发尚处 于初步勘探阶段,资源储备及分 布尚未明确,因此,对地热资 源利用较为有限,主要以民间 开发利用为主,包括浉河区南 湖林语小区地暖项目、商城县 汤泉池温泉疗养项目以及新县 大别山露营公园温泉疗养项目。 信阳市将以此次调研为契机, 加强学习,借力发展,也谢谢 各位参事、专家们积极为信阳 清洁能源的发展,特别是地热 资源的开发利用"把脉问诊"、 指点迷津、献计献策。

▎河南鹤壁市冬季清洁取暖工作推进会召开

7月19日, 鹤壁市冬季清 洁取暖工作推进会召开, 副市长 刘文彪参加并讲话。会议总结 了2018年度清洁取暖工作取得 的成绩,通报了清洁取暖试点城 市建设情况,安排部署 2019 年 度工作任务。2019年度全市将 大力推进城市集中供热、城乡建 筑能效提升、低温空气源热风 机、农村天然气管网普及等示范 项目建设,全市实现清洁取暖率 100%, 冬季取暖和餐炊散煤全 部清零。

刘文彪强调,各县区、各部 门要强化"四个意识",把责任 扛在肩上, 落实在行动上。要提 高站位,增强做好试点城市建设 的责任感和紧迫感。要坚持原则, 确保试点建设高质量推进。要明 确目标,全力推进清洁取暖试点 项目建设。要强化措施,不断提 升清洁取暖建设水平,坚持"热 源侧"和"用户侧"同步推进, 为全市人民建设一个空气清新、 环境优美、生态官居的美好家园。

各县区、乡(镇、街道)、 参建企业等相关单位负责同志参 加。会议期间,参会人员到浚县 白寺乡后岗村、西徐庄村清洁取 暖建设现场观摩。

河南洛阳新区热力今冬将 新增供暖面积 70 万平米

7月24日从洛阳北控水务 集团有限公司新区热力分公司 (以下简称新区热力) 获悉, 今冬供暖季,预计新区热力将 新增供暖管网 4.5 公里,新增换 热站2座,新增供暖面积70万 平方米。在缴费方式上,用户 除通过原有的洛阳银行网点缴 费、洛阳银行手机APP缴费、 云闪付 APP 缴费外, 今冬新区 热力的用户还可选择支付宝、 微信这两种缴费方式。

目前,在新区热力多个工 地,施工人员正紧张忙碌对供 暖设备、管道等进行检测维修。 在学府街一供暖阀门井施工现 场,工作人员正在深约3米的 井内维修保养管道阀门。

据了解,在上一个供暖季 结束后关闭阀门过程中,工作 人员发现这一处阀门开关出现 故障, 如不利用非供暖季对其 进行维修保养,一旦在下一个 供暖季出现故障,维修时则需 要关闭市政管网其他阀门,影 响用户正常用暖。洛龙区太康 路某小区热力施工现场,记者 看到原有的热力管道表层保温 层已经脱落,管道上大部分地 方也已生锈,新区热力工作人 员正在不远处敷设新的管道。 现场一名工作人员介绍,如果 发现管道锈蚀,不严重的话就 需要除锈刷漆,但是该小区原 有的管道已经不符合供热要求, 如果继续使用,不仅热损失大, 而且容易出现管道泄漏等情况。 更换之后,该小区居民今冬用 暖就有了保障。据悉所有设备 维护、管道检修、供热改造等 工作须在9月底前完成,确保 供热设施状态完好。

河南济源市入选北方冬 季清洁取暖试点城市

近日,河南省财政厅印发《关于下达 2019 年北方地区冬季清洁取暖试点中央补助资金的通知》,济源市成功人选第三批中央财政支持北方地区冬季清洁取暖试点城市。

据了解,试点示范期为3年, 济源市每年将获得中央补助资金 1亿元,专项用于冬季清洁取暖 试点工作。中央补助资金将为济 源市推进冬季清洁取暖工作、坚 决打赢污染防治攻坚战提供资金 保障。

2018 年以来,济源市财政局主动作为,会同环保、住建、发改等部门,加大向上争取项目资金力度。下一步,济源市财政局将严格按照《北方地区冬季清洁取暖试点城市绩效评价办法》,全面加强预算绩效管理和

资金监管,确 保财政资金安 全有效,保障 全市冬季清洁 取暖工作顺利 进行。



四川多举措推动建筑业高质量发展

目前,四川省政府常务会议 审议通过相关意见,明确将大力 推进装配式建筑、绿色建筑应用 和发展,引导建筑企业增强科技 创新能力,多举措推动建筑业高 质量发展。到 2022 年,四川省 预计实现建筑业总产值 1.8 万亿 元以上。

四川省将全面推进装配式建 筑应用和发展,建立完善装配式 建筑技术和标准体系,支持企业 研究开发与装配式建筑相关的技 术、标准、工法。四川省将推进 装配式建筑试点城市和示范基地 建设,在广安、宜宾、甘孜、凉 山等地开展装配式钢结构住宅建 设试点。

在绿色建筑方面,四川省将制定完善绿色设计、绿色施工、绿色运营等标准规范和评价体系,政府投资公益性建筑和大型公共建筑全面执行绿色建筑标准,倡导有条件的地方采用现代夯土技术建设绿色农村住房。四川省还将引导建筑企业加大科技创新投入力度。

攀枝花清洁能源发展进入快车道

日前从攀枝花市发展改革 委获悉,仁和区黄桷垭首批装 机规模 4.2万千瓦的风电项目于 7月 25 日建成投产,这标志着 攀枝花清洁能源发展进入快车 道。

截至目前,攀枝花已建成水电装机 356 万千瓦,已完工水电装机 210 万千瓦,在建水电装机 95 万千瓦。风电建成装机达到 38.7 万千瓦,成为继水电之后,装机规模第二大的清

洁能源。太阳能光伏发电建成 装机 23.2 万千瓦。垃圾焚烧发 电装机 1.5 万千瓦。

截至2019年6月30日, 全市发电量约109.5亿千瓦时, 其中清洁能源发电量约99亿千 瓦时,占全部发电量的90.4%。 全市清洁能源基本形成以水电 为支柱,风电、太阳能光伏发 电为重点,垃圾发电为补充, 天然气、沼气能、太阳能光热 应用全面突破的发展格局。

┃ 粤港澳大湾区建设三年行动计划 清洁能源纳入发展目标

近日广东省推进粤港澳大湾区建设领导小组印发了《广东省推进粤港澳大湾区建设三年行动计划(2018~2020年)》(以下简称《三年行动计划》)。其中,在"优化大湾区能源结构"方面,《三年行动计划》明确提出了"推动在粤设立区域性天然气交易机构"。

《三年行动计划》分为"优化提升空间发展格局"、"建设国际科技创新中心"、"构建现代化基础设施体系"、"协同构建具有国际竞争力的现代产业体

系"、"推进生态文明建设"、 "建设宜居宜业宜游的优质生活 圈"、"加快形成全面开放新格 局"、"共建粤港澳合作发展平 台"、"保障措施"9个部分, 共列举了100项举措。

《三年行动计划》在"构建 现代化基础设施体系"部分提出 了"优化大湾区能源结构"的目 标。具体包括:研究编制大湾区 能源结构调整优化专项规划。加 快天然气和可再生能源利用,有 序开发风能资源,因地制宜发展 太阳能光伏发电、生物质能,安

▎天加力推中日韩携手,共促全球 GHP 燃气空调市场

2019年8月1日, 南京天 加、韩国 SAMCHULLY (三千里) 和日本洋马 (YANMAR) 在日本 仙台达成协议, 三方将共同开拓 中日韩三国GHP燃气空调市场。 此次合作的三家企业都是在 GHP 燃气空调领域的各国翘楚, 在技 术、研发和市场上有着各自的优 势,强强联手的三国企业无疑将 会发挥更大的优势, 助力亚太地 区的GHP燃气空调市场的发展。

据了解,为了此次三方的共

同合作能够顺利完成, 天加为此 往返韩国和日本, 共同就合作细 节进行反复磋商,最终取得大家 认可的合作协议。早在7月5日, 天加董事长蒋立一行访问了韩国 SAMCHULLY (三千里), 双方 就彼此之间的合作达成了初步的 合作协议。三方之间为了更好地 促进 GHP 燃气空调在各国的推 进力度, 达成了深度合作的战略 伙伴关系,将在技术、生产和市 场等方面展开全面合作。

▎上海松江项目进场,天加 GHP 燃气多联机掀高潮

近日, 天加 GHP 燃气多联 机频频曝光,成为中央空调行业 聚焦媒体焦点的热点之一,继天 加、洋马和合通院的三方合作建 立国内首个 GHP 实验室后, 天 加推动中日韩企业天加、洋马和 三千里共同促进该项技术在亚太 区域的应用推广。在中国市场的 应用领域方面, 天加 GHP 燃气多 联机也结出硕果,上海松江国乐 广场选项目迈出坚实一步,首批

39台GHP室外机进场等待安装。

上海作为我国能源紧缺的地 区之一, 对能源的利用非常重视, 此次项目竣工使用后将会对区域 市场的天加 GHP 燃气多联机推 广有着很好的示范作用。值得一 提的是,上海此前曾出台相关促 进燃气空调推广的文件, 天加此 举对地方政府的政策积极回应将 会进一步促进改项技术在上海地 区的使用。

IEK 入驻贵州梅岭电源有限公司

近日, EK 凭借着精湛的技 术和多元化的服务成功中标航天 十院旗下 —— 贵州梅岭电源有 限公司,为国家航天事业提供舒 适、节能、健康的环境。

贵州梅岭电源有限公司是一 个集研究、设计、试制与批生产 为一体的国有大型企业,具备年 产 18000 只单元热电池和 1800 台锌银电池的能力。公司主要产 品包括锌银蓄电池、锌银贮备电 池、热电池、锂亚硫酰氯电池、 锂离子电池、高压氢镍电池、锌 空电池、铅酸电池、电池充放电 及检测设备等,为我国 200 多个

航天和武器装备型号配套产品达 1500 余种, 对国家各类武器和 航天飞行器用电源及其电源配套 检测设备的配套率达90%以上。

EKRV-E 系列喷气增焓全直 流变频多联机, 机组采用全新四 面环绕换热器结构, 独特弯道通 风设计, 二级过冷可达30℃, 制冷性能卓越。此外, 机组标配 喷气增焓功能,换热器底部防结 霜专利设计,无惧严寒,制热更 加稳定。EKRV-E系列单模块高 达 42HP, 极大的满足了"节约 占地,分区域系统灵活配置"的 需求。

美的中央空调荣获售后 服务体系双项权威认证

美的中央空调荣获由全国商 品售后服务评价达标认证评审委 员会和北京五洲天宇认证中心联 合颁发的 "CAS 售后服务认证五 星级"和"CTEAS售后服务体 系完善程度认证七星级(卓越)" 证书。

在美的中央空调总部,北 京五洲天宇认证中心的评审组一 行,对美的中央空调售后服务相 关的体系管理文件、售后服务智 能系统、客户服务交互中心、售 后配件仓储基地等进行了全方位 现场考察评审。

经评审组专业、严苛的审核 后,美的中央空调最终凭借完善 的售后服务体系, 顺利通过了 CAS、CTEAS 双体系认证、获 得该认证最高级别荣誉: "CAS 售后服务认证五星级"和"CTEAS 售后服务体系完善程度认证七星 级(卓越)"。

日立中央空调与东易日 盛战略签约

7月30日,日立中央空调 与东易日盛战略合作签约仪式在 京举行。东易日盛特许发展事业 部总经理宋伟光, 日立中央空调 市场推广部部长李云峰,香港维 斯林室内建筑设计创始人、香港 80 后着名设计师廖奕权,上瑞元 筑设计有限公司创始合伙人兼设 计总监、中国建筑学会高级室内 建筑师范日桥, 以及多位业内人 士、设计师朋友、媒体人士出席。

东易日盛集团特许发展事业 部总经理宋伟光以及日立中央空 调市场推广部部长李云峰进行现 场签约,并互换证书签字,在座 的各位领导嘉宾和设计师同仁们 共同见证这一盛况。

同方人环中标喀什巴楚 煤改电工程一期项目

同方人环工程事业部建筑节能西区业务部在公司领导精心指导下,于2019年年中中标新疆省喀什地区巴楚县"煤改电"工程(一期)居民供暖设施改造工程施工一、二标段。项目采用辐射电暖气7万余台为当地18000多户少数民族居民冬季供暖。

南疆喀什地区煤改电采暖工程涉及面广、政策性强,当地政府把煤改电工程当作重点惠民工程、民心工程,精准扶贫工程,严格督导推进、强化绩效考核,让更多农村群众早日享受到煤改电工程带来的生活便利。

此次项目规模较大,后续当 地乃至整个新疆还将会有更多的 煤改电工程,也必将带动热泵产 品推广。项目的成功实施,除了 更好地改善了当地居民的生活品 质,促进民族团结,更在新疆地区煤改电项目中树立了一 里程碑式的模范项目,有助目正 一步开拓当地市场。目前项目正 在实施阶段,预计今年9月中旬 正式投入使用。

大金斩获十佳售后奖

2019年6月29日,由中国商业联合会、中国保护消费者基金会共同主办的"第九届全国售后服务评价暨标准宣贯活动"在北京揭晓评价结果。大金空调技术(中国)有限公司(以下简称"大金")凭借业内优异服务水平和消费者良好口碑,在近千家参评企业中脱颖而出,斩获"全国售后服务十佳单位"嘉奖。

未来,大金将继续专注品质、 持续创新、倡导环保,用优质的 产品和服务致力于为消费者缔造 高品质舒适生活而不断前行。

┃同方人环与北京科锐成功签订战略合作协议

2019年7月19日,北京科 锐能源管理有限公司到访同方人 工环境有限公司北京总部进行参 观考察,并在同方总部签署了战 略合作协议。

同方人环与北京科锐在各自 的领域均具有明显的优势,产业 互补性强,合作潜力巨大,为适 应市场发展的需要,充分发挥优 势,双方经深入的交流协商,愿 在双方的技术和产品合作、平台 和业务相融、数据和资源共享、 综合能源和全机电智能运维等方 面开展全方位战略合作,资质共 享,优势互补,共同开创互利共 赢的新局面,进而提高各自品牌 知名度、市场份额和经济效益。

此次战略合作协议的成功签署,标志着双方进入了一个崭新的共融发展阶段。双方将结合未来中长期合作的总体规划,因地制宜,科学地规划设计实施方案,深入合作,为共同的客户提供最全面的一体化解决方案。

▋麦克维尔水源热泵应用于广州国际医药港

粤港澳大湾区国际智慧健康城(广州国际医药港)是广东省"十三五"规划重点建设项目,建设总占地面积达73公顷、计容总建筑面积1,500,000m²的庞大建筑群,总投资逾200亿元。将创建功能齐全的大型"中药城",面向全国,辐射世界,打造永不落幕的国际药品交易会。

该项目最终采用麦克维尔分体式水源热泵 MWSC 系列 6088 套、新风式水源热泵 MWHX 系列 100 套, 总制冷量

57181kW

广州国际医药港国际医药 展贸中心汇聚购物、养生、娱乐、 文化、休闲、商务等商贸综合体, 针对商铺繁多、分户计费难、 冷热需求不一致的需求,麦克 维尔水源热泵 MWSC 机组实 维尔水源热泵 MWSC 机组实 统一等,也有为人,而且系统造价 中;此外水源热泵安装在各房 间,通过独立电表分户计费精确公平。

海尔中央空调率先获得呼和浩特地铁 2 号线 入驻"通行证"

目前,呼和浩特地铁2号线一期工程从2015年试验段开工建设。在该线绿色建设期间,海尔 MX8 无线多联机产品凭借专业定制的解决方案及超快的到货速度入驻2号线车辆段和停车场,赢得了项目方的高度认可。

呼和浩特温差跨度近60度, 因此项目方对中央空调的稳定性 提出了极高的要求。此外,由于 呼和浩特全年夏、冬两季时间较 久,所以中央空调在制冷、制热 季节运行时间长,因此项目方在 选择空调时,对中央空调的节能 性也提出了严格要求。

在综合考虑项目方对中央空调稳定性与节能性的需求后,海尔中央空调最终向项目方推荐了海尔 MX8 无线多联机产品。该产品不仅可实现 54℃高温正常制冷、-26℃低温正常制热,为车辆段和停车场营造舒适的室内空气环境,还采用 0.5Hz 变频技术,最强节能效果可提升 15%。

▍技术沉淀推动专利升级、EK 新增三项发明专利

近日, EK 新增三项发明专 利:一种排水盘组件、一种防结 霜空调机组、一种过滤器及空调 系统,分别针对多联机、风冷模 块机等产品性能做了相应的优 化。以应用于风冷模块机的一种 过滤器及空调系统为例,它能使 机组内部的冷媒系统的抗堵能力 更强,系统管路不易脏堵,即时 有氧化皮等杂质讲到系统管路也 不会导致系统无法运转, 保证系 统正常运行,延长使用寿命,延 长清洗周期,减少清洗次数,降 低维护费用。值得一提的是,该 技术已经被广泛应用于所有系列 的风冷模块产品中。

此外,应用于多联机产品上 的专利防结霜/过冷换热器设计。 在制热模式下,从室内机出来的 中温制冷剂先进入防结霜换热器 进一步放热,以保证室外机换热 器底部始终不结霜, 防结霜设计 能有效避免换热器底部结霜和积 雪,提升系统制热能力。

▎吉林磐石市医院选用日立 CAM Ⅱ 商用多联机

吉林省磐石市医院始建于 1949年,70年来以执着的医志、 高尚的医德和精湛的医术将"安 如磐石"的形象树立在磐石人的 心中。医院新建成的综合门诊大 楼,面积22700平方米,其中门 诊面积8400平方米,设有内科、 外科、理疗科、中医科、医学影 像科及病理科等各类科室,结构 齐全。项目使用日立 CAM II 商 用多联机系列, 外机 35 台, 总

匹数 480 匹。

为让患者有一个更好的就医 环境, 吉林磐石市医院除了引进 先进的医疗设备和合理优化医疗 布局外, 还重点打造舒适的室内 环境和良好的空气品质。而医疗 行业的特殊性使其对中央空调系 统的性能、能耗等方面有着更高 的要求,需要一个多样化、精细 化、高质量和稳定可靠的室内环 境。

日前,志高暖通凭借优异的 产品性能、出色的设计方案,成 为贵州遵义茶叶交易中心的暖通 空调系统项目的供应商, 志高暖 通与合作伙伴贵阳四华安迪空调 设备有限公司在贵州区域携手打 造的百万级样板工程。

"贵州遵义茶叶交易中心" 是贵州省人民政府、商务厅批复 的首个服务三农经济的茶叶交易 中心,项目投资约0.87亿元,位 于遵义市湄潭县中国茶城二期, 建筑面积约11000平方米, 涉及 大数据中心、智能软件开发、智 能电气系统、智能信息处理系统、 数字展厅系统、物联网溯源系统、 装饰装修等多专业技术。中国茶 城位于湄潭县县城湄江新区,总 投资 10 亿元,是按 AAAA 级标 准打造的全省 100 个城市旅游综 合体之一。中国茶城不仅是全国 最大的茶叶交易平台,还是以茶 为核心的茶产业发展综合舞台。

本工程使用场所为大型商品 交易中心,方案考虑到空调系统 的分区灵活控制,运行节能的要 求,同时兼顾前期的投入、后期 使用维护成本,选用志高风冷热 泵模块机组,满足夏季制冷,冬 季制热的需求。

海信中央空调 服务哈尔滨工业大学

近日获悉,海信中央空调东 北市场传来捷报,旗下低温 HI-Mod 风冷模块产品成功中标哈尔 滨工业大学多能互补项目, 现已 完成调试正式运行,制冷面积达 到 60000 平米。

由于项目地处东北,冬季 气候寒冷异常,对中央空调产品 是个极大的考验。一般情况下, 风冷模块热媒水进出水温度为 40/45℃、室外环境温度越低、 制热效果越差。而海信超低温强 热型风冷模块 Hi-Mod H 系列, 制热最高出水温度60℃,制热 运行最低环境温度可低至-26℃, -20℃ 时制热 COP 超过 2.0, 远 远领先其他同类产品。如此高效 的制热能力,可广泛适用于华北、 东北等寒冷地区冬季取暖使用。

台佳牵手中海油 打造我 国最大炼化一体化基地

为了更好地满足全国对高 端石化产品快速增长的需求,中 海油惠炼二期改建扩工程被列入 国家"十二五"产业规划,是我 国规模最大的炼化一体化基地之 一。项目总投资 466 亿, 2014 年 动工,2017年试车、投产,形 成 2200 万吨 / 年炼油、220 万吨 /年乙烯的产业规模,资产超过 1000 亿元, 产值超过 2000 亿元。

此前,台佳已广泛服务于北 京、天津、重庆、湖南、陕西、 洛阳、新疆等多地石油化工厂, 在行业内有着丰富的经验和品牌 知名度。

此次与中海油惠炼二期合 作,根据对方对制冷量、能效比、 稳定性、智能化、维护便捷等产 品需求,项目采用了台佳智慧型 高效集成冷冻站。

国<mark>际</mark>资讯 International News

美国中央空调和空气源热泵 2019 年 5、6 月份出货量

2019年7月12日,美国空调供热制冷协会AHRI发布美国2019年5月份中央空调和空气源热泵共出货1,005,646台,同比增长3.5%,去年同期出货数据为971,246台。中央空调出货为659,423台,同比下降2%,去年同期出货数据为673,010台。空气源热泵出货为346,223台,同比增长16.1%,去年同期出货数据为298,236台。

2019年8月6日,美国空调供热制冷协会AHRI发布美国2019年6月份中央空调和空气源热泵共出货1,071,932台,同比下降4.3%,去年同期出货数据为1,120,459台。中央空调出货为716,424台,同比下降8.6%,去年同期出货数据为783,705台。空气源热泵出货为355,508台,同比增长5.6%,去年同期出货数据为336,754台。

2019年前6个月,美国中央空调和空气能热泵累计出货4,681,655台,同比增长0.6%,去年出货数据为4,654,900台。中央空调出货为2,978,788台,同比下降2.3%,去年同期出货数据为3,049,440台。空气能热泵累计出货为1,702,867台,同比增长6.1%,去年同期出货数据为1,605,460台。



▲全球热泵销量下降 3.3%

2017年创下纪录以来,去年全球热泵销量下降3.3%。英国市场情报公司BSRIA发布的最新报告显示,2018年的热泵销量略高于300万台。

BSRIA 高级市场情报分析师艾琳·布雷斯劳尔表示,去年中国经济放缓拖累了市场。"最近的中美贸易战给当地经济扩张带来了更大压力,导致原材料价格上涨,新建住宅建设市场放缓。尽管国内燃气锅炉的竞争日益激烈,但减少二氧化碳排放的环保措施一直在支持热泵市场。"

2018年, 欧洲销量增长

12.9%, 达到近 65 万台,销售额为 51 亿欧元。空气源热泵保持了强劲的增长速度,分体式系统的增长速度最快:销量增长19.1%,其次是单体(18.2%)。空气源热泵也在增加,主要是受法国市场需求的推动。欧洲的热泵销售受到建筑法规的推动,该法规的目标是限制大多数新建建筑的平均能耗。销售主要由住宅建筑应用推动。

荷兰的供应商在数量上实现了高增长(+62.8%),其次是爱尔兰(+47.0%)和英国(+19.7%)。

┃ 2018 年,欧洲 VRF 销售额增长 7%

去年 VRF 空 调 在 欧 洲 的 销量增长了 7%, 达到 216,135 台。葡萄牙和罗马尼亚大幅增长 30%, 而挪威和立陶宛降幅最大, 降幅约为 -30%。

这些数据包含在 Eurovent Market Intelligence (EMI)发布的最新欧洲、中东和非洲暖通空调销售调查中。欧洲主要的 VRF市场按大小排列为土耳其、法国、

意大利和西班牙,共 108,744 台。 2018年,北欧远远落后仅售出 1327台。

容量超过50kW的高容量 VRFs增幅最大,从2017年的 11.2%上升至2018年的14.1%。 虽然不同国家的情况有很大差 异,但分体空调是最受欢迎的 室内单元(42%),其次是风管 (30%)和墙体空调(21%)。

▎ASHRAE 发布了暖通空调应用新手册

ASHRAE 宣布发布其 2019 年版 ASHRAE 手册 —— 暖通空调应用。新出版的暖通空调应用卷由 65 章组成,涵盖广泛的设施和主题,旨在帮助工程师设计和使用手册中其他的卷中描述的设备和系统。主要部分包括舒适性、工业、能源相关和一般应用,以及建筑操作和管理。

2019年版包括三个新章节: 室内游泳池(第六章)、室内气 流模型(第59章)以住户为中 心检测及控制(第65章)。

其他更新包括: 教育建筑(第

8章)提供了最新的设计标准,以及关于高等教育校园和残疾学生教育设施中心工厂优化的新章节。医疗建筑(第9章)已被广泛改写,以满足当前的卫生保健要求。太阳能(第36章)增加了关于太阳能集热器和光伏应用的最新指南,提供了有关光伏系统安装和操作指南,并提供了新的实践实例。综合建筑设计(第60章)已被完全改写,以提供更多关于综合建筑设计过程的细节。

美国加州建 400 兆瓦太阳能电站 推动 100% 可再生能源供应

8 分钟太阳能公司将在加 利福尼亚的克恩县建造新的太 阳能加储存项目,该项目预计 建造一个400兆瓦的太阳能电 池阵列,每年产生大约876,000 兆瓦时 (MW·h) 的电力, 这足 以在白天为超过65,000个家庭 供电,其800兆瓦时的电池系 统将在太阳落山后储存电能, 从而减少对天然气发电机的需 求。

美国加利福尼亚州洛杉矶 的官员,预计将批准一项协议。 该协议将使太阳能发电比以往任 何时候都便官,同时克服其主要 缺陷: 它只在阳光普照时起作用。 这项协议将推动建成一个巨大的 太阳能发电站,以及世界上最大 的储能电池系统之一。

从 2023 年开始, 该项目将 为洛杉矶提供7%的城市用电 量,太阳能发电的电费是每千瓦 时(kW·h)为1.997美分,电池 供电为每千瓦时 1.3 美分, 这比 使用化石燃料产生的任何电力都 便官。加州斯坦福大学的大气科 学家雅各布森 (Mark Jacobson) 评价说:"由于规模经济的增 长,可再生能源和电池的价格不 断下降。"他曾为很多国家建议 如何转向 100% 可再生电力。巧 合的是,最近美国一家大型煤炭 公司 —— 位于西弗吉尼亚州的 Revelation Energy LLC 公司申请 破产,这是近期以来的第二起破 产事件。

美国组合式空调市场规模 达到 204 亿美元

美国 VRF 空调市场进一步 增长。一份新报告估计,2018 年,美国组装式空调销量增长渝 14%, 达到 204 亿美元。

这些最新数据是由英国市 场研究公司 BSRIA 在一项新的 研究中公布的 —— 房间、组 装式、整体式和炉式空调。这 一数字包括窗户/穿墙机组、 PTAC、可移动设备、迷你分体式、 VRF、屋顶、室内组装式、美式 风盘、蒸发线圈(包括带鼓风机 的)、熔炉和关闭控制机组的销 售总额。

在另一项研究中, BSRIA 报告称,2018年美国中央空调 市场也增长了约6%, 达到32亿 美元 —— 连续第四年增长。

▲美国开发辐射制冷系统 将比任何冷却系统更节能

随着世界面临不断扩大的 气候变暖危机, 这类发明可能会 成为力挽狂澜者。目前的气候变 暖危机是人类活动导致的各种排 放推动的。美国环境保护局的数 据显示, 从全球看, 大约12% 的非二氧化碳排放是冷冻设备和 空调带来的。

报道称,要理解辐射制冷 的工作原理,暂时忘记太阳,想 想夜晚的天空。夜空非常寒冷。 在夜晚, 散热物体向上释放的热 量比整个天空发回地面的热量更 多。

几百年前 —— 远在制冷设 备出现前,印度人和伊朗人曾 利用这个基本概念在温度高于 冰点的情况下制造冰块。他们 将水注入大而浅的陶瓷缸。缸 的周边围上干草以隔热。然后, 他们将这些缸放在室外晴朗的 夜空下。这听起来是反直觉的。

但如果空气的温度只比冰点高 一点, 水释放出热量会使水温 低于周围空气的温度, 从而让 它结冰。如果你夏天早上醒来 时看到一层霜花或露水, 就是 同样的原理在起作用。

如今, 天空冷却系统公司 的研究人员正把这个原理运用于 现代。他们用它来重新构想我们 为住宅、数据中心和冰箱制冷的 办法。

在斯坦福大学工作时, 天空冷却系统公司的三名创始 人 — 范汕洄、埃利·戈德斯 坦和阿斯沃斯·拉曼 —— 创造 了一种有助于推动辐射制冷过程 的材料。这种材料的表面会以恰 当的平衡来吸收、散发和反射热。

报道称,他们的发明看起 来很像太阳能电池板。一块扁平 的金属面板上覆盖着一层高技术 薄膜 —— 这就是三人发明的材



料。这种材料会有效地反射太阳 的光和热, 这样, 该薄膜下面的 温度可以比周围空气温度低5至 10 摄氏度。在薄膜下的金属面 板上蜿蜒环行的一套管道系统就 暴露在较冷的温度中, 从而冷却 管内的液体。

尽管天空冷却系统公司认 为,它的技术同目前的制冷系统 并肩工作会让制冷系统更有效 率, 但美国布法罗大学的研究人 员认为,未来可能出现独立的不 使用电的辐射制冷系统。该大学 研究人员进行的有关新研究发表 在英国《自然·可持续发展》杂 志上。



副秘书长曹威、海尔中央空调 空气产业副总经理付松辉到会 并致辞。



徐伟理事长在致辞中指出在 过去三年里,清洁供暖在全国如 火如荼地开展,对于京津冀污染 通道的26家重点城市,以及汾渭 平原的11个城市,再加上奥运城 市张家口和雄安新区在内的全国 40个左右的城市,中央投入了巨 额财政进行拉动。西藏地区很多 民房及农户,冬季供暖设施不完 善, 供暖方式比较落后, 所以在 西藏地区清洁供暖、可再生能源 供暖是未来发展的趋势。希望通 讨本次会议的技术交流, 探讨在 西藏地区这样的一个特殊地理条 件下适用供暖方式和适宜技术。

上午的主题报告由中国建筑 设计研究院徐稳龙副总工主持。

首先徐伟理事长进行《清洁 取暖技术发展与应用》的主题发 言,报告全面介绍了清洁供暖的 背景、内容、目标、技术路径、 现状、成果以及与此相关的产业 发展情况和存在的难点。围绕热 源结构如何构建、行业融合的冲 击如何应对、快速规模化发展后 如何保障、清洁供暖如何评价等 几个焦点问题展开思考与建议。

西藏自治区科技厅能源研究 示范中心赵斌主任作了《西藏新 能源及应用》的主题发言。西藏 作为国家"西电东送"接续基地 和清洁能源基地, 水能资源理论 蕴藏量为2亿千瓦,约占全国的 30%, 居全国首位, 也是世界上 太阳能最丰富的地区之一。作为 中组部第17、18批援藏博士团 成员,赵斌主任在西藏工作两年 有余,对西藏地区能源利用非常 熟悉,他的发言围绕西藏新能源 分布、应用及利用展开。

海尔磁悬浮杯绿色设计与节 能运营大赛年中总结

凭借行业首次聚焦建筑全生 命周期节能设计与运营,海尔磁 悬浮大赛自2016年举办以来, 受到了各界的关注和支持,在暖 通空调产业技术创新联盟和行业 学会的指导下,在海尔中央空调 的积极推进下,目前大赛已成为 设计院、专家、用户的交流平台, 构建起绿色节能生态圈。

海尔磁悬浮杯绿色设计与节 能运营大赛年中总结由山东省建 筑设计研究院总工于晓明主持。

徐伟理事长代表主办单位对



大赛的持续成功举办表示祝贺, 中机中联工程有限公司于谦高工 作为第三届获奖代表分享了参与 磁悬浮大赛过程中体会和感想。 海尔中央空调行业用户总监张新 刚先生代表承办单位介绍了大赛 的阶段性成果和绿色生态创新机 制。

发展清洁能源是大势所趋, 更是民心所向, 西藏自治区建 筑业协会副秘书长曹威、暖通 空调产业技术创新联盟秘书长 王东青、北京市建筑设计研究 院总工徐宏庆、中国建筑设计 研究院总工潘云钢、中国西南 建筑设计研究院总工戎向阳、 海尔中央空调企划总监杨宝林 共同出席"倡导清洁能源 共赢 绿水青山"倡议仪式,相信在 大家的共同努力下,海尔磁悬 浮杯绿色设计与节能运营大赛 会继续为清洁能源推广添砖加 瓦,清洁能源推广行动也必将 坚定不移的走下去,绿水青山 的中国梦终将变成现实!

下午的主题报告环节由天津 大学环境科学与工程学院张欢教 授主持。

哈尔滨工业大学周志刚副教 授作了《基于智能引擎的供热系 统智慧设计与运行》主题报告。

中国建筑西南设计研究院有

限公司戎向阳总工作了《高原建筑供暖的一些思考》的主题发言,戎总讲到高原供暖应优先解决建筑设计与围护结构节能问题,通过优化建筑设计、提高建筑气态,同时基于高原资源和生态,同时基于高原资源和生态特征,高原供暖应充分利用太阳能、水电、地热等清洁能源进行供暖;对于既有建筑节能改造,门窗改造是重点,提高其热工性能和气密性。

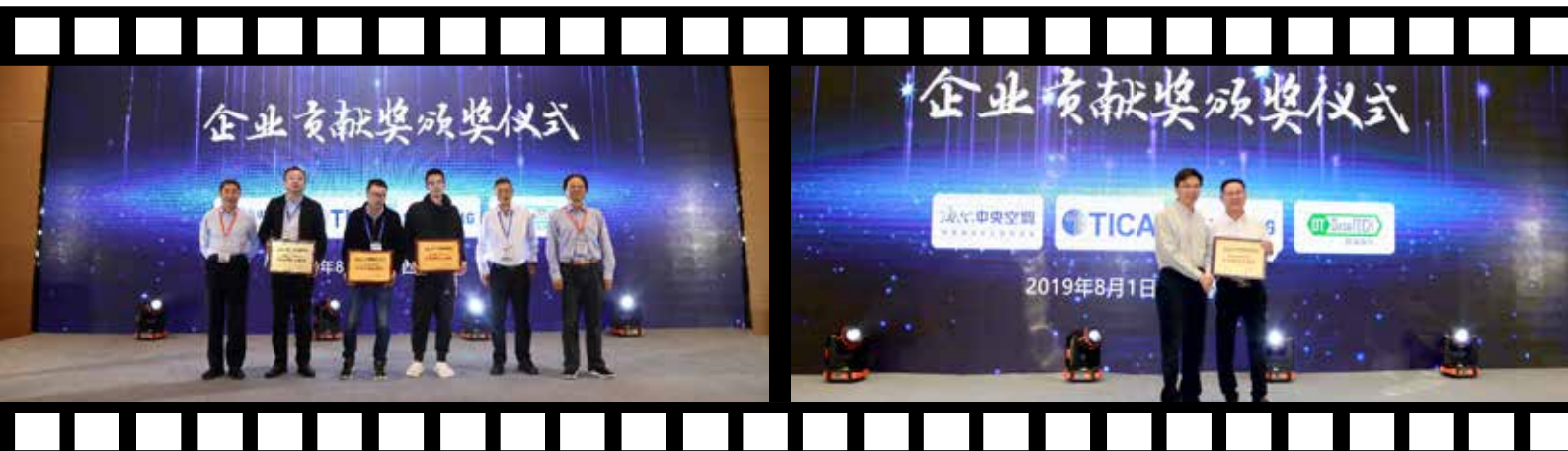
中国建筑科学研究院环能院高性能建筑研究中心吴剑林副主任作了《超低能耗建筑在清洁取暖中的应用》主题报告。吴展证明超低能耗建筑国内外发展工程应用案例几个方准。进行了分享,提高建筑是实现北方,超低能耗建筑是实现北方地区是发展超低能耗建筑技术的重要手段。我技术的重要进一步探索、成效较为显著,其他地区需要进一步探索实践。

海尔中央空调技术总监杨宝林、南京天加环境科技有限公司研发部高级经理胡用、三星(中国)投资有限公司空调技术部科长金纯洁和上海翱途流体科技有限公司总经理陈雷昕,分别做了《海尔中央空调供暖及磁悬浮方

案案例》、《清洁能源天加解决方案》、《三星低温空气源热泵的应用优势》和《分布式换热机组在供热系统中的应用》的精彩发言。

欢迎晚宴环节,海盟专家俱 乐部正式成立。

学企联合,才能更好地促进行业技术发展,本次年会也得到了业内企业的大力支持。为表示对他们的感谢,本次年会特意安排了授牌仪式,授予海尔中央空调"2019年供暖技术学术年会"最佳贡献奖,授予南京天加环境科技有限公司、三星(中国)投资有限公司和上海翱途流体科技有限公司"2019年供暖技术学术年会"突出贡献奖。







关于规范城镇燃气工程安装收费的指导意见

发改价格 [2019] 1131号

各省、自治区、直辖市发展改革委、物价局,住房和城乡建设厅(局)、城市管理委、市场监管局:

随着我国天然气市场发展、管道燃气日益普及、居民生活便利程度大大提高。但在燃气工程安装过程中、 存在部分企业利用市场优势地位强制服务并收费、收费标准偏高,指定施工单位、限制竞争等问题,影响了市 场秩序,加重了用户负担。为规范城镇燃气工程安装行为,加强工程安装收费管理,根据《国务院关于促进天 然气稳定协调发展的若干意见》(国发〔2018〕31号),现提出指导意见如下。

- 一、明确城镇燃气工程安装费定义及内涵。城 镇燃气工程安装费是指为保障用户通气,相关企业 提供建筑区划红线内燃气工程勘察、设计、施工、 监理、验收等服务而收取的与工程建设相关的服务 费和材料费等费用。燃气工程安装收费范围仅限于 建筑区划红线内产权属于用户的资产,不得向红线 外延伸。
- 二、加快构建燃气工程安装竞争性市场体系。 各地要加快建立完善公平开放的燃气工程安装市场, 鼓励具备燃气工程安装施工能力的企业依法取得相 应市政公用工程施工资质后参与市场竞争,鼓励具 备安装资质的企业跨区域开展工程安装和改造业务, 促进市场竞争。燃气企业不得滥用市场支配地位垄 断经营范围内工程安装业务,或指定利益相关方从 事燃气工程安装,妨碍市场公平竞争。
- 三、合理确定城镇燃气工程安装收费标准。燃 气工程安装竞争性市场体系尚未建立、收费标准纳 入政府定价目录进行管理的地方, 当地价格主管部 门要建立健全监管机制,加强成本调查监审,对标 行业先进水平,兼顾周边地区水平,合理确定收费 标准,原则上成本利润率不得超过10%,现行收费 标准偏高的要及时降低。同时,要创造条件加快建 立完善燃气工程安装竞争性市场体系, 充分发挥市 场决定价格的作用。

城镇燃气工程安装收费标准由市场形成的地方, 工程安装企业应当遵循公平合法、诚实信用的原则, 合理确定收费标准,不得有价格欺诈、价格串通、 牟取暴利等不正当价格行为。

四、取消城镇燃气工程安装不合理收费。凡与 建筑区划红线内燃气工程安装工程设计、施工等服 务和材料不相关的收费,包括开口费、接口费、接 入费、入网费、清管费、通气费、点火费等类似费用, 涉及建筑区划红线外市政管网资产的增压费、增容 费等, 涉及市政管网到建筑区划红线连接的初装费、 接驳费、开通费等费用,以及其他成本已纳入配气 价格的表具更换等收费项目,一律不得收取,并不 得变换名目另行收取费用。

五、简化城镇居民新建住宅燃气工程安装等收 费方式。与新建商品房配套建设规划红线范围内的 燃气工程安装费用统一纳入商品房开发建设成本, 房地产开发企业、燃气企业等不得另外向商品房买 受人单独收取。燃气企业为排除用气安全隐患而开 展的燃气表后至燃具前设施修理、材料更换等服务 所需费用,纳入配气成本统筹考虑,不再另行收费。 非居民用户燃气工程由城镇燃气企业或利益相关企 业施工的,鼓励燃气企业结合用气量和用户协商收 费优惠事官,减轻用户负担。

六、规范城镇燃气安装工程施工管理。燃气工 程安装参建各方要认真做好工程施工、监理、验收 等相关工作,确保燃气工程安装质量。鼓励各地住 房城乡建设部门制定当地燃气工程施工技术规范和 标准,并明确工程建设管理、安全监督、事故赔偿 等责任, 落实参建各方质量安全主体责任, 保障权 责公平对等。施工企业要严格按照相关技术规范和 标准施工,保障工程安装质量和供气安全。对施工 质量不符合供气要求影响供气安全的,须按照地方 住房城乡建设部门要求进行整改, 经整改仍不符合 要求或多次出现施工质量问题的,可依法依规采取 纳入企业失信记录、市场禁入等措施。

七、推动信息公开强化社会监督。燃气工程安 装收费标准由政府管理的,价格主管部门制定和调



整收费标准,要通过门户网站等指定平台向社会公 开价格水平和相关依据。燃气工程安装收费标准放 开由市场竞争形成的,燃气工程安装企业要在显著 位置标明收费标准和价格构成等依据,推进价格信 息公开透明,接受用户咨询,强化社会监督。燃气 工程安装企业不得收取未予标明的费用。

八、加强市场监管规范市场秩序。市场监督管 理部门要持续开展城镇燃气工程安装领域反垄断执 法,严厉打击垄断协议和凭借市场支配地位垄断燃 气工程安装市场或指定利益相关方进行施工等行为。 各地市场监督管理部门要加强价格监管, 对以供气

安全等为由对非利益相关方施工并已验收合格的燃 气工程另行加价的,以及对已经取消的收费项目变 换名目另行收费的,依法进行查处。典型案件要通 过新闻媒体公开曝光,并纳入企业失信记录。

上述指导意见,请按照执行。对农村地区燃气 工程安装收费管理,可参照本指导意见并结合当地 实际情况制定具体政策。

> 国家发展改革委 住房和城乡建设部 市场监管总局 2019年6月27日

市场监管总局关于防爆电气等产品由生产许可 转为强制性产品认证管理实施要求的公告

2019 年第 34 号

根据《国务院关于进一步压减工业产品生产许可证管理目录和简化审批程序的决定》(国发〔2018〕33号) 要求,市场监管总局决定对防爆电气等产品由生产许可转为强制性产品认证(CCC 认证)管理。为确保 CCC 认证实施顺利,工作衔接平稳有序,现将有关要求公告如下:

一、认证实施日期

自2019年10月1日起,防爆电气、家用燃 气器具和标定容积 500L 以上家用电冰箱(具体产 品范围和强制性产品认证实施规则详见附件)纳入 CCC 认证管理范围, 各指定认证机构(认证机构和 实验室指定工作将另行公告)开始受理认证委托; 各省、自治区、直辖市及新疆生产建设兵团市场监 管局(厅、委)(以下简称省级市场监管部门)停 止受理相关生产许可证申请,已受理的依法终止行 政许可程序。

自 2020年 10月 1日起,以上产品未获得强制 性产品认证证书和未标注强制性认证标志,不得出 厂、销售、进口或在其他经营活动中使用。

二、指定认证机构工作要求

指定认证机构应依据强制性产品认证通用规则 和对应产品实施规则的要求制定认证实施细则,于 2019年9月25日前向市场监管总局(认证监管司) 完成备案。

三、CCC 认证与生产许可证管理的衔接

(一) 2020年10月1日前,国内企业生产的以 上产品应凭有效生产许可证或 CCC 认证出厂、销售 或在其他经营活动中使用。

- (二)对于已获生产许可证的企业, 若以上产 品在2020年10月1日(含)后不再继续生产的, 无需办理 CCC 认证; 否则, 应尽快提交认证委托, 并在 2020 年 10 月 1 日前获得 CCC 认证。
- (三)对于持有效生产许可证的企业提出的认 证委托, 指定认证机构应承认相应的审查及检测结 果,制定相关转换方案(包括差异检测项目、补充 工厂检查等内容)并实施,对符合认证要求的产品 换发 CCC 认证证书,同时向企业所在地省级市场监 管部门通报获证企业名单。证书转换过程中发生的 认证、检测费用原则上由财政负担。
- (四)各省级市场监管部门根据认证机构通报 和生产许可证到期情况,及时办理生产许可证注销 手续。2020年10月1日,市场监管总局注销所有 未转换的有效生产许可证。
- (五)对于在生产许可证有效期间生产的产品, 2020年10月1日后可继续使用原包装(符合生产 许可证要求)出厂销售。

附件:

- 1. 由生产许可转为强制性认证产品范围
- 2. 强制性产品认证实施规则 防爆电气 (略)
- 3.强制性产品认证实施规则 家用燃气器具(略) 市场监管总局 2019年7月5日

产品范围	强制性产品认证 实施规则	产品种类及代码	产品适用范围				
	CNCA-C23-01:2019 强制性产品认证实 施规则 防爆电气	1、防爆电机(2301)	中心高≤ 160mm 或额定功率≤ 15kW 的各类电动机、160mm <中心高≤ 280mm 或 15kW <中心高≤ 500mm 或 100kW < 额定功率≤ 500kW 的各类电动机、中心高> 500mm 或额定功率> 500kW 的各类电动机				
		2、防爆电泵 (2302)	额定功率≤ 15kW 的各类电泵、15kW <额定功率≤ 100kW 的各类电泵、额定功率> 100kW 的各类电泵				
		3、防爆配电装置类产品(2303)	配电箱(柜)、动力检修箱、接线箱、接线盒、电源(箱)、滤波器(箱)、功率补偿装置、整流器(箱)、电源变换器(切换装置)				
		4、防爆开关、控制及保护产品 (2304)	开关(箱、柜)、按钮(盒)、断路器、控制柜(箱、器、台)、继电器、操作(箱、台、柱)、保护器(箱)、保护装置、司钻台、脱扣器、司机控制器、调速控制装置、断电器(仪)、遥控发射器(接收器)、斩波器				
		5、防爆起动器类产品(2305)	起动器、软起动器、变频器(箱)、电抗器				
		6、防爆变压器类产品(2306)	移动变电站、变压器(箱)、调压器、互感器				
防爆电器		7、防爆电动执行机构、电磁阀类 产品(2307)	电动执行机构、阀门电动装置、电气阀门定位器、电动阀、电磁阀、电磁铁、电磁头、 电磁线圈、电截止阀、电切断阀、调节阀、电/气转换器、制动器、推动器				
		8、防爆插接装置(2308)	电联接器、插角(含插头、插座)、插销开关				
		9、防爆监控产品(2309)	摄像机(仪)、云台、监视器、监控(分)站、中继器、传输接口、视频服务器、显示器(仪、屏、箱)、计算机、工控机(含附件、声光(语言、信号、静电)报警装置(器)				
		10、防爆通讯、信号装置(2310)	对讲机、扬声器(电喇叭)、电话机、播放器、话站、基站(基地台)、交换机、 光端机、汇接机、信号耦合器、放大器、分配器、扩展器、网络(线路)终端、 隔离器、音箱、打点器(拉点器)、信号装置、电铃(电笛)、通讯接口、信号 器(仪、箱)、指示器、网络接入器、网桥(桥接器)、驱动器、网关、发讯机、 接收机(器)、信号(光电、数据)转换器				
		11、防爆空调、通风设备(2311)	制冷(热)空调或机组、除湿机、风机盘管机组、风机、暖风机、电风扇				
		12、防爆电加热产品(2312)	电加热器、电暖器、电加热带、电伴热带、电加热棒、电热板、电加热管				
		13、防爆附件、Ex 元件 (2313)	穿线盒、分线盒、密封盒、隔爆外壳、挠性连接管、电缆引人装置、填料函、塑料风扇(叶)、接线端子、端子套、管接头、绝缘子				
		14、防爆仪器仪表类产品(2314)	采集器(箱)、计数器、编码器、解码器、读卡器、识别器、标识卡、识别卡				
		15、防爆传感器 (2315)	光电传感器、速度传感器、温度(湿度)传感器、状态传感器、声(光)控传感器 热释(红外)传感器、张力传感器、烟雾传感器、堆煤(煤位)传感器、触控传感器 撕裂传感器、跑偏传感器、风门传感器、电压(电流)传感器、倾角传感器、磁性(霍尔 传感器、馈电传感器、接近开关(传感器)、延时传感器、开停(急停)传感器、 物料传感器、位置(位移、行程)传感器				
		16、安全栅类产品(2316)	齐纳安全栅、隔离安全栅、安全限能器(模块)、安全耦合器、木质安全电源				
		17、防爆仪表箱类产品(2317)	仪表箱、仪表盘、仪表柜、电度表箱				
	CNCA-C24-01:2019 强制性产品认证实 施规则 家用燃气器具	1、家用燃气灶具(2401)	单个燃烧器额定热负荷≤ 5.23kW 的燃气灶具				
家用燃气器具		2、家用燃气快速热水器(2402)	额定热负荷不大于 70kW 的热水器				
		3、燃气采暖热水炉(2403)	额定热负荷不大于 70kW、最大采暖工作水压不大于 0.3MPa、工作时水温不大于 95℃、采用大气式燃烧器或风机辅助式燃烧器或全预混式燃烧器的、采暖热水两用的和单采暖的器具。				
标定容积 500L 以上家用电冰箱	CNCA-C07-01:2017 强制性产品认证实 施规则 家用和类似 用途设备	1、家用电冰箱和品冷冻箱(0701)) 标定容积 500L 以上家用电冰箱和食品冷冻箱				

附件 1: 由生产许可转为强制性认证产品范围

关于下达 2019 年度大气污染防治资金预算的通知

财资环〔2019〕6号

有关省、自治区、直辖市财政厅(局):

为促进大气质量改善,贯彻落实《中共中央 国务院关于全面加强生态环境保护 坚决打好污染防治攻坚战的意见》确定的工作内容,现下达你省(自治区、直辖市)2019年大气污染防治资金,用于支持开展大气污染防治方面相关工作,并就有关事项通知如下:

一、各省(自治区、直辖市)安排金额见附件 1,项目代码: Z145060020001,政府支出预算科目 列"211节能环保"。 二、北方地区冬季清洁取暖试点补助资金试点 城市名单及资金额详见附件 2。请相关省(自治区、 直辖市)抓紧将资金拨付到试点城市,会同有关部 门督促试点城市积极稳妥地做好清洁取暖工作。纳 人第三批试点范围的城市要尽快做好清洁取暖实施 方案,于2019年7月20日前报送生态环境部、财 政部、住房和城乡建设部、国家能源局,四部门审 核通过后予以备案,作为地方实施清洁取暖改造和 绩效评价的重要依据。

三、根据《关于建议对2018年三氟甲烷 (HFC-23)销毁处置安排财政补贴资金的函》 (环气候函〔2019〕72号),安排有关省相关企业 2017-2018年氢氟碳化物销毁补贴(企业名称及补 贴金额详见附件3),请即转拨至相关企业。

四、请按照《财政部关于印发 < 大气污染防治 资金管理办法 > 的通知》(财建〔2018〕578号) 等有关要求,加强专项资金管理,保障大气污染防 治重点任务, 切实提高财政资金效益。在本年度资 金分配中,对预算执行率较低的省份资金进行了适 当扣减,请相关省份切实采取措施,增强预算执行 力,提升财政资金使用效益。对已从中央基建投资 等其他渠道获得中央财政资金支持的项目,不得纳 入防治资金支持范围。

五、对列入《国务院办公厅关于对 2018 年落 实有关重大政策措施真抓实干成效明显地方予以督 查激励的通报》(国办发〔2019〕20号)环境治理 工程项目推进快以及大气、水环境质量改善明显的 河北省衡水市、广东省深圳市、海南省海口市、陕 西省渭南市、宁夏回族自治区银川市,请有关省(自 治区)统筹中央财政切块下达的资金,安排一定比 例对上述地方给予奖励。

六、为进一步加强预算绩效管理,请按照《中 共中央 国务院关于全面实施预算绩效管理的意见》 (中发〔2018〕34号)的要求,完善绩效目标管理, 科学填报《大气污染防治资金区域绩效目标申报表》 (附件5),并在收到本通知之日起30日内报我部 和生态环境部备案,做好绩效监控和绩效评价,确 保财政资金安全有效。请参照中央做法,将你省(自 治区、直辖市)确定后的绩效目标及时对下分解, 做好预算绩效管理工作。《大气污染防治资金区域 绩效目标申报表》和分解下达(或审核通过的市县) 绩效目标要同时抄送财政部有关监管局。

附件: 1.2019年大气污染防治资金安排表(略) 2.2019 年北方地区冬季清洁取暖试点资金安排

- 3. 氢氟碳化物(HFC-23)销毁处置补贴资金安 排表(略)
 - 4. 大气污染防治专项资金整体绩效目标表(略)
 - 5. 大气污染防治资金区域绩效目标申报表(略) 财政部

2019年6月13日

附件 2: 2019 年北方地区冬季清洁取暖试点资金安排表

单位: 亿元

序号	省份	试点城市	已纳入试点城市 2019 年补贴资金	新增试点城市 2019 年补贴资金	合计	序号	省份	试点城市	已纳入试点城市 2019 年补贴资金	新增试点城市 2019 年补贴资金	合计
1	天津	天津	8		8		山东	滨州	4		4
2	-	石家庄	5.6		5.6			德州	4		4
		唐山	4		4	4		聊城	4		4
		保定	4		4			菏泽	4		4
		廊坊	4		4			小计	29.6		29.6
		衡水	4		4			郑州	5.6		5.6
	河北	邯郸	4		4			开封	4		4
		邢台	4		4			鹤壁	4		4
		张家口	4		4	.		新乡	4		4
		沧州	4		4	[[Ī	洛阳	2.4		2.4
		定州		0.8	0.8	5	河南	安阳	4		4
		辛集		0.8	0.8		-	焦作	4		4
		小计	37.6	1.6	39.2			濮阳	4		4
3	山西	太原	5.6		5.6			三门峡		2.4	2.4
		阳泉	4		4			济源		0.8	0.8
		长治	4		4			小计	32	3.2	35.2
		晋城	4		4		陕西	西安	2.4		2.4
		晋中	2.4		2.4	6		咸阳	2.4		2.4
		运城	2.4		2.4			铜川		2.4	2.4
		临汾	2.4		2.4			渭南		2.4	2.4
		吕梁	2.4		2.4			宝鸡		2.4	2.4
		小计	27.2		27.2			杨凌示范区		0.8	0.8
_	山东	济南	5.6		5.6			小计	4.8	8	12.8
4		淄博	4		4		4	计	139.2	12.8	152
		济宁	4		4			•			

山东省人民政府办公厅关于严格控制煤炭消费总量 推进清洁高效利用的指导意见

鲁政办字〔2019〕117号

各市人民政府,省政府各部门、各直属机构:

严格控制煤炭消费总量、推进煤炭消费减量替代,是党中央、国务院打赢蓝天保卫战的重大决策部署,也是我省加快产业结构调整、实现新旧动能转换的关键举措。近年来,省委、省政府深入贯彻习近平生态文明思想,扎实开展"四减四增",全省煤炭消费压减工作取得了积极成效。但是,目前全省煤炭消费总量控制形势依然严峻,完成国家确定的煤炭消费压减任务、保障新旧动能转换重大项目建设能耗刚性需求成为亟需解决的突出问题。为完成全省煤炭消费总量控制目标,进一步提高煤炭清洁高效利用水平,经省政府同意,现提出如下意见。

一、总体要求

(一)指导思想。

以习近平新时代中国特色社会主义思想为指导,全面贯彻党的十九大和十九届二中、三中全会精神,认真落实习近平总书记视察山东重要讲话、重要指示批示精神,牢固树立高质量发展理念,以严格控制煤炭消费总量倒逼产业结构调整,以推进煤炭清洁高效利用促进生态环境改善,创新方式方法,完善政策措施,压实工作责任,推动煤炭消费持续压减,努力实现压总量、提效率、促发展的多重目标。

(二)基本原则。

- 1. 政府主导、市场推动。坚持"有为政府"和"有效市场"相结合,正向激励和反向倒逼相促进,强化政策激励、示范引导、责任落实,充分利用市场化手段,加快形成煤炭清洁高效利用新格局。
- 2. 依法依规、精准施策。坚持"减量替代是原则,等量替代是例外",严控新增耗煤项目。坚持压旧上新、压小上大、压低上高、压散上整"四压四上",严格执行能耗、环保、技术、质量、安全标准,大力压减高耗煤产业低效产能。
- 3. 重点突破、统筹兼顾。以焦化、火电等高耗能行业为重点,聚焦淘汰落后产能、压减过剩产能、深化节能改造,开展专项行动,以点带面、条块结合,扎实推进。掌握"时、度、效",统筹处理好煤炭压减与民生取暖、电力供应、防范风险的关系。
- 4. 分级负责、常态长效。建立完善目标管理评价体系,压紧压实行业主管部门监管责任、市县属地责任、企业主体责任。建立健全常态化调度和督导机制,奖惩并重,层层传导压力,确保各项任务落到实处、取得实效。

(三)工作目标。

利用 5 年左右时间,全省煤炭消费争取净压减5000 万吨。

二、重点任务

(一) 严控新增高耗煤项目。

严格落实国家产业政策,按照《山东省加强污染源头防治推进"四减四增"3年行动方案(2018~2020年)》要求,从严控制新上高耗煤项目。对确需新建的耗煤项目,必须落实产能置换和煤炭消费减量替代,否则一律不予立项。(省发展改革委牵头,各市政府负责)

(二)压减高耗能行业产能。

严格核查清理在建焦化产能,违规产能一律停止建设。2019年7月底前,制定出台全省焦化行业产能总量压减和转型升级方案,明确焦化产能压减清单和重点措施。2019年压减焦化产能1031万吨,2020年压减655万吨,两年共压减1686万吨。按照新旧动能转换三年初见成效的要求,在落实《关于七大高耗能行业高质量发展实施方案》的基础上,2019年7月底前,分行业制定出台钢铁、地炼、电解铝、轮胎、化肥、氯碱等产能总量压减和转型升级方案。(省工业和信息化厅牵头,各市政府负责)

(三)加快煤炭清洁高效利用。

2019年7月底前,制定出台推进煤炭清洁高效利用实施方案。提高煤炭热值,利用3~5年时间,逐步将煤炭热值标准由3700~4300千卡提高到5000千卡左右。加大老旧设备改造力度,推广新型水煤浆、煤粉锅炉,提高能源利用效率。7个传输通道城市力争2019年年底前基本淘汰35蒸吨/小时以下燃煤锅炉,2020年年底前实现全部淘汰。提高高效大容量机组发电利用率,减少低效小机组运行时间。除所在地区唯一、不可替代民生热源机组外,力争用3年左右的时间,关停单机容量30万千瓦以下燃煤机组及配套锅炉。(省发展改革委、省工业和信息化厅、省能源局牵头,省生态环境厅、省住房城乡建设厅、省市场监管局、国网山东省电力公司配合,各市政府负责)

(四)推进冬季供暖节能降耗。

2019年7月底前,制定出台工业余热和新能源 供暖细化方案,推进供热体制改革,增加大容量高 效机组供热负荷,利用5年左右的时间,完成3000 万千瓦大容量高效机组余热供暖改造 1.5 亿平方米。 (省住房城乡建设厅牵头,省发展改革委、省生态 环境厅、省能源局配合,各市政府负责)

(五)开展单位能耗效益综合评价。

2019年7月底前,制定出台单位能耗效益综合 评价实施细则,加快建立综合评价大数据平台,分 区域、行业、企业三个层面开展评价,整治淘汰产 出效益低的企业。(省发展改革委牵头,省大数据 局配合,各市政府负责)

(六)重新分解各市煤炭消费压减任务。

研究把公用煤电机组耗煤量从煤炭消费总量中 剥离的方法, 重新测算各市煤炭消费基数及总量控 制目标, 2019年7月底前, 制定出台全省煤炭消费 压减工作总体方案(省发展改革委牵头,省统计局、 省能源局配合)。各市根据压减任务制定工作方案, 确定压煤工程,以工程化管理方式确保完成煤炭消 费总量控制目标。(各市政府负责)

三、保障措施

(一)加强组织领导。

省政府成立全省煤炭消费压减工作专班,省政 府有关领导同志任组长、副组长,省发展改革委、 省工业和信息化厅、省财政厅、省生态环境厅、省 住房城乡建设厅、省统计局、省大数据局、省能源局、 国网山东省电力公司等部门单位和各市政府负责人 参加。抽调精干力量,实行集中办公,统筹推进煤 炭消费压减工作。

(二)细化责任分工。

各牵头部门根据任务分工,制定配套细化方案, 尽快形成"1+N"工作体系。各市、各有关部门按 照时间节点,抓好工作落实,对压减的煤炭消费量 实施清单化管理, 做到可核查、可统计。省财政统 筹有关财政资金,优先保障数据平台建设、区域评 价奖惩、能耗指标收储等工作。

(三)强化统计监测。

加强统计能力建设,健全省、市、县级煤炭消 费统计体系,建立各市、重点行业煤炭消费定期公 布制度,做好数据共享和预测预警。认真核查企业 煤耗数据,对弄虚作假的企业,依法依规严肃处理, 并纳入诚信黑名单。

(四)严格督导奖惩。

将煤炭消费总量控制工作纳入省政府重点督查 事项,加强督导检查和跟踪分析。对按时保质完成 任务的,进行奖励激励;对工作迟缓、落实不力的, 采取挂牌督办、限批、约谈等综合措施,督促问题 整改,并按照有关规定严肃追责问责。

(五)积极宣传引导。

鼓励省属企业和民营龙头企业发挥示范引领作 用,加大相关领域投入,主动减少煤炭消费。通过 报刊、广播、电视、新媒体等载体,广泛宣传煤炭 清洁高效利用的重要意义, 让节约用能、绿色发展 的理念深入人心, 营造全社会节能降耗的良好氛围。

> 山东省人民政府办公厅 2019年6月28日

淄博市人民政府办公室 关于印发淄博市 2019 年冬季清洁取暖实施方案的通知

淄政办字〔2019〕55号

各区县人民政府, 高新区、经济开发区、文昌湖区管委会, 市政府各部门, 各有关单位, 各大企业, 各高等院校: 《淄博市 2019 年冬季清洁取暖实施方案》已经市政府同意,现印发给你们,请认真组织实施。

> 淄博市人民政府办公室 2019年7月26日

淄博市 2019 年冬季清洁取暖实施方案

为扎实推进 2019 年冬季清洁取暖工作,圆满 完成清洁取暖任务目标,根据《山东省冬季清洁取 暖规划》和《淄博市冬季清洁取暖试点城市实施方 案》要求,制定本方案。

一、总体要求

坚持"集中供热优先、官气则气、官电则电、官 生物质则生物质"原则,按照"财政可负担、运行可 持续、居民可承受"的思路,因地制宜进行多元化改造。

二、任务目标

2019 年全市确保完成 14.93 万户清洁取暖改造任务,其中农村地区 14.1 万户改造任务、区县城乡结合部实现集中供暖 0.83 万户。2020 年基本实现农村地区清洁取暖。积极推动用户侧建筑能效提升,2019 年年底前完成农房能效提升 4.23 万户(含2018 年 1.41 万户)、城区建筑能效提升 211 万平方米(含2018 年 70 万平方米)。

三、改造方式

- (一)集中供暖向农村地区延伸。利用热电联 产、工业余热等作为热源,结合集中供暖区域融合 和管网互联互通规划建设,加快推进供暖管网向农 村地区延伸,实现管网区域内清洁取暖。
- (二)气代煤。发挥燃气壁挂炉取暖稳定、可控、 便捷、效果好的优势,继续推行燃气壁挂炉取暖。
- (三)电代煤。原则上对不具备集中供暖和气 代煤实施条件的村居和不宜使用燃气的居民,实施 电代煤改造。
- (四)生物质。在生物质资源较为丰富的区域 开展生物质取暖。
- (五)太阳能+。在具备条件的农村地区开展 太阳能+取暖。
- (六)建筑能效提升。因地制宜对实施清洁取暖的用户采用内墙保温、外墙保温、吊顶、连廊封厦、更换门窗、增设保温门窗帘等方式进行差异化改造。

四、补贴政策

对列入 2019 年冬季清洁取暖改造任务的用户或项目,实施财政补贴。按照《淄博市冬季清洁取暖试点城市实施方案》确定的比例使用中央财政资金,其余资金由市、区县按 3:7 比例分担。

- (一)集中供暖向农村地区延伸
- 1. 利用热电联产、工业余热等供热管网向建成 区外使用散煤取暖的农村地区延伸的,配套费按照 每户取暖面积 60 平方米的标准进行补贴,超出 60 平方米的配套费由用户承担。
- 2. 对未配套管道天然气的用户,实行每户每年400元(8瓶液化石油气、每瓶50元)的补贴政策。
 - (二) 气代煤
 - 1. 分户式气代煤继续执行 2017 年补贴政策。
 - 2. 集中式气代煤继续执行 2018 年补贴政策。
 - (三) 电代煤
 - 1. 分户式电代煤。继续执行 2017 年补贴政策。
- 2. 集中式电代煤。配套费按照每户取暖面积 60 平方米的标准进行补贴,超出60 平方米的配套

费由用户承担。

3. 对未配套管道天然气的用户,实行每户每年400元(8瓶液化石油气、每瓶50元)的补贴政策。

(四) 生物质取暖

- 1. 生物质炉具补贴。按照炉具购置价格的 85% (每户最高补贴 3500 元)的标准进行补贴,超出补贴标准的费用由用户承担。具体办法由区县制定。
- 2. 生物质燃料补贴。对取暖用生物质燃料每吨补贴 600 元,每户每年最高补贴 2 吨。

(五)太阳能+取暖

1. 分户式太阳能+取暖。采暖设备及安装(含表后线路改造)资金,按照85%(每户最高补贴5700元)的标准进行补贴,超出补贴标准的费用由用户承担。

取暖期用电按照 0.2 元/千瓦时的标准补贴用户,每户每年最高补贴电量 6000 千瓦时(每户每年最高补贴 1200 元),用电量不足 6000 千瓦时的据实补贴。

- 2. 集中式太阳能 + 取暖。配套费按照每户取暖面积 60 平方米的标准进行补贴,超出 60 平方米的配套费由用户承担。
- 3. 对未配套管道天然气的用户,实行每户每年 400元(8瓶液化石油气、每瓶50元)的补贴政策。

(六)建筑能效提升

根据国家发改委、财政部、生态环境部、住房城乡建设部关于建筑能效提升30%要求,农房能效提升项目按照不超过8500元/户的标准进行补贴,超出部分由用户承担。其中中央财政补贴3400元/户,其余资金由市、区县按照3:7比例分担。各级承担比例和金额在3年试点结束后统一清算。具体办法由区县制定。由镇(街道)或村(居)统一组织,统筹使用资金。优先对电代煤用户实施差异化改造。

城区建筑能效提升项目按照100元/平方米(建筑面积)的标准进行补贴,超出部分由用户承担。 其中中央财政补贴40元/平方米,其余资金由市、 区县按照3:7比例分担。各级承担比例和金额在3 年试点结束后统一清算。

(七)延续运行费用补贴

为巩固改造成果、确保居民可承受、运行可持续,防止散煤复燃,在3年运行费用补贴到期后继续按照原补贴政策延续3年。

(八)落实峰谷电价政策

国网淄博供电公司在继续执行分户式电代煤居 民用电峰谷电价政策的基础上,积极采取措施,落 实集中式电代煤居民用电峰谷电价政策。

五、实施步骤

- (一)方案制定。各区县按照总量不变的要求, 合理确定清洁取暖改造方式,制定完善区县冬季清 洁取暖实施方案。8月10日前报市清洁取暖建设推 进办公室核准后实施。
- (二)建设实施。各区县要根据实施方案确定 的建设推进计划做好施工组织安排,督促供热、供 气、供电等企业加大工程推进力度,确保按照时间 节点完成改造任务。建筑能效提升项目的实施按照 《淄博市冬季清洁取暖能效提升项目实施管理办法》 执行。
- (三)设备选购和服务保障。为保障清洁取 暖用户的长期服务和安全管理,一是对2017年、 2018年招标入围的采暖设备,由各区县择优选择; 二是对出现的新技术、新设备等,按照要求进行招 标; 三是实施项目一体化招标, 引进一体化服务商, 做好项目运营、服务保障和安全管理等工作。各区 县根据各自实际,选择相应的方式,做好采暖设备 的选购和服务保障工作。
- (四)时间安排。各区县尽早开工建设,10月 15日前完成工程建设任务,10月底前完成采暖设 备的调试工作, 达到交付使用条件。

六、建立完善长效机制

冬季清洁取暖是一项长期推进的重要任务。市 清洁取暖建设推进办公室牵头推进清洁取暖各项工 作, 指导督促各区县建立完善清洁取暖的长效机制。 市直各部门、有关单位根据职责分工各司其职、各 负其责,形成工作合力。

各区县政府(含高新区、经济开发区、文昌湖 省级旅游度假区管委会,下同)作为清洁取暖的责 任主体,要加强对清洁取暖的组织领导,落实主体 责任,对项目推进、施工组织、质量安全等工作全 面负责。具体抓好以下几方面:

- (一)加大政策宣传力度,促进清洁取暖工作 深入开展。要进一步加大政策宣传力度, 充分利用 各类新闻媒体,发挥共青团、妇联等群团组织的作 用,加强正面引导,宣传清洁取暖的优点,普及清 洁取暖知识,展示清洁取暖效果,深化广大群众对 清洁取暖的认知, 让清洁取暖的各项政策特别是补 贴政策、安全用气用电的常识深入人心、家喻户晓, 为工作推进营造良好的舆论氛围。
- (二)加快基础设施建设、保障能源供应。各 区县要组织供热、燃气、供电企业按照年度任务目 标,制定改造计划,加快集中供热管网向农村地区 延伸,扩大燃气管网覆盖范围,加快配套电网改造。

坚持以气定改、以电定改,根据气源、电源情况科 学推进气代煤、电代煤改造。气代煤要本着"先合 同、后改造"的要求,依据签订气源合同情况确定 改造计划。

- (三)推行多元化运营管理模式,保障长期服 务。各区县要按照"专业化服务"的原则,支持燃 气企业、供热企业、一体化服务商、合同能源管理 运营商等参与农村清洁取暖项目的建设、运营,保 障长期服务。各区县要与服务商签订服务合同或协 议,明确双方的责任和义务,并对供暖模式、补贴 方式、服务质量、价格标准和准入退出机制等进行 约定。
- (四)加强补贴资金管理,保障资金高效利用。 各区县要加强对清洁取暖补贴资金的管理,加快预 算执行,提高资金拨付效率,及时将工程建设、设 备购置、运行费用等各项补贴资金拨付到位,严禁 截留、挤占、挪用和虚假冒领补贴资金。
- (五)强化安全管理、保障运行安全。各区县 要压实工作责任, 切实把冬季清洁取暖安全工作抓 紧抓实。一是发挥村(居)燃气安全员日常巡查作 用,协助解决村(居)安全用气问题。二是建立应 急救援保障体系。组织供热、供气、供电等企业与 消防部门建立联勤联动机制,制定完善应急预案, 定期开展应急救援演练,提高应急处置能力。三是 严格责任追究。对安全监管工作不力、安全隐患整 改不到位的,采取通报、约谈等方式督促整改。
- (六)完善工作推进机制,确保取得实效。各 区县要定期入户调查,及时了解群众需求和取暖实 效,有针对性地优化和完善供暖方案,提升群众满 意度和认可度。进一步完善工作推进机制,确保改 造工作取得成效。

附件:

- 1. 淄博市 2019 年冬季清洁取暖任务表(略)
- 2. 淄博市 2018 年、2019 年农房能效提升任务 表(略)
- 3. 淄博市 2018 年、2019 年城区建筑能效提升 任务表(略)



泉州市人民政府

关于印发泉州市打赢蓝天保卫战三年行动计划贯彻实施方案的通知

泉政文[2019]45号

各县(市、区)人民政府,泉州开发区、泉州台商投资区管委会,市直有关单位: 现将《泉州市打赢蓝天保卫战三年行动计划贯彻实施方案》印发给你们,请认真贯彻执行。 泉州市人民政府

泉州市人民政府2019年6月25日

泉州市打赢蓝天保卫战三年行动计划贯彻实施方案

根据《福建省打赢蓝天保卫战三年行动计划实施方案》(闽政〔2018〕25号)和《泉州市关于全面加强生态环境保护坚决打好污染防治攻坚战的实施意见》(泉委发〔2019〕6号),制定本方案。

一、目标指标

到 2020 年,全市环境空气质量持续改善,保持优良水平,6 项污染物指标优于国家标准;泉州市区和其他县(市、区)空气质量优良天数比例要分别达到省、市考核要求;全市 PM₁₀、PM_{2.5} 浓度进一步下降,臭氧浓度升高趋势得到有效遏制,其中,泉州市区 PM_{2.5} 浓度力争降到 25 微克/立方米,其他县(市、区) PM_{2.5} 浓度达到市考核要求。"十三五"期间,全市二氧化硫、氮氧化物重点工程减排量分别完成 1.236 万吨、1.322 万吨。

二、调整优化产业结构,推进产业绿色发展

- (一)优化产业布局。 完成生态保护红线、环境质量底线、资源利用上线、生态环境准入清单编制工作。推行区域、规划环境影响评价。严格控制高 VOCs 排放的项目建设,相关新建项目必须进入工业园区。新建炼化项目应符合我省石化产业总体布局的要求。加大城市建成区重污染企业搬迁改造或关停退出。推进现有大气重点防控企业优化重组、升级改造。控制新增化工园区。
- (二)严控"两高"行业产能。严控新增钢铁、铸造、水泥等产能,严格执行钢铁、水泥等行业产能置换实施办法。加大落后产能淘汰和过剩产能压减。以钢铁、火电、水泥等行业和装备为重点,促使一批能耗、环保、安全和技术不达标和生产不合格产品或淘汰类产能依法依规关停退出。严防"地条钢"死灰复燃。
- (三)强化"散乱污"企业综合整治。制定"散乱污"企业及集群整治标准。开展拉网式排查,实

施分类处置,建立管理台账,力争 2019 年底前基本完成。建立"散乱污"企业动态管理机制,坚决杜绝"散乱污"企业异地转移、死灰复燃。

(四)大力培育绿色环保产业。 壮大绿色产业 规模。推动绿色环保产业集聚发展。积极推行节能 环保整体解决方案。

三、加快调整能源结构,构建清洁高效能源体 系

- (五)优化能源结构。清洁高效发展煤电,优先发展热电联产。加大可再生能源消纳力度。2020年,能源消费总量控制在3886万吨标煤以内。2020年煤炭占一次能源消费比重下降到35%以内,清洁能源利用率提高到20%以上。加快天然气基础设施建设,全市天然气消费量力争保持15%以上的年均增速。加快电能替代,至2020年,促进电能占终端能源消费比重达到40%。除工艺需求外,淘汰分散型工业燃煤燃油炉窑。电制茶全市覆盖率达90%以上;全市沿海港口港作船舶、公务船舶使用岸电覆盖率达90%,50%以上已建的集装箱专业化泊位具备向船舶供应岸电的能力;建成2.3万个充电桩。
- (六)深化燃煤锅炉综合整治。淘汰关停不达标的30万千瓦以下燃煤机组。全市原则上不再新建每小时10蒸吨及以下的各类燃煤锅炉。燃用生物质成型燃料必须使用生物质成型燃料专用锅炉或配置高效除尘设施的专用锅炉。县级及以上城市建成区基本淘汰每小时10蒸吨及以下燃煤锅炉及各类燃用"高污染燃料"的设施,原则上不再新建每小时35蒸吨以下的燃煤锅炉。环境空气质量未达标城市应进一步加大淘汰力度。推进每小时65蒸吨及以上燃煤锅炉节能和超低排放改造,鼓励燃气锅炉实施低氮改造、城市建成区生物质锅炉实施超低排放改造。优先发展热电联产、冷热电联供。加大技术改造力度,加快供热管网建设,提高供热能力。集中供热管网

覆盖范围禁止新建、扩建分散供热锅炉,已建成的 要在集中供热项目建成后6个月内关停。加快推进 晋南东海垵集中供热项目建设,确保2019年实现集 中供热, 其他沿海城市要研究加快实施集中供热。 泉州市区和其他县(市、区)应于2019年12月底 前完成"高污染燃料禁燃区"的调整或重新划定并 组织实施。加强禁燃区的监督管理。各具(市、区) 要组织对高污染燃料禁燃区内以及高速公路、国道、 铁路两侧可视范围开展"消灭黑烟囱"清查整治。

(七)提高能源利用效率。实施能源消耗总量和 强度双控行动。推广高效节能低碳技术和产品。提 高建筑节能标准,加大绿色建筑推广力度。健全能 源计量体系。鼓励农村住房节能改造。

四、积极调整运输结构,发展绿色交通体系

- (八)打好柴油货车污染治理攻坚战。各县(市、 区)要制定实施打好柴油货车污染治理攻坚战行动 计划实施方案,实施清洁柴油车、清洁柴油机、清 洁运输和清洁油品行动。
- (九)优化调整货物运输方式。提升铁路货运比 例,推进重点工业企业和工业园区货物由公路运输 转向铁路运输。提高沿海港口集装箱铁路集疏港比 例。制定实施运输结构调整行动计划。发展多式联运。 建设城市绿色物流体系。到2020年,力争在主干线 高速公路或干线铁路建成1个货运枢纽及配套的物 流集中区。
- (十)加快车船结构升级。加快推进城市建成区 使用新能源或清洁能源汽车,鼓励使用纯电动汽车。 加快充电设施建设。2020年底前,全市城市公交更 新为新能源或清洁能源汽车,适宜应用新能源汽车 的道路客运班线实现电动化率达50%,城市出租车 新增或更新优先选择新能源车辆,城市出租车电动 化率高于全国平均水平,分时租赁车辆实现电动化, 环卫和物流等城市专用车实现电动化率达50%。全 面实施新建造船舶发动机第一阶段排放标准。推广 使用新能源或清洁能源船舶。各县(市、区)要制 定目标及计划,推进国三及以下排放标准营运柴油 货车提前淘汰更新和老旧燃气车辆淘汰。推广使用 达国六排放标准的燃气车辆。
- (十一)加快油品质量升级。全市全面供应符合 国六标准的车用汽柴油。根据要求落实销售前在车 用汽柴油中加入符合环保要求的燃油清净增效剂。
- (十二)强化移动源污染防治。严厉打击新生产 销售机动车环保不达标违法行为。构建全市机动车 超标排放信息数据库。推进老旧柴油车深度治理。 加强上路行驶机动车的监管。建设安装符合国家标

准并检定合格的机动车遥感监测设备。开展非道路 移动机械摸底调查,划定非道路移动机械低排放控 制区,禁止使用高排放非道路移动机械,2020年底 前完成摸底调查和划定等工作。推进排放不达标作 业机械清洁化改造和淘汰。我市沿海重点港口按照 省上有关工作要求时限纳入船舶排放控制区管理; 强化船舶用燃油执法检查。加快港口码头岸电设施 建设、提高岸电设施使用率。2020年底前、沿海主 要港口 50% 以上专业化泊位(危险货物泊位除外) 具备向船舶供应岸电的能力。加强内河船舶管理, 控 制颗粒物和氮氧化物排放。运输有机液体等相关 物品的车船应设置油气回收接口。沿海港口新增、 更换拖船优先使用清洁能源。泉州晋江国际机场要 加快岸电设施建设,提高岸电设施使用率,推广地 面电源替代飞机辅助动力装置,鼓励飞机停靠期主 要使用地面电源。

五、优化调整用地结构,推进面源污染治理

- (十三)加强绿色规划引领。 各县(市、区) 要加强对城市通风廊道的研究, 在城市规划、设计、 审批时,避免在城市通风廊道密集建设高层建筑群, 增强城市大气污染物扩散能力。
- (十四)推进国土绿化和森林质量提升。 各县 (市、区)要充分挖掘造林潜力,科学拓展造林绿 化空间,确保各类迹地得到及时更新。做好面上造林, 重点抓好"三带一区"建设。在城市功能疏解、更 新和调整中,将腾退空间优先用干留白增绿,扩大 城市建成区绿地面积,提高绿化覆盖率。
- (十五)加强扬尘综合治理。严格施工扬尘监管。 发展装配式建筑。建立房建、市政道路和拆迁施工 工地管理清单,落实施工扬尘防治责任。扬尘污染 防治费用列入工程造价, 扬尘污染防治纳入工程监 理内容和安全生产标准化文明施工管理。要加大城 市建成区建筑工地扬尘治理,推进建筑工地安装扬 尘在线监测和视频监控设备,与当地有关主管部门 联网,将是否安装扬尘在线监测和视频监控系统列 入省、市级标准化优良项目"一票否决"项。将扬 尘管理工作不到位的不良信息纳入建筑市场信用管 理体系。加强道路清扫保洁,提高道路机械化清扫率, 2020年底前, 市区达到 70%以上, 县城达到 60%以 上。强化渣土运输车辆管理。加强码头扬尘污染治理, 建立港口管理和生态环境部门联合巡检、行政处罚 和信息通报制度。
- (十六)推进露天矿山综合整治。新建露天矿 山必须符合省、市矿产资源总体规划要求。2019年 底前完成对露天开采矿山摸底排查, 开展分类综合

整治。加强矸石山治理。

(十七)加强秸秆综合利用和氨氮排放控制。 2020年底前,全市农作物秸秆综合利用率达到90%以上。各县(市、区)要加强秸秆焚烧的日常执法检查,及时制止并依法查处焚烧秸秆行为。强化露天焚烧监管。减少化肥农药使用量,至2020年,全市化肥、农药使用量均比2016年减少10%。强化畜禽粪污资源化利用,提高畜禽粪污综合利用率,减少氨挥发排放。

六、持续深化工业污染治理 ,大力削减污染物 排放量

(十八)持续推进工业污染源全面达标排放。 建立覆盖所有固定污染源的企业排放许可制度,2020 年底前,完成排污许可管理名录规定的行业许可证 核发。全面排查超标排放等环境违法行为;力争到 2019年底,各类工业污染源持续保持达标排放。

(十九)推进重点行业污染治理升级改造。全面实施重点行业地方 VOCs 排放标准。新建钢铁、火电、水泥、有色项目执行大气污染物特别排放限值;提高新建垃圾焚烧发电项目和敏感区域垃圾焚烧发电企业大气污染物排放标准。推动实施钢铁等行业超低排放改造。新建建筑陶瓷业项目原则上应使用天然气。晋江、南安要持续推进建陶行业污染整治,2019年6月底前完成喷雾干燥塔在线监控设施安装,10月底前完成窑炉污染治理设施升级改造。

(二十)强化挥发性有机物(VOCs)整治。坚持源头削减、过程控制,加快生产工艺和设备改造,加大绿色、低挥发性涂料产品使用。各县(市、区)制定年度 VOCs 综合整治实施方案,深入推进重点行业 VOCs 治理工程;石化行业全面实施泄漏检测修复(LDAR),制药、农药、涂料、油墨等行业逐步推广LDAR。实施 VOCs 区域排放倍量削减替代。严格限制建设涉高 VOCs 含量溶剂的项目。开展典型行业 VOCs 最佳可行技术案例筛选。开展 VOCs 整治专项执法行动。扶持 VOCs 治理效果好的企业,惩戒效果差的企业。2020年,全市 VOCs 排放总量力争比 2015 年下降 10%以上。

(二十一)推进园区循环化改造、规范发展和提质增效。 大力推进企业清洁生产。对工业园区等实施限期达标改造,减少工业集聚区污染。完善并推广园区集中供热。有条件的涉 VOCs 排放工业集聚区建设集中喷涂工程中心。

(二十二)强化工业企业无组织排放管控。开展重点行业及燃煤锅炉无组织排放排查,建立管理台账,对无组织排放实施深度治理,2020年底前基本完成。

(二十三)开展工业炉窑治理专项行动。各县 (市、区)要制定实施工业炉窑综合整治实施方案, 建立各类工业炉窑管理清单,分类开展综合治理。 将工业炉窑治理作为环保督察的重点,凡未列入清 单的工业炉窑均纳入污染天气应对错峰生产管理重 点对象。

七、强化区域联防联控,有效应对污染天气

(二十四)建立完善区域大气污染防治协作机制。结合厦漳泉同城化、闽西南协同发展区建设,进一步推进以泉港、泉惠石化园区、中心市区与周边县(市、区)为重点的大气污染防治联防联控。建立完善协作机制,明确控制目标和重点防控措施,开展常态联合防治和污染天气区域应急联动。

(二十五)加强轻污染天气应对,夯实应急减排措施。健全环保、气象联合会商研判机制,提高空气质量预报能力。开展空气质量中长期趋势预测工作。进一步健全轻微污染天气应对机制,完善轻微污染天气应对预案,细化减排措施,落实到企业各工艺环节,实施"一厂一策"管理。强化臭氧污染天气应对,针对臭氧形成特点,加强对涉 VOCs、NOx 排放企业的管控,整治"散乱污",落实错峰生产。每年组织实施大气污染防控百日攻坚等专项行动,保障环境空气质量。

八、健全法律法规体系,完善环境经济政策

(二十六)推动制定地方性法规规章。加快起草《泉州市露天烧烤管理办法》和《泉州市餐饮业污染防治管理办法》,推动健全我市地方大气污染防治法规规章。

(二十七)拓宽投融资渠道,加大经济政策支持力度。各级财政支出要向蓝天保卫战倾斜,环境空气质量未达标县(市、区)要加大大气污染防治资金投入。各有关部门要积极探索市场化筹资模式,解决大气污染防治资金缺口。落实相关环境经济税收政策,支持环境空气质量改善。

九、加强基础能力建设,严格环境执法督察

(二十八)完善环境监测监控网络,强化科技基础支撑。加强县(市、区)空气质量自动监测网络建设。推进大气光化学监测网络建设。抓紧配备 VOCs、颗粒物车载巡测装置或通过购买服务等方式开展相关工作。按省上要求在重点工业园区及港口等区域设置空气质量监测站点。将排气口高度超过 45 米的高架源以及 VOCs 排放重点源纳入重点排污单位名录,督促企业安装烟气排放自动监控设施,2020 年底前

基本完成。2019年建成泉州市机动车环保监管信息 系统,加强机动车排放监管。按省上部署推进工程 机械安装实时定位和排放监控装置,建设排放监控 平台。配合开展环境空气质量自动监测站点运维上 收。加强对环境监测和运维机构监管。配合开展环 境监测数据质量监督检查专项行动。加强大气污染 防治科学研究。2020年底前完成一轮大气排放源清 单编制。运用省生态云平台开展大数据分析等。

(二十九)加大环境执法,配合开展环保督察。 持续组织开

展"清水蓝天"等环保专项执法行动。加强县 级环境执法能力建设。推广"双随机、一公开"等 监管。推进大气污染热点网格监管试点和推广工作。 加强生态环境执法与刑事司法衔接。开展在用车超 标排放联合执法。依法查处机动车排放检验机构环 保违法行为。严格机动船环保监管。强化油品制售 企业质量监督管理。加强成品油经营企业监管。加 大非法销售油等违法违规行为监管。强化建筑施工 等各类施工扬尘污染执法。加强餐饮、烧烤行业油 烟排放监管。强化露天焚烧垃圾、秸秆查处。对汽 车维修企业实施联合执法。积极配合国家、省上环 保督察等有关工作。

十、明确落实各方责任,构建全民共治格局

(三十)加强组织领导,严格考核问责。各县 (市、区)要制定本辖区实施方案,细化分解目标任务, 确保各项工作有力完成。市有关部门要细化分工任 务,制定配套政策,落实"一岗双责"。各级各有 关部门的落实情况, 纳入市政府督查和相关专项督

(三十一)加强信息公开,构建共治格局。各 县(市、区)要加强大气环境信息公开。重点排污 单位要按要求公布有关环境治理信息。社会各方力 量要积极参与大气污染防治。

关于印发《2019 年度辽宁省工程建设地方标准编制/修订计划》 的通知

辽住建科〔2019〕11号

各市住建局,有关单位:

根据我省工程建设实际需要,我们制定了《2019年度辽宁省工程建设地方标准编制/修订计划》。现印发 给你们,请各主编单位认真组织落实,抓紧开展工作,按时完成编制、修订任务。

附: 2019 年度辽宁省工程建设地方标准编制 / 修订计划

辽宁省住房和城乡建设厅 2019年6月12日

2019 年度辽宁省工程建设地方标准编制/修订计划(节选)

序号	项目名称	制定/修订	使用范围和主要技术内容	主管部门	起草单位	编制起止时间
1	辽宁省绿色建筑施 工图审查技术规程	制定	范围:适用于辽宁省新建民用建筑及政府财政性投资的改建、扩建的民用建筑的施工图审查,分为公共建筑和居住建筑两版,包括建筑、结构、给排水、暖通、电气等专业的绿色建筑施工图审查技术规程。内容:总则、基本规定、绿色公共建筑施工图审查技术规程(建筑、结构、给排水、暖通、电气)、绿色居住建筑施工图审查技术规程(建筑、结构、给排水、暖通、电气)。	辽宁省住房和 城乡建设厅	大连理工大学	2019.3-2019.6
2	辽宁省绿色建筑施 工图设计技术规程	制定	范围:适用于辽宁省新建民用建筑及政府财政性投资的改建、扩建的民用建筑的施工图设计,分为公共建筑和居住建筑两版,包括建筑、结构、给排水、暖通、电气等专业的绿色建筑施工图设计技术规程。内容:总则、基本规定、绿色公共建筑施工图设计技术规程(建筑、结构、给排水、暖通、电气)、绿色居住建筑施工图设计技术规程(建筑、结构、给排水、暖通、电气)。	辽宁省住房和 城乡建设厅	大连理工大学	2019.3-2019.6
3	辽宁省中小学校建 筑绿色设计规范	制定	范围:本规划适用于新建、改建和扩建的辽宁省中小学校建筑的绿色设计。 内容:包括总则、术语、基本规定、绿色设计策划、场地与室外环境(场地要求、场地资源利用与生态环境保护、场地规划与室外环境等)、建筑设计与室内环境(日照、采光、自然通风、围护结构、声环境、空气质量等)、建筑材料、给水排水(非传统水源利用、供水系统、节水措施等)、暖通空调(暖通空调冷热源、水系统、通风系统等)、建筑电气、环境保护教育等方面。		省绿色建筑协会	2019.3-2020.5

8	第一类工业余热吸 收式热泵系统工程 检测及评定规程	制定	范围:适用于第一类工业余热吸收式热泵系统的新建、改建、扩建工程的节能效益、环境效益、经济效益检测及评定规程。 内容:第一类吸收式热泵系统的检测、第一类吸收式热泵系统测评标准等。	辽宁省住房和	沈阳朗晨环境 工程有限公司	2019.4-2020.9
9	耐热聚乙烯(PE- RT)直埋保温供热 管道技术规程	制定	范围:本标准适用于城镇供热管网工作压力不大于 1.5MPa,热水温度不超过 80℃ 的供热管道的设计、施工及验收。内容:本标准规定了耐热聚乙烯直埋保温供热管道的术语定义、材料要求、设计、施工、压力试验及竣工验收等内容。	辽宁省住房和 城乡建设厅	辽宁省建筑标 准设计研究院 有限责任公司 铁岭市建筑设 计院	2019.4-2020.8
19	地源热泵系统工程 技术规程	修订	范围:本规程适用于辽宁省内以岩土体、地下水为低温热源,以水或添加防冻剂的水溶液为传热介质,采用蒸汽压缩热泵技术进行供热、空调或加热生活热水的系统工程的勘察、设计、施工及验收。内容:总则,术语,工程勘察,地埋管换热系统,地下水换热系统,建筑物内系统,及整体运转、调试与验收。	辽宁省住房和 城乡建设厅	沈阳建筑大学	2019.5-2020.4
20	太阳能光伏与建筑 一体化技术规程	修订	范围:适用于新建、改建和扩建的建筑用光伏系统工程,以及在既有建筑上安装或改造的光伏系统工程的设计、安装、验收和运行维护。 内容:有光伏系统设备和部件、电气技术及系统设计、建筑设计与结构设计、安装施工、工程验收等。	辽宁省住房和 城乡建设厅	省建筑节能环 保协会	2019.3-2020.9
22	污水源热泵系统工 程技术规程	修订	范围:是对原标准 DB21/T 1795-2017 的适用范围加以扩充,适用于以城市原生污水、污水处理厂出水为低温热源,以及洗浴沐浴行业的污水余热和洗浴热水热源,采用蒸气压缩热泵等技术进行供热、供冷或热水供应系统工程的设计、施工及验收。内容:对城市原生污水、污水处理厂出水水源采用蒸气压缩热泵技术,对洗浴沐浴行业的污水水源,回收洗浴污水中的余热,实现废热能的回收、转移及再利用,并将热能用来生产新的洗浴热水。全部热回收过程只消耗少量电能,系统的节能率达 80% 以上。	辽宁省住房和 城乡建设厅	大连理工大学	2019.5-2020.4

关于发布《绿色建筑运营后评估标准》的公告

第 464 号

根据中国工程建设标准化协会《关于印发〈2017 年第二批工程建设协会标准制订、修订计划〉的通知》(建标协字〔2017〕031号)的要求,由住房和城乡建设部科技与产业化发展中心、上海市建筑科学研究院等单位编制的《绿色建筑运营后评估标准》,经本协会绿色建筑与生态城区专业委员会组织审查,现批准发布,编号为 T/CECS 608-2019,自 2020 年 1 月 1 日起施行。

2019年7月10日

关于发布《医院建筑绿色改造技术规程》的公告

第 465 号

根据中国工程建设标准化协会《关于印发〈 2016 年第一批工程建设协会标准制订、修订计划〉的通知》(建标协字〔2016〕038 号)的要求,由中国建筑技术集团有限公司、中国建筑科学研究院有限公司等单位编制的《医院建筑绿色改造技术规程》,经本协会绿色建筑与生态城区专业委员会组织审查,现批准发布,编号为 T/CECS 609-2019,自 2020 年 1 月 1 日起施行。

2019年7月12日

关于发布《分体式地埋管地源热泵系统工程技术标准》的公告

2019年第34号

《分体式地埋管地源热泵系统工程技术标准》(编号为 DB13(J)/T8316–2019)已经本机关审查并批准为河北省工程建设标准,现予发布,自 2019 年 10 月 1 日起实施。

河北省住房和城乡建设厅 2019年6月28日

武汉生态城碧桂园会议中心酒店的空调设计

武汉花山新城投资有限公司 刘览 周铭铭 吕欣欣

1 工程概况

武汉花山生态城碧桂园 HILTON 会议中心酒 店(现名为武汉光谷希尔顿酒店)位于风景秀丽的 武汉严西湖之滨, 是希尔顿品牌在内地的第一个大 型五星级度假酒店项目,她融合了顶级商务会议中 心和豪华旅游度假村的功能,成为武汉市乃至华 中地区高端政务商务的首选场所。项目占地面积 41360m², 酒店建筑面积 115000m², 主要功能为各 式餐厅、宴会厅、休闲娱乐、室内游泳池、客房、 会议中心等。拥有608间客房,大小会议室近20间, 会议中心可同时容纳 4000 人进行学术及宴会活动。

2 工程设计特点

为响应国家"资源节约, 生态环保"政策, 本 工程能源系统基于酒店会议中心的负荷特性、武汉 花山地区的《地埋管换热试验测试报告》结论以及 酒店管理公司的要求,并遵循可持续发展理念,本



图 1 Hilton 酒店总体鸟瞰图

工程采用地源热泵与中央空调相结合的复合式能源 方式。

3 设计参数及空调冷热负荷

3.1 室外设计参数

室外设计参数详见表 1。

3.2 室内设计参数

室外设计参数详见表 2。

表1 室外设计参数

季节	空调计算温度 /℃	湿球温度 /℃ 相对湿度 /%	通风计算温度 /℃	主导风向	室外平均风速 /(m/s)	大气压力 /hpa
夏季	35.3	28.4	32.0	SSE	3.6	9997
冬季	-2.4	67%	0.1	NNW	3.7	1024.5

表 2 室内设计参数

房间名称	夏 季		冬	季	人均使用空调面积	照明与设备用电量 [注]	最小新风量	允许噪声
// 四石体	温度	RH%	温度	RH%	$/(m^2/p)$	/(w/m ²)	$/(m^3/h \cdot p)$	/NC
客 房	25	50	20	40	2p/r	13+22	$120\text{m}^3/\text{h}\cdot\text{r}$	30
总统套房	25	50	20	40	2p/r	13+13	$120\text{m}^3/\text{h}\cdot\text{r}$	30
客房走道	28	55	16	30	20	4	20	40
行政大堂	26	55	18	30	5	13+20	21.6	40
酒店大堂	25	50	18	_	6	13+22	21.6	45
酒吧	25	50	20	40	1.5	7+33	25	40
日式餐厅	25	50	20	40	3	11+39	25	40
中餐厅	25	50	20	40	2	11+29	25	40
西餐厅	25	50	20	40	2.5	11+29	25	40
室内游泳馆	28	70	30	70	10	13+12	2.6h-1	40
健身房	25	50	20	40	4	13+47	30	45
酒店办公室	25	55	20	40	4	15 + 20	30	45
会议中心门厅	25	50	18	_	6	13+22	21.6	45
宴会前厅	25	50	20	40	3.5	13+10	25	45
大宴会厅	25	55	20	≥30	1	18 + 38	30	40
宴会厅	25	55	20	≥30	1.5	15+40	30	40
国际会议厅	25	55	20	40	0.8	9+47	30	40

注: 精装修区域的照明与设备用电量按照国家相关规范执行

3.3 空调负荷

空调负荷详见表3。

表3 空调负荷

冷负荷	冷负荷指标	热负荷	热负荷指标	釆暖负荷	采暖负荷指标
/kW	/(W/m²)	/kW	/(W/m²)	/kW	/(W/m²)
11500	137.5	6180	65.3	186	72

4 空调冷热源及设备选择

本项目的冷热源形式详见表 4。

表 4 本项目的冷热源形式

冷源方式	集中式: 土壤源热泵+电制冷
热源方式	集中式:土壤源热泵+燃气(油)蒸汽锅炉
采暖方式	低温辐射热水地板采暖
能源再利用情况	土壤源热泵、电制冷冷凝热回收

冷热源采用土壤源热泵与中央空调相结合的组 合方式, 以冬季热负荷选择土壤源热泵冷水机组, 夏季负荷与土壤源热泵系统供冷量的差值部分选用 普通冷水机组并设置冷却塔,与土壤源热泵系统联 合供冷。冬季除了土壤源热泵外还设置了小部分锅 炉供热作为备用补充热源,这是考虑到土壤蓄热的 损失和五星级酒店在冬季极端天气的使用。本项目 冷冻机房集中设置二处,分别靠近两片地埋管区域 就近设置其中全热回收型土壤源热泵机组,在制冷 同时将冷凝热回收送至厨房及洗衣房,即利用了废 热又保护了生态环境。冷热源主要设备配置详见表5。

5 空调系统形式

主要空调系统详见表 6。

空调加湿方式采用蒸汽加湿。空气过滤形式是 初效为板式过滤: G4 (MERV7), 计重法 40%; 中效为袋式过滤: F7 (MERV13), 比色法 80%。 空气净化装置采用 PHT 光氢离子技术。

6 通风、防排烟及空调自控设计

- (1) 通风系统。通风系统详见表 7。
- (2) 本工程为多层建筑,消防设计遵照《建筑 设计防火规范》DGJ08-88-2006 执行。主要排烟系 统及设计参数详见表 8。
 - (3) 空调自控设计。

本工程空调系统自动控制要求采用直接数字式 DDC 集散式自动控制系统,即中央监示、就地控制。

由控制冷水机组的 DDC 根据空调二次侧负荷 和冷热水流量,对地源热泵机组和离心压缩式冷水 机组实施台数控制。由控制冷水机组的 DDC 根据其

		表 5	冷热源	主要设备配置
	冷冻机房 -1			
	制冷量/制热量	1058 kW / 10	18 kW	

冷冻机房 –1					冷冻机房 −2				
		制冷量/制热量	1058 kW / 1018 kW			制冷量/制热量	1058 kW / 1018 kW		
螺杆式土壤源 热泵机组	3 台	用户测进 / 出水温度	供冷: 6℃/12℃ 供热: 45℃/40℃	螺杆式土壤源 热泵机组	1台	用户测进 / 出水温度	供冷 6℃/12℃ 供热 45℃/40℃		
WAY DOT		地源测进 / 出水温度	供冷: 36.5℃/31.5℃ 供热: 10℃/5℃	WACATE	WALLE	() ()	地源测进 / 出水温度	供冷 36.5℃/31.5℃ 供热 10℃/5℃	
		制冷量	1955 kW (其中 1 台为全年运行)	全热回收型螺杆				制冷量/制热量	1058 kW /826 kW
离心式冷水机组	3 台	蒸发器进出水温度	12°C/6°C		2台	用户测进 / 出水温度	供冷 6℃/12℃ 供热 45℃/40℃		
		冷凝器进出水温度	32°C/37°C	式地源热泵机组	20	地源测进 / 出水温度	供冷 36.5℃/31.5℃ 供热 10℃/5℃		
智能性汽-水		换热量	2*3300 kW			回收热量	1043 kW 供 / 回水温度 45℃/40℃		
换热机组	1套	蒸汽压力	0.4MPa						
		双板换. 水泵2用	1 备、带定压脱气装置。]					

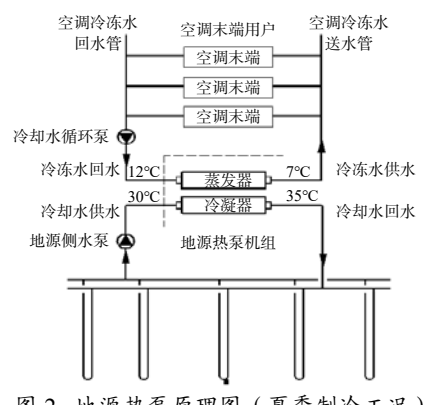


图 2 地源热泵原理图 (夏季制冷工况)

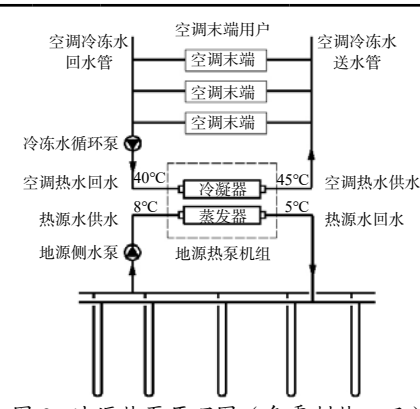


图 3 地源热泵原理图 (冬季制热工况)

累计运行时间和当前运行时间,对地源热泵机组和 离心压缩式冷水机组实施优化运行启停控制,实施 定出口温度控制。由冷水机组自带控制器控制其冷 热水出口温度。地源热泵机组的冷/热水出口温度 设定为6℃/45℃; 离心压缩式冷水机组出口温度为 6℃。相关水泵、阀门、冷却塔连锁控制。

7 心得与体会

作为复合能源系统中的土壤源热泵系统,应在 设计早期进行专项研究、分析及测试, 为接下来的 设计提供设计依据,这些工作内容包括:

- (1) 获得项目建设地区地下土壤的温度分布;
- (2) 获得采用灌注桩进行土壤换热器埋管的散 热特性和取热特性;

- (3) 对比单 U、并联双 U、串联双 U 和并联 3U 等各种不同埋管形式的换热效果,根据建筑的环 境条件进行分析比较,确定选择何种类型的地埋管 换热系统:
- (4) 热泵机组工况多变,控制复杂,因此设计 者还需要全面了解、熟练掌握其各工况性能对设计 不同工作模式讲行匹配:
- (5) 地源热泵系统与中央空调的组合的复合式 能源方式使设计、施工及管理诸方面难度增加;
- (6) 机房比较分散且占地面积较大,需要与建 筑及其他专业作密切配合, 地源热泵地埋管系统施 工必须与建筑、景观及市政等各方面密切配合,地 源热泵系统设计带来的新问题,需要业主、设计、 施工多方合作,共同解决。

表 6 主要空调系统

服务场所	空调方式	新风/排风
大堂	分区域设置全空气定风量低速风道系统(AHU),考虑到冬季冷风渗透加大送风量。气流组织为喷口侧送风下回风。紧邻门厅区域设下送风口,并考虑设置电加热风幕机。	机房设在一层,新风由空调机房引入/排风靠正压解决。
餐厅、酒吧	大餐厅、酒吧采用全空气定风量系统(AHU),小餐厅采用风机盘管(FCU)加新风(PAU)的空调方式,上送上回。	新风由各自机房就近引人 / 排风本层解决。采用 CO ₂ 浓度 传感器,根据人员密度调节新回风比例
室内游泳池	全空气定风量空调系统(AHU),送风方式夏季为上送冬季为下送,下侧回风。	机房设在一层新风口由管弄引人/设置过渡季节排风
大宴会厅	全空气定风量空调系统(AHU),空调器设在三夹层内,分3个系统。送风管道配合建筑沿离地4米处设喷口送风,根据冬夏不同送风温度,喷口射流角度可进行调节。回风口设在喷口同侧。	新风由三夹层内引入/排风变频排至屋面。 采用 CO ₂ 浓度传感器,根据人员密度调节新回风比例
国际会议厅	全空气定风量空调系统(AHU),空调器设在三夹层内,分 2 个系统。喷口侧送风同侧回风。根据冬夏不同送风温度,喷口射流角度可进行调节。	新风由三夹层内引入 / 排风变频排至屋面。采用 CO ₂ 浓度 传感器,根据人员密度调节新回风比例
厨房	厨房补风作适当降温 / 预热处理(PAU): 夏季处理至 27℃,冬季处理至 15℃;新风、排风均变频驱动	新风由空调机房就近引入/排风经由设置在塔楼上空的机房 的除油烟装置的处理,达到环保要求后排至大气
客房	风机盘管(FCU)+新风(PAU)的空气 - 水系统方式,风机盘管为卧式暗装侧送风,新风集中则处理经由管弄井风道送入空调房间。	新风在地下一层的机房设备层集中处理,低位送人各新风管井;排风机设在六层走道上空机房,排风机将各排风管井集中至排风机房后排至室外

表 7 通风系统

			,			
中国女体	排风		送风		友 公	
房间名称	换气次数 (h-1)	方式	换气次数 (h ⁻¹)	方式	备注	
公共卫生间	15	机械		由门百叶自然渗透		
厨房(工作)	40~50	机械	30~45	机械[注1]	按灶具面积复核,排风配静电油雾净化装置	
厨房(值班)	12	机械	10	机械/自然		
地下停车库	6	机械	5	机械		
地源热泵机房	6	机械	6	机械		
电梯机房	10~15	机械	10~15	机械[注1]	按热平衡计算,温度≤40℃	
地下发电机房	由发电机排风量定	发电机自带	排风与燃烧空气量之和	机械	发热量计算校核	
锅炉房	热平衡计算并≥ 12 次 / 时	机械[注3]	燃烧空气量+排风量	机械[注3]	事故通风≥ 12次/时	
洗衣房	30	机械	25	机械	按热平衡计算[注1][注3]	
生活水泵房	4	机械	4	机械		
地下变压器室	风量由热平衡计算确定	机械	风量由热平衡计算确定	机械		
地下配电室	4	机械	4	机械		
地下污水处理用房	12	机械	10	机械	排风配活性碳除臭装置	
日用油箱间	6	机械	5	机械		
垃圾房	9	机械	邻近区域补入	空调降温≤15℃	排风配纳米光子除臭装置	

表 8 主要排烟系统及设计参数

系统	方式	排风量	备注
内走道、后勤用房、娱乐服务	机械排烟	$120\text{m}^3/\text{h}\cdot\text{m}^2$	负担 2 个以上防烟分区,7200 m³/h 以上;设置补风系统
宴会厅、宴会厨房	机械排烟	$120\text{m}^3/\text{h}\cdot\text{m}^2$	负担2个以上防烟分区,设置补风系统
国际会议厅	机械排烟	$60\text{m}^3/\text{h}\cdot\text{m}^2$	负担1个防烟分区
总仓库、洗衣房、主厨房	机械排烟	$120\text{m}^3/\text{h}\cdot\text{m}^2$	负担2个以上防烟分区,设置补风系统
汽车库	机械排烟	6次/时	与平时排风系统兼用

中国博览会会展综合体项目(北块)

华东建筑设计研究院 魏炜 贾昭凯 杨辰蕾 韩佳宝 张琳 王全

1 工程概况

中国博览会会展综合体项目(北块)(现用名国家会展中心(上海),以下简称"国家会展中心")位于上海市西部,北至崧泽高架路,南至盈港东路,西至诸光路,东至涞港路,总用地面积85.6公顷,总建筑面积约为147万 m²,其中地下建筑面积约为20万 m²,展览建筑面积约为80万 m²;另有约10万 m²室外展场。最大的展厅建筑面积约为2.88万 m²。建筑总高度约为43m。

国家会展中心是集展览、办公、酒店、商业等 配套设施综合为一体的大型综合体,建筑总体布局 突破了以往大型展馆呈单元行列式布局的模式特征, 突出了展览与非展览功能的有机整合,通过会展配 套功能的合理布局,创造出具有高效会展运营效率 的新型会展模式。

2 工程设计特点及创新点

2.1 超高大展厅空调送风技术(创新点)

国家会展中心设有 3 个超高大单层展厅,长约 270m,宽约 108m,平均高度约为 33.5m。展览时可利用展板分隔展位。

目前国内外没有如此高大的展厅工程案例,现有高大空间空调送风技术是否适用无法直接判断。依据计算流体动力学 CFD 模拟分析结果,确定了单层展厅采用上送风、下回风的气流组织方式。气流在展位隔断上方直接送入展位,避免了隔断展板对送风气流的遮挡,解决了展位隔断高低不一、展位隔断形状各异、送风不均匀等常见的展厅空调问题。



图 1 中国博览会会展中心全景

单层展厅采用自动调节送风角度的空气布送器(自动调节导流叶片角度旋流风口),解决了超高大空间冬季空调热风无法送至工作区的重大难题,同时改善了夏季空调冷风口下方吹风感,为暖通创新的成功案例。

2.2 超高大展厅排烟控烟技术(创新点)

国家会展中心的展厅为超大空间,难以参照现有国家规范和上海市的消防规程划分防烟分区。建设单位希望展厅今后可最大程度的灵活租用,尽量不设置实体隔墙和防火卷帘。展厅排烟系统结合消防性能化设计,创新提出了脉冲风机系统控烟技术。利用防火隔离带形成虚拟的"防火分区",在防火隔离带的两侧分别设置1组脉冲风机,当展厅某个"防火分区"着火后,低速启动脉冲风机将扩散至非着火区域的烟气抽回至火灾区域,达到一定的挡烟作用。每侧设置5台脉冲风机,一个防火隔离带共设置10台脉冲风机。通过CFD模拟分析、火灾相似性实景试验和展厅冷烟效能验证等过程,验证了脉冲风机系统具有消防性能化设计所要求的挡烟能力,基本满足防火隔离带对挡烟的要求。

2.3 超大展厅压缩空气系统技术措施

从满足展厅功能需求出发,同时兼顾建设单位对成本造价的严格控制,制定出合理、有效、灵活的压缩空气供气方案。展厅分别配置了 2×10m³/min、1×10+1×5m³/min、2×5m³/min 和 2×5m³/min 共 8 台风冷微油螺杆式空压机,通过数量与容量的不同配比满足不同规模、不同类型的展览需求。



图 2 脉冲风机系统

不锈钢压缩空气管道根据展位箱的布点,沿一 层展厅管线槽内架空敷设,沿二层展厅楼板下方架 空敷设。

2.4 大温差空调供冷技术及控制措施

国家会展中心采用区域集中供能系统,综合考 虑冷源和空调末端情况,冷水供、回水温差设计为 8℃。采用冷水大温差运行、因其冷水特性为小流量 大温差,可降低冷水泵输送能耗,容易满足部分负 荷运行的特性,实现系统节能运行。与常规5℃温 差的空调冷水系统相比,采用大温差设计后,系统 循环水量可减少37.5%,水泵、管道及其配件的初 投资相应地大大减少,一次投资可以减少5%左右。

能源中心供冷系统采用定流量一级泵+变频二 级泵系统, 二级泵变频调速由用户热力机房最不利 环路总供、回水管处的压差值进行控制。用户侧供 冷系统采用变频三级泵系统,三级泵频率由设于系 统最不利环路末端的实时压差控制调节。

2.5 用户侧空调直接供能技术及水力平衡措施

国家会展中心内设有7个用户热力机房,采用 三级泵直接供冷供热方式,用户侧不设置隔断用换 热器。如此大规模复杂综合体建筑采用用户侧三级 泵直接供能技术,国内尚属首次。估算采用直供系 统比含板式换热器系统减少初投资约 2207 万元,运 行能耗减少约3.1%。无论从初投资还是运行能耗来 看,用户侧空调冷水直供系统与含板式换热器系统 相比,其优势十分明显。在直供系统控制方案合理、 有效的前提下, 在类似项目中应优先采用冷水直供 系统。

各用户热力人口设置流量平衡和调节装置。为 减少用户侧环路与能源中心环路的相互干扰, 二级 泵和三级泵环路之间设置平衡管,将二、三级水系 统断耦,各环路相对独立,可基于不同的压差独立 控制各自环路运行。

3 设计参数及空调冷热负荷

3.1 室外空气设计参数

室外空气设计参数详见表 1。

3.2 室内空气设计参数和设计指标

室内空气设计参数和设计指标详见表 2。

3.3 展厅的夏季和冬季空调冷、热负荷

根据本项目各功能的面积分布,展厅的夏季和 冬季空调冷、热负荷详见表 3。

表1 室外空气设计参数

	空	调	通风	采暖	
夏季	干球温度	34.4°C	温度 31.2℃	_	
	湿球温度	27.9°C			
冬季	干球温度	−2.2°C	温度 4.2℃	温度 -0.3℃	
	相对湿度	75%			

表 2 室内空气设计参数和设计指标

白回力物		季		季	新风量	噪声
房间名称	干球温度 /℃	相对湿度	干球温度 /℃	相对湿度 /%	$/(m^3/h \cdot p)$	/(dB(A))
展厅	26	50	16	_	16	≤ 55
办公	26	50	16	≥ 30	10	≤ 45
会议	24	55	20	≥ 30	12	≤ 40
商业	24	55	20	_	30	≤ 50
酒店客房	25	60	18	≥ 30	19	≤ 37

表 3 展厅的夏季和冬季空调冷、热负荷

区域	空调冷负荷 /kW	空调热负荷 /kW	冷负荷指标 /(W/m²)	热负荷指标 /(W/m²)
展厅	2423	768	221	69
办公	5328	2891	86	46
酒店	7127	6049	88	74
商业	19816	12677	169	108

4 空调冷热源及设备选择

建设单位经综合权衡后,引入能源投资商建设 国家会展中心的区域能源中心。能源中心设于基地 东南角, 毗邻 110kV 变电站。能源中心以天然气分 布式供能系统为核心, 供冷采用天然气分布式供能 + 直燃型溴化锂冷热水机组 + 常规电动冷水机组 + 水蓄冷, 供热采用天然气分布式供能+直燃型溴化 锂冷热水机组+蓄热的复合供能模式,设计总供冷 负荷 121MW, 总供热负荷 55MW。

5 空调系统形式

5.1 空调风系统

各类展厅、办公大堂、员工餐厅、展示厅、商 业门厅、超市和酒店大堂、餐厅、泳池池厅等大空



图 3 单层展厅顶送风方式

	72. 2 7 12.2 7 12.2 7 12.2														
时间	8:30	9:00	9:30	10:00	10:30	11:00	11:30	12:00	12:30	13:00	13:30	14:00	15:00	16:00	17:00
2015.12.02	17	17.3	18	18	18.6	18.7	18.8	19	18.8	18.8	18.8	18.7	18.8	18.8	18
2016.07.07	25.7	25.5	25.5	25.4	25.4	25.4	25.2	25.2	25.2	25.1	25	25	25.2	25.2	25.5

表 4 3 号馆现场温度统计表 (单位: ℃)

间公共用房采用定风量全空气系统。高大展厅依据 CFD 模拟分析结果, 分别采用上送下回和侧送 + 上 送下回的气流组织方式。

其他办公、商铺和酒店客房、后勤办公等采用 风机盘管+新风系统,并设置热回收功能段,回收 排风的能量, 预冷或预热新风。

使用时间不同目有室温要求的设备用房值班室、 控制室、弱电机房、电梯机房、车库管理室等设置 分体式空调器或变制冷剂流量多联式空调系统。

5.2 空调水系统

国家会展中心内共设7个用户热力机房,用户 侧不设换热装置,采用三级泵直接供冷或供热的方 式。

空调冷水系统供、回水温度设计为 6.5/14.5℃; 空调热水系统供、回水温度设计为50/40℃;酒店空 调热水系统的供、回水温度设计为 60/50℃。

空调水系统为异程式,采用干管静态平衡阀+ 末端动态平衡电动调节阀的组合水力平衡方式。

6 通风、防排烟及空调自控设计

6.1 展厅通风设计

展厅机械通风系统按空调期和非空调期分别考 虑,排风机的风量与二者对应,并按展览的不同阶 段,采取不同的运行策略。

展区过渡季节以通风为主, 展厅各空调系统可 全新风运行,向室内送入新风,满足室内环境的需 求。过渡季节排风机全部或部分运行。

夏季和冬季展厅空调系统运行时,展厅新风量 由工作区 CO。浓度传感器控制,室内排风机变频 运行,排风量与新风量平衡,保持室内微正压;冬 季时,排风机停止运行。

6.2 排烟系统

国家会展中心展厅均采用机械排烟方式。

考虑到展厅的整体性和使用功能需求, 对单层 展厅和双层展厅采取不同的防火隔断方式。

以单层展厅为例,单层展厅为无柱大跨度空 间,净高达35m,顶部为桁架结构,难以设置防火 卷帘来划分防火分区, 因此在展厅内部设置防火隔 离带,通过防火隔离带将展厅分隔为3个"防火分 区"。利用消防性能化设计、分别确定了举办不同 类别展览时防火隔离带的宽度。如对于机械类和食 品类展览, 防火隔离带的宽度设定为 12m; 而对于 汽车类、家具建材类、礼品家居类和纺织类展览, 防火隔离带的宽度设定为 17m(如图 4 所示)。

大空间目人员较为密集的场所中, 控制烟气扩 散是非常重要的。中博会展厅顶部多为三角形钢桁 架,无法设置固定的挡烟垂壁。本项目创造性地提 出采用"脉冲风机系统"控制烟气蔓延,即在防火 隔离带的两侧分别设置1组脉冲风机,其主要作用 为:将扩散至非着火区域的烟气抽回至火灾区域, 以达到一定的挡烟作用。

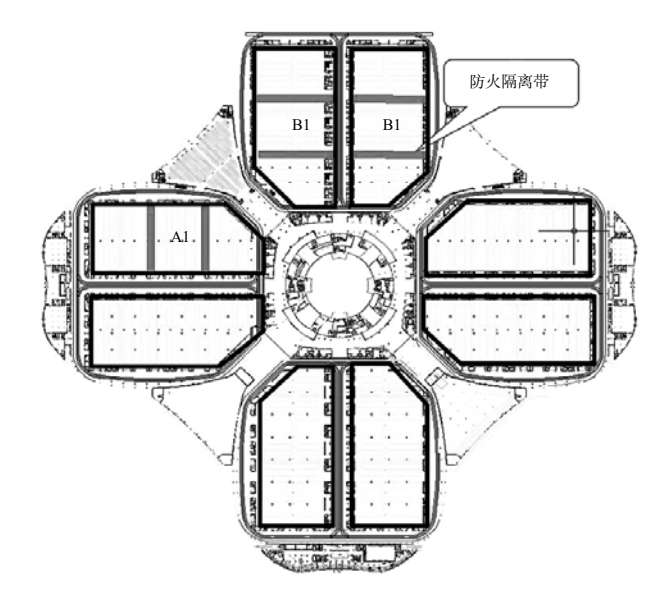


图 4 单层展厅防火隔离带示意图

7 运行效果

2014年10月展厅区域全部竣工并投入试运行, 先后承办了多项国际、国内大中型展会活动, 并经 历了 2015 年上海国际汽车展、2015 年和 2016 年国 药展等大客流展览的考验。以A1区单层展厅(净 高 35m) 为例,物业管理单位对展览现场室内温度 的测试结果详见表 4。

冷水机组高效运行策略的研究

福建省建筑科学研究院 陈什泉 杨淑波 瞿端仁 陆观立

摘 要:冷水机组的能耗占空调系统能耗的 50% 左右,冷水机组的运行节能是空调系统节能中最重要的部分。 经调查,长期以来,我国冷水机组多数是在90%以上负荷率的非高效区运行,没有完全发挥冷水机组 高效区的性能优势,造成了极大的能源浪费。本文通过对冷水机组高效运行策略进行研究,得出高效 运行策略将冷水机组运行节能率平均提高了32%。

关键词: 冷水机组: 高效运行策略: 节能率:

0 前言

近十几年,我国暖通空调行业在设备制造方面 由于不断的创新,设备技术性能和产品质量都不断 的提高, 为我国城市建设做出了巨大的贡献, 取得 了令世界瞩目的成就。但是, 在暖通空调系统操作 与管理方面还比较落后,造成"高端产品低端使用" 的严重现象。即高性能、节能型的产品在实际工程 使用时没有发挥其作用,或者说实际使用不节能。

经分析存在以下问题:

- (1)设计文件中没有提供所选用的冷水机组应 该如何节能运行的说明, 更没有提供"冷水机组高 效运行策略表";
- (2)制造商供货时没有向业主提供"冷水机组 全负荷性能参数或全负荷性能曲线图":
- (3) 空调系统的操作工人多数为非专业技术人 员,一般只经过简单培训后即上岗。

以上3点造成我国空调系统操作与管理技术水 平较低。经对实际工程调查发现:中央空调系统的 操作工是根据当地的室外气温和自己的经验确定冷 水机组的运行台数,而且,多数在线运行的冷水机 组均在运行状态 90% 以上的非高效区运行,不节能。 而科学的运行管理可以将冷水机组的性能发挥到最 大化, 其节能效果是十分显著的。

1 冷水机组的高效区与非高效区

磁悬浮冷水机组、定变频离心冷水机组、螺杆 冷水机组在其全负荷性能曲线图中, 当冷负荷比例 小于 100% 时, 其部分负荷的性能参数 COP 值均 大于100%负荷时的性能参数COP值,如下图1 所示。

全负荷性能曲线并没有高效区与非高效区之分, 图中椭圆线部分的所谓高效区与非高效区是本文分 析方便而设定的,即:部分负荷的 COP 值与 100% 负荷率的 COP 值之比其节能率大于等于 10% 为高 效区,小于10%为非高效区。

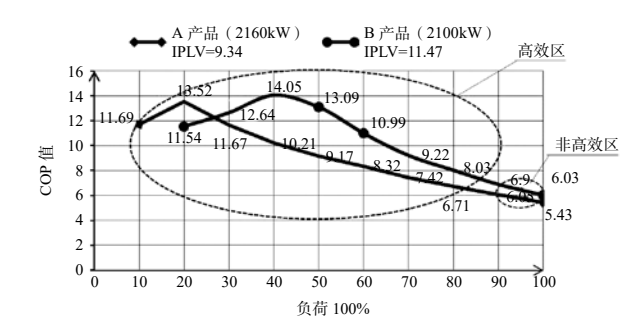


图 1 水冷磁悬浮机组全负荷性能曲线图

2 冷水机组高效运行策略

所谓冷水机组高效运行策略是: 冷水机组在满 足空调系统全年冷负荷需求的同时,冷水机组必须 在其全负荷性能曲线的高效区运行。

2.1 冷水机组高效运行策略表的编制要求

"冷水机组高效运行策略表"应根据空调系统 室内夏季冷负荷、冷水机组的机型、台数、全负荷 性能参数及曲线等进行编制。为了保证冷水机组在 满足空调系统使用要求的同时又要保证在高效区运 行, "冷水机组高效运行策略表"的编制应满足如 下要求: (a) 主机运行台数转换后比转换前能耗小; (b) 主机运行台数转换时制冷量与室内冷负荷的差 值不超过 5%~7.5%。

2.2 相同制冷量不同冷水机组高效运行策略表

2.2.1 水冷变频磁悬浮离心冷水机组高效运行 策略表

如制冷量为 6300kW, 3 台 2100kW 水冷变频磁 悬浮离心冷水机组高效运行策略表见表 1。

从表 1 分析, 当主机同频率运行至 65% 状态时, 虽然校验冷量满足"冷水机组高效运行策略表"5% 的编制要求,但校验功率696kW大于运行功率 413kW, 所以不能进行运行台数的转换。当主机同 频率继续运行至 40% 状态时, 校验冷量为 0kW,

序号	总冷量	室内冷负荷	1# =	 上机	2# =	 上机	3# =	主机	运行冷量	运行冷量与室	运行功率	校验功率	校验冷量
序写	相对值 /%	/kW	运行状态 /%	2100/kW	运行状态 /%	2100/kW	运行状态 /%	2100/kW	合计 /kW	内冷量差值 /kW	/kW	/kW	/kW
1	100	6300	100	2100	100	2100	100	2100	6300	0	1041	696	-2100
2	95	5985	95	1995	95	1995	95	1995	5985	0	933	696	-1785
3	90	5670	90	1890	90	1890	90	1890	5670	0	825	696	-1470
4	85	5355	85	1785	85	1785	85	1785	5355	0	728	696	-1155
5	80	5040	80	1680	80	1680	80	1680	5040	0	630	696	-840
6	75	4725	75	1575	75	1575	75	1575	4725	0	555	696	-500
7	70	4400	70	1470	70	1470	70	1470	4400	0	480	696	-200
8	65	4095	65	1365	65	1365	65	1365	4095	0	413	696	105
9	60	3780	60	1260	60	1260	60	1260	3780	0	345	550	0
10	55	3465	55	1155	55	1155	55	1155	3465	0	293	420	105
11	50	3150	50	1050	50	1050	50	1050	3150	0	240	370	0
12	45	2835	45	945	45	945	45	945	2835	0	210	320	105
13	40	2520	40	840	40	840	40	840	2520	0	180	230	0
14	35	2205	40 ↑ 50	1050	40 ↑ 50	1050	-	-	2100	-105	165	160	-105
15	30	1890	45	945	45	945	-	=	1890	0	140	275	0
16	25	1575	40	840	40	840	-	-	1680	105	120	185	105
17	20	1260	35	735	35	735	-	-	1470	210	110	115	0
18	15	945	35 ↑ 45	945				-	945	0	70	70	0
19	10	630	30	630					630	0	50	50	0
20	5	315	15	315	-	-	-	=	315	0	33	33	0

表 1 水冷变频磁悬浮离心冷水机组高效运行策略表

校验功率为230kW,接近运行功率,即两者均满足"冷水机组高效运行策略表"的编制要求,将3台运行状态40%的主机转换成2台50%运行状态继续运行;当2台50%运行状态的主机运行至35%时,再卸1台;剩下1台主机在短时间内由将运行状态由35%调整为45%继续运行至满足最小负荷的要求。

2.2.2 水冷变频磁悬浮离心冷水机组全负荷性 能曲线图

分析表 1 和图 2, 主机从 3 台转为 2 台运行和 2 台转为 1 台运行时均满足"冷水机组高效运行策略表"编制的要求,水冷变频磁悬浮离心冷水机组高效区的运行能耗与负荷率 100% 的运行能耗相比节能率为 47%。

2.2.3 水冷定变频螺杆冷水机组高效运行策略表如制冷量为6000kW,3台2000kW水冷定、变频螺杆冷水机组高效运行策略表见表2、表3。

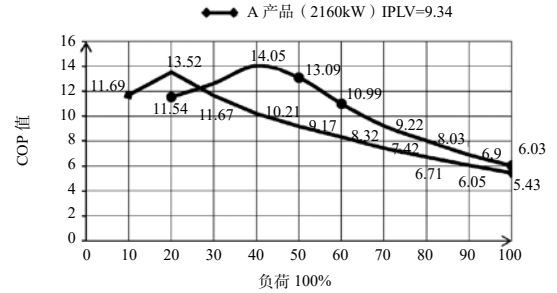


图 2 2100kW 水冷变频磁悬浮离心冷水机组全负荷性能曲 线图

2.2.4 水冷定变频螺杆冷水机组全负荷性能曲 线图

分析图 3: 对于同冷量的水冷螺杆冷水机组来说,在负荷率 100%~10% 之间的 COP 值相差很小,节能率基本相同。定频螺杆机组在负荷率 50%以下其 COP 值开始降低,但其 COP 值仍然高于100%负荷率时的 COP 值。变频螺杆机组从负荷率100%~20%其 COP 值一直保持上升,负荷率 20%以下其 COP 值才开始降低,负荷率到 10%时其 COP值仍然高于100%负荷率时的 COP值近一倍。从图3中知道,变频螺杆机组可运行至 10%,而定频螺杆机组只能运行至 20%。

从图 3、表 2 及表 3 分析, 主机从 3 台转为 2 台运行和 2 台转为 1 台运行时均满足"冷水机组高效运行策略表"编制的要求,水冷变频螺杆冷水机组高效区的运行能耗与负荷率 100% 的运行能耗相比节能率为 44%;水冷定频螺杆冷水机组高效区的运行

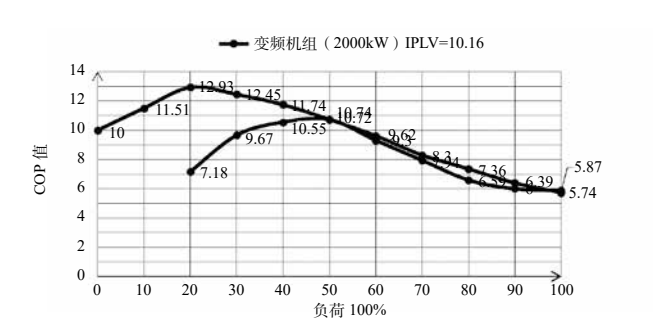


图 3 2000kW 水冷螺杆机组全负荷性能曲线图

	总冷量	室内冷负荷	1# 3	 主机	2# 3	 主机	3# 3	 主机	运行冷量	运行冷量与室	运行功率	校验功率	校验冷量
序号	相对值/%	/kW	运行状态 /%	2000/kW	运行状态 /%	2000/kW	运行状态 /%	2000/kW	合计/kW	内冷量差值 /kW	/kW	/kW	/kW
1	100	6000	100	2000	100	2000	100	2000	6000	0	1056	707	-2000
2	95	5700	95	1900	95	1900	95	1900	5700	0	954	707	-1700
3	90	5400	90	1800	90	1800	90	1800	5400	0	852	707	-1400
4	85	5100	85	1700	85	1700	85	1700	5100	0	755	707	-1100
5	80	4800	80	1600	80	1600	80	1600	4800	0	657	707	-800
6	75	4500	75	1500	75	1500	75	1500	4500	0	584	707	-500
7	70	4200	70	1400	70	1400	70	1400	4200	0	510	707	-200
8	65	3900	65	1300	65	1300	65	1300	3900	0	444	707	100
9	60	3600	60	1200	60	1200	60	1200	3600	0	378	568	0
10	55	3300	55	1100	55	1100	55	1100	3300	0	330	438	0
11	50	3000	50	1000	50	1000	50	1000	3000	0	282	389	0
12	45	2700	45	900	45	900	45	900	2700	0	245	296	0
13	40	2400	40	800	40	800	40	800	2400	0	207	252	0
14	35	2100	35	700	35	700	35	700	2100	0	177	188	0
15	30	1800	30	600	30	600	30	600	1800	0	147	163	0
16	25	1500	25	500	25	500	25	500	1500	0	120	118	0
17	20	1200	25 ↑ 30	600	25 ↑ 30	600	-	-	1200	0	98	126	0
18	15	900	25	500	25	500	-	-	1000	100	80	82	100
19	10	600	30	600	-	-	-	-	600	0	49	49	0
20	5	300	20	400	-	-	-	-	400	100	31	40	100
				± 2 2	راد مردد داد مردد	17 六 1 1 1 1 1 1 1 1 1 1 1 1 1 1 1 1 1 1	L- 14 le le	ルーン	1- 15-15 t				

表 2 3 台 2000kW 变频螺杆冷水机组高效运行策略表

主 2	2 4 20001AW	它牺龊扛瓜水机	组高效运行策略表
衣 .5	3 5 ZUUUKW	正 切	组高效还作束购衣

序号	总冷量	室内冷负荷	1# 3	主机	2# 🗏		3# 3	主机	运行冷量	运行冷量与室	运行功率	校验功率	校验冷量
175	相对值 /%	/kW	运行状态 /%	2000/kW	运行状态 /%	2000/kW	运行状态 /%	2000/kW	合计/kW	内冷量差值 /kW	/kW	/kW	/kW
1	100	6000	100	2000	100	2000	100	2000	6000	0	1047	698	-2000
2	95	5700	95	1900	95	1900	95	1900	5700	0	975	698	-1700
3	90	5400	90	1800	90	1800	90	1800	5400	0	903	698	-1400
4	85	5100	85	1700	85	1700	85	1700	5100	0	825	698	-1100
5	80	4800	80	1600	80	1600	80	1600	4800	0	747	698	-800
6	75	4500	75	1500	75	1500	75	1500	4500	0	645	698	-500
7	70	4200	70	1400	70	1400	70	1400	4200	0	543	698	-200
8	65	3900	65	1300	65	1300	65	1300	3900	0	469	698	100
9	60	3600	60	1200	60	1200	60	1200	3600	0	396	602	0
10	55	3300	55	1100	55	1100	55	1100	3300	0	341	498	0
11	50	3000	50	1000	50	1000	50	1000	3000	0	285	430	0
12	45	2700	45	900	45	900	45	900	2700	0	259	312	0
13	40	2400	40	800	40	800	40	800	2400	0	234	264	0
14	35	2100	35	700	35	700	35	700	2100	0	213	190	0
15	30	1800	35 ↑ 45	900	35 ↑ 45	900	-	-	1800	0	173	301	0
16	25	1500	40	800	40	800	-	-	1600	100	156	215	100
17	20	1200	35	700	35	700	-	-	1400	200	121	132	200
18	15	900	35 ↑ 45	900	-	-			900	0	86	86	0
19	10	600	30	600	-	-	-	-	600	0	64	64	
20	5	300	15	300	-	-	-	-	300	0	-	-	0

能耗与负荷率 100% 的运行能耗相比节能率为 34%。

2.2.5 水冷离心冷水机组高效运行策略表

如制冷量为 9000kW, 3 台 3000kW 水冷定变频 离心冷水机组高效运行策略见表 4、表 5。

2.2.6 水冷定变频离心冷水机组全负荷性能曲 线图

分析图 4: 水冷定频离心冷水机组从负荷率 100%~10%之间其全负荷性能曲线均比较平缓,在 负荷率 100%~50% 之间最大的 COP 值与 100% 时的 COP 值比较相差很小;负荷率 50%~10% 之间 COP

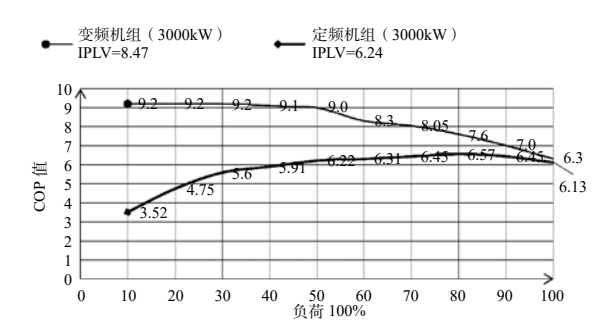


图 4 3000kW 水冷离心冷水机组全负荷性能曲线图

	从中 5 6 5000KW 11月19 交次网 0 6 月 4 4 5 年 同 从之 11 米 4 米												
序号	总冷量	室内冷负荷	1# 🗵	 主机	2# 3	主机	3# =	主机	运行冷量	运行冷量与室	运行功率		
71. 9	相对值 /%	/kW	运行状态 /%	2000/kW	运行状态 /%	2000/kW	运行状态 /%	2000/kW	合计 /kW	内冷量差值 /kW	/kW	/kW	/kW
1	100	9000	100	3000	100	3000	100	3000	9000	0	1422	948	-3000
2	95	8550	95	2850	95	2850	95	2850	8550	0	1290	948	-2550
3	90	8100	90	2700	90	2700	90	2700	8100	0	1158	948	-2100
4	85	7650	85	2550	85	2550	85	2550	7650	0	1053	948	-1650
5	80	7200	80	2400	80	2400	80	2400	7200	0	948	948	-1200
6	75	6750	75	2250	75	2250	75	2250	6750	0	861	948	-750
7	70	6300	70	2100	70	2100	70	2100	6300	0	783	948	-300
8	65	5850	65	1950	65	1950	65	1950	5850	0	717	948	150
9	60	5400	60	1800	60	1800	60	1800	5400	0	651	772	600
10	55	4950	55	1650	55	1650	55	1650	4950	0	576	632	-150
11	50	4500	50	1500	50	1500	50	1500	4500	0	498	574	0
12	45	4050	45	1350	45	1350	45	1350	4050	0	447	522	150
13	40	3600	40	1200	40	1200	40	1200	3600	0	396	434	0
14	35	3150	35	1050	35	1050	35	1050	3150	0	330	474	-150
15	30	2700	30	900	30	900	30	30	2700	0	244	386	0
16	25	2250	30 ↑ 40	1200	30 ↑ 40	1200	-	-	2400	150	264	351	150
17	20	1800	30	900	30	900	-	-	1800	0	162	217	0
18	15	1350	↑ 45	1350	-	-	-	-	1350	0	149	149	0
19	10	900	30	900	-	-	-	-	900	0	99	99	0
20	5	450	15	450	-	ī	-	1	450	0	33	33	0

表 4 3 台 3000kW 的水冷变频离心冷水机组高效运行策略表

表 5 3 台 3000kW 的水冷定频离心冷水机组高效运行策略表

序号	总冷量	室内冷负荷	1# 3	主机	2# 3	主机	3# 3	主机	运行冷量	运行冷量与室	运行功率	校验功率	校验冷量
17-5	相对值 /%	/kW	运行状态 /%	2000/kW	运行状态 /%	2000/kW	运行状态 /%	2000/kW	合计/kW	内冷量差值 /kW	/kW	/kW	/kW
1	100	9600	100	3200	100	3200	100	3200	9600	0	1575	1050	-3200
2	95	9120	95	3040	95	3040	95	3040	9120	0	1461	1050	-2720
3	90	8640	90	2880	90	2880	90	2880	8640	0	1347	1050	-2240
4	85	8160	85	2720	85	2720	85	2720	8160	0	1258	1050	-1760
5	80	7680	80	2560	80	2560	80	2560	7680	0	1170	1050	-1280
6	75	7200	75	2400	75	2400	75	2400	7200	0	1108	1050	-800
7	70	6720	70	2240	70	2240	70	2240	6720	0	1047	1050	-320
8	65	6240	65	2080	65	2080	65	2080	6240	0	982	1050	160
9	60	5760	60	1920	60	1920	60	1920	5760	0	918	898	0
10	55	5280	60 ↑ 80	2560	60 ↑ 80	2560	-	-	5120	-160	784	525	-2080
11	50	4800	75	2400	75	2400	-	=	4800	0	738	525	-1600
12	45	4320	70	2240	70	2240	-	-	4480	160	698	525	-1120
13	40	3840	60	1920	60	1920	-	-	3840	0	612	525	640
14	35	3360	50	1600	50	1600	-	-	3200	-160	518	525	-160
15	30	2880	50 ↑ 90	2880	-	-	-	=	2880	0	449	449	0
16	25	2400	75	2440	-	-	-	-	2400	0	369	369	0
17	20	1920	60	1920	-	1	-	-	1920	0	306	306	0
18	15	1440	45	1440		-	-	-	1440	0	238	238	0
19	10	960	30	960		-	-	-	960	0	172	172	0
20	5	480	15	480	-	-	-	=	480	0	113	113	0

值下降较快,特别是在负荷率30%以下更快,且 COP 值均低于 100% 时的 COP 值。所以, 水冷定频 冷水机组高效运行策略的节能率较低。水冷变频离 心冷水机组从负荷率100%~10%其COP值一直上升, 高效运行策略的节能率较高。同时得知:采用水冷 离心冷水机组时最好选用变频的, 因为两者在高效 区的节能率相差很大, 定频离心机在高效区的节能 率相差很小。

从上图 4、表 4 和表 5 分析, 主机从 3 台转为 2 台运行和2台转为1台运行时均满足"冷水机组高 效运行策略表"编制的要求,水冷变频离心冷水机 组高效区的运行能耗与负荷率 100% 的运行能耗相 比节能率为37%;水冷定频离心冷水机组高效区的 运行能耗与负荷率 100% 的运行能耗相比节能率为 8.2%_o

从表1、表2和表4分析,变频磁悬浮、变频螺杆、 变频离心机冷水机组从3台转为2台运行时其运行 状态较低 25%~40%, 2 台转为 1 台运行时主机的运 行状态在25%~35%, 节能效果十分显著。从表5分 析:水冷定频离心冷水机组从3台转为2台运行时 其运行状态较高60%,2台转为1台运行时其运行 状态在50%, 节能效果较差。

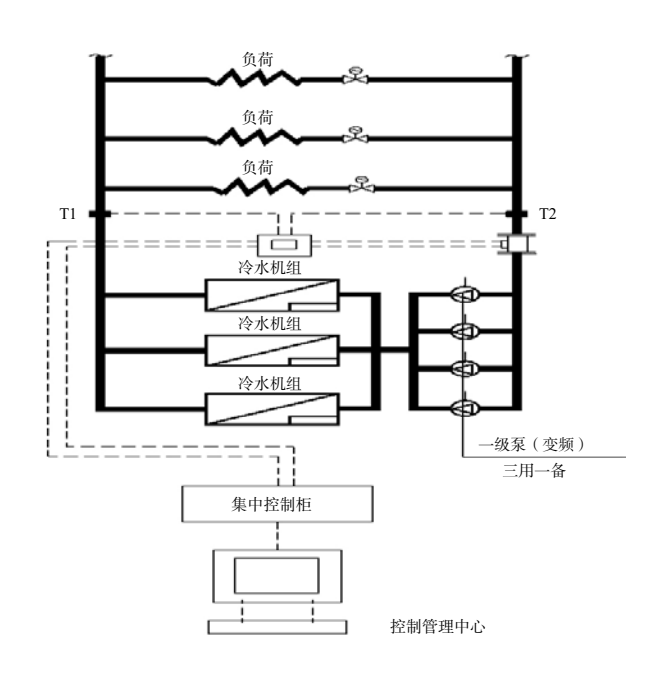


图 5 高效运行空调冷水系统图

3 如何实现冷水机组在高效区自动运行

3.1 手动高效运行

手动高效运行是根据室内空调负荷变化和冷水 机组运行状态以及操作管理人员观察主机的运行状 杰进行手动干预的方法实现冷水机组的高效运行和 冷水机组运行台数转换。但前提条件是操作管理人 员要经常的观看智能控制柜或管理中心的电脑,及 时的通过手动调整冷水机组的运行状态或运行台数 的变化。当操作管理人员不在岗时就无法完成以上 工作,进而运行的节能量就受到影响,或者说,节 能量无法得到保证。

3.2 自动高效运行

自动高效运行是根据室内空调负荷变化和"冷 水机组高效运行策略表"以及冷量计可实现主机 在高效区自动运行。即,在回水总管上安装1个 流量计,实时测得回水管的流量变化,与给回水 总管上测得的温度同时输入冷量计进行计算空调 系统的冷量。将实时测得的空调系统的冷量与根 据"冷水机组高效运行策略"设定的空调冷负荷 相对值进行比较,自动调节冷水机组的运行状态, 实现了满足空调系统冷负荷要求的同时又使冷水 机组在高效区运行。高效运行空调冷水系统图和 控制流程图见图 5、6。

由于冷水机组运行状态只有显示功能, 而不能

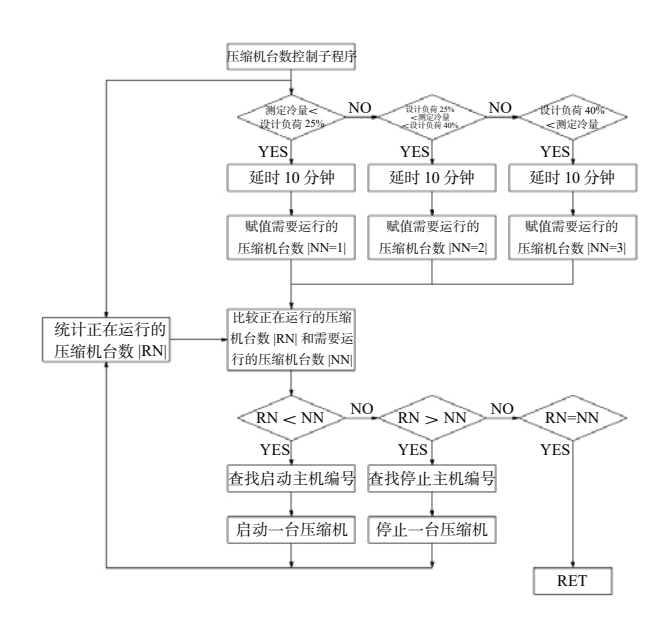


图 6 控制流程图

作为控制、设定等功能,所以,只能通过外加冷量 计,将实测的数据与设定值进行比较,使冷水机组 自动的在其全负荷性能曲线的高效区运行, 且实现 冷水机组运行台数的自动转换。

如表 1, 空调系统的总冷量相对值在 100%~10% 之间时, 3 台 2100kW 变频磁悬浮冷水机组同频率运 行, 当空调系统的总冷量相对值在 40%~35% 时转 换为2台主机运行,此时主机的运行状态发生改变, 空调系统的总冷量相对值小于35%时转为1台主机 运行,此时,主机再一次调整运行状态直至满足空 调系统最小冷负荷的要求。冷水机组运行台数转换 时主机的运行状态都会发生改变,这种运行状态的 改变冷水机组在短时间内就能调整,不影响空调系 统的运行安全和系统的稳定性。

4 总结

- (1)冷水机组高效运行策略是根据实际工程项 目的夏季室内冷负荷、主机台数、型号、全负荷性 能参数或曲线进行编制的。
- (2)冷水机组高效运行策略编制的要求是 主机应在全负荷性能曲线的高效区运行: 主机运 行台数转换时其制冷量与室内冷负荷差值不超过 5%~7.5%; 主机运行台数转换后比转换前能耗小。
- (3)不同型号的冷水机组高效区的节能率是不 同的,最低的是水冷定频离心冷水机组为8.2%,最 高的是水冷变频磁悬浮冷水机组为 47%。

利用自然通风的轿车舱内新风量 及热舒适性实验研究

沈阳建筑大学 冯国会 蔡易霖 毕扬 重庆大学 张亿先

摘 要:针对行驶状态下的轿车舱内在车窗开启条件下利用自然通风排除舱内的二氧化碳的能力和车内的热舒 适性进行实验研究,得到了在不同车窗开度和行驶速度下的二氧化碳浓度衰减曲线,采用浓度衰减 法计算了进入车舱内的新风量, 比较了车窗开度和行驶速度对新风量的影响程度, 结果表明增加车 窗开度和行驶速度均会增加新风量和排风能力,车窗开度的影响程度更大。测量了车内乘客面部的 气流速度和噪声, 当开启前排车窗时后排的风速明显大于前排风速, 车速对前排的影响不大; 当车 速 > 50km/h, 车窗开度 > 5cm 时, 后排乘客吹风感强烈。

关键词: 自然通风: 轿车舱内: 新风量: 热舒适性

0 前言

根据 2017 年公安部交管局统计[1], 截至 2017 年3月底,全国机动车保有量已突破3亿,其中轿 车达 2 亿量;机动车驾驶人超 3.64 亿人,其中轿车 驾驶人 3.2 亿人, 并且轿车保有量保持高速生长的 态势。随着社会的发展,轿车已经成为很多人出行 的必要工具,一些特殊职业的人,比如司机,导游 等更是有大量时间处在轿车内部的环境下。由于轿 车舱内部有空间小,一般只有 2~3m3,密闭性强, 人员密度大等特点,车内空气品质对人员的身心健 康有巨大影响[2-3]。

在很多南方城市和一些北方城市, 天气适宜, 由于经济和环保的因素,很多人不愿意打开空调, 这样就容易在车内形成一个密闭的空间,极易造成 二氧化碳,甲醛等气体污染物的积累。研究表明[4-5], 室内的 CO。浓度超过 1000ppm 时, 人体会感觉空气 浑浊, 并开始觉得昏昏欲睡; 当浓度超过 2000ppm 时,人会感觉头痛、嗜睡、呆滞、注意力无法集中、 心跳加速、轻度恶心。驾驶人在驾驶轿车时每行驶 一段时间就应及时进行通风。自然通风是经济又有 效的通风方式, 在行驶路上, 开启车窗的通风方式 对热舒适性,室内空气品质均有影响 6,但对于开 窗利用自然通风排除车内污染物的能力没有一个准 确的量化分析。本文考虑车内空气品质和热舒适性 为出发点,对小轿车满载时车不同行驶速度和开窗 大小下的二氧化碳浓度进行连续监测,同时以二氧 化碳为示踪气体,采用浓度衰减法计算不同状态下

基金项目: 国家自然科学基金项目(51378138); 辽宁省教育厅 基础研究项目(LZ2014030)。

的车内的新风量,同时监测该种通风状态下的车内 气流速度和噪声。

1 实验方案

针对轿车在开窗行驶时的二氧化碳浓度监测, 热舒适性的实验均在车内动态完成,整个实验在2 天内完成,采用车辆为2017年款雪佛兰迈锐宝, 该车为三厢轿车,座位数5个,车况良好,密闭 性强,轴距2700mm。测试时天气状况良好,均为 晴天,风力不大于3级,风速均小于1m/s。车内 乘客均为20~25岁, 共有2男2女参与了此次实 验,健康状况良好。为了模拟轿车行驶的真实环 境下的车速,本文根据《中华人民共和国道路交 通安全法》[7] 将车速总共分成了以下6个级别: ① 30km/h, 为无道路中心线的路段限速, 同时模 拟室内慢车环境; ② 50km/h, 为同方向一条车道 的路段限速: ③ 60km/h, 为同方向两条车道的路 段限速; ④ 80km/h, 为同方向两条车道的路段限 速; ⑤ 100km/h, 为绕城高速公路及环路段限速; ⑥ 120km/h, 为高速公路段限速。此外, 本文根据 驾驶人的行为习惯,就车窗开启大小分成3个级别: ① 2cm, 开启面积为 0.01928m²(图1); ② 5cm, 开启面积为 0.03594m²; ③ 10cm, 开启面积为 0.09491m^2 (图 2)。

1.1 二氧化碳的浓度变化

本文测试了在开窗宽度为 5cm 和 10cm, 行车 速度为 60/80/100/120km/h 的状态下下特定浓度的 二氧化碳在车内的衰减曲线。每次实验均开启驾驶 位和副驾驶位的两侧车窗,关闭后窗。实验方法参





图 1 窗户开度 2cm

图 2 窗户开度 10cm







图 3 CO。检测仪 图 4 设备连接图 图 5 热球风速仪

照《公共场所空气中二氧化碳测定方法》[8],采用 TELAIRE7002 二氧化碳测试仪分析仪(图3)监测 轿车舱内的 CO。浓度和温度,采样高度为 1m,采样 位置位于轿车中间位置,同时通过 HOBOWARE 温 湿度记录仪(图4)对信息进行记录,每次记录的 时间间隔为10s。

1.2 新风量

本文测试了 30/50/60/80/100/120(km/h) 车速下 的,开窗大小为 2/5/10(cm) 状态下车内的新风量。 以钢瓶释放出的 CO。作为示踪气体, 并考虑人体呼 出的 CO。浓度, 采用衰减法测定车内的新风量, 即 在车窗紧闭的情况下, 先将车辆行驶至限定速度, 然后释放 CO; 使之浓度上升至 2500PPM 并稳定时, 将车窗开启到限定的开度,达到稳定的通风状态, 此时监测 CO₂ 的浓度下降情况,当 CO₂ 浓度下降至 一个定值,再次记录时间,根据两个时间间隔采用 解析法计算出该车窗开度该速度下的新风量。测试 结束后重复试验,每个工况重复实验3次。计算公 式如下:

$$(C_{\tau} - C_{out}) = (C_0 - C_{out} - \frac{F_{O2}}{Q}) \exp(-\frac{Q}{V}t) + \frac{F_{O2}}{Q}$$

其中: V为车内空气体积 (m^3) ; C_{out} 为室外环 境示踪气体浓度; C, 为瞬时测量的示踪气体浓度 (mg/m^3) ; C_0 为初始时刻的 CO_2 浓度值 (mg/m^3) ; Q为通风量(m^3/s); F为 CO_2 的释放速率, 根据 车上人员数量算出(mg/s)。

采用迭代法计算出新风量 0 的值。温度用温度 计量出,风速用热求风速仪量出,CO,浓度用二氧 化碳检测仪量出,根据 $Qi^{(9)}$ 的计算方法估出人员的 CO, 发生量, 车内尺寸用量尺量出, 参数均在下表 列出。

表1 计算参数

环境温度	-12°C ~ -16°C
环境风速	0.1~1.0m/s,南偏东 30°/0.4m/s 转北
大气中 CO ₂ 浓度	339ppm~351ppm
人体呼出 CO ₂ 浓度	29.4 mg·s ⁻¹
车内空气体积	2.66m ³

1.3 热舒适性

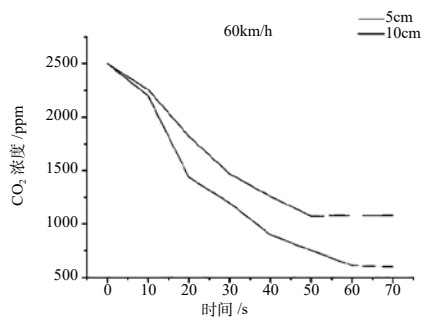
在轿车行驶讨程中开启窗户会引起车内和车外 的气体剧烈交换,影响车内的气流环境,给人体带来 吹风感,同时会产生噪声。为了探究开窗时行驶给乘 客带来的吹风感和噪声,本文通过使用手持式热球风 速仪(图5)和噪声仪对不同开窗大小和车速下的人 面部的气流速度和噪声进行了测试。测试点位为驾驶 员面前,驾驶-副驾驶之间,副驾驶员面前,后排左 乘客面前,后座中间,后排右乘客面前共6个测点。

2 实验结果分析

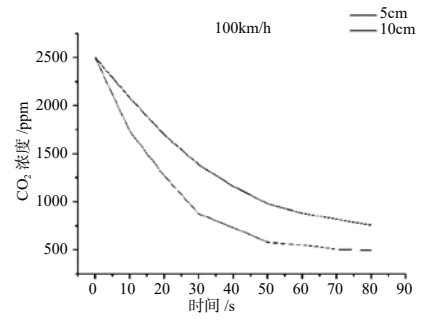
2.1 CO。的浓度衰减

根据 HOBO 温湿度记录仪记录的 CO2 的衰减曲 线可以看出,行驶状态下开窗后车内 CO,的浓度衰 减符合全面通风稀释方程[10]。图 6 比较了不同车速 下开窗大小对车内二氧化碳的排除作用,可以看出, 开窗大小对 CO, 的浓度衰减影响很大, 这是因为车 窗的增大增了流体的出流面积。当轿车行驶速度在 60km/h, 车内空气中二氧化碳的浓度为 2500ppm 时, 若将车窗摇下 5cm,则需要 90s 才能让二氧化碳的 浓度降到 1000ppm 以下, 但如果将车窗摇下 10cm 时仅需 40s 即可达到同样的效果。当轿车行驶速度 为 80km/h 时, 若开窗 5cm, 则需 60s 使车内的 CO, 浓度降低到 1000ppm 以下; 若开窗 10cm, 则需不 到 40s。车速为 100km/h 的行驶状态下, 想要使浓度 为 2500ppm 的 CO, 降低到 1000ppm 需开窗 5cm 维 持 50s 或开窗 10cm 维持 30s。当车速在 120km/h 时, 这两个数值分别为 40s 和 25s。

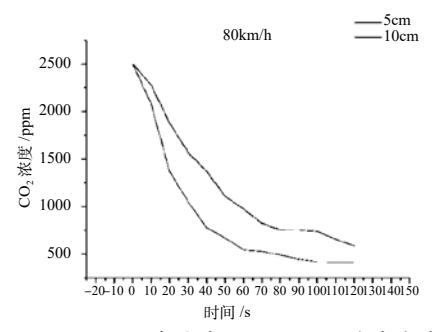
图7为车速对轿车内二氧化碳的排出量的影响。 根据流体力学的基本原理可知,车速的增加会增加 从车窗进入车内的通风量。这是因为更快的车速可 以增加作用在轿车窗口两边的压差[11], 而通过孔口 的空气体积流量与孔口两侧压力差的平方根成正比。 根据图 7 可以看出,车速的增加确实会加快二氧化 碳的衰减,但是效果相对有限。若想把CO,浓度从 2500 下降到 1000, 当车速为 120km/h 时, 在开窗 5cm 的情况下所需的时间比车速为 80km/h 时所需的 时间少 20s。在开启窗户 10cm 后的 15s 内, 车速为 120km/h 和 100km/h 的二氧化碳浓度衰减几乎相差 无几。



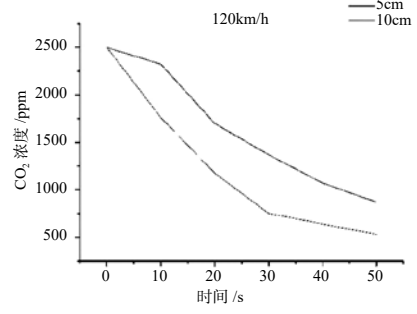
(a) 60km/h 的行车速度下的 CO2 的浓度衰减曲线



(c) 100km/h 的行车速度下的 CO₂ 的浓度衰减曲线



(b) 80km/h 的行车速度下的 CO2 的浓度衰减曲线



(d) 120km/h 的行车速度下的 CO₂ 的浓度衰减曲线

图 6 固定车速下的 CO。浓度衰减曲线

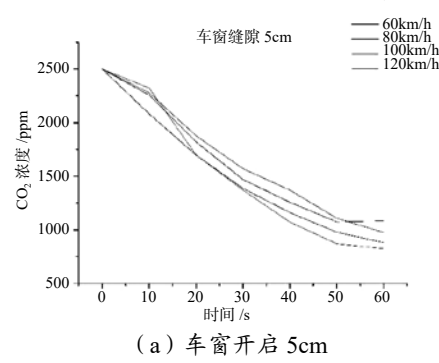
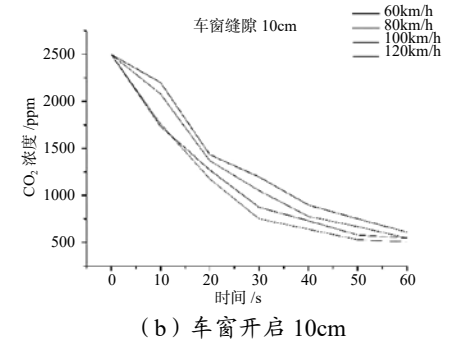


图 7 固定开窗大小下的 CO, 浓度衰减曲线



2.2 新风量的计算

表 2 为根据实际情况算出的新风量的值,同时根据上述结果计算出污染物浓度达到稳定所需的时间^[8]。由表 2 可以看出。图 8 显示了新风量和车速、车窗开度的关系。由图可以看出,车速和车窗开度均影响着车内的新风量,车速越快,新风量越大;车窗开度越大,新风量越大;每当车速增加 20km/h 时,新风量相应增加 0.015~0.02m³/s。而当车窗开度由 5cm 增大到 10cm 时,新风量会随之增加到原来的二倍左右。

2.3 气流速度和噪声

表 3 给出了不同车速和开窗大小状态下的前排和后排的乘客面部的平均风速,从表中可以看出, 开启前排车窗时,后排乘客面部的平均风速均大于前排,由于人体在感受到不舒适的最低风速约为

表 2 车内新风量计算

车速 /(km/h)	车窗 开度 /(cm)	新风量 (m³/s)	汚染物 浓度稳 定时间 /s	车速 /(km/h)	车窗 开度 /(cm)	新风量 /(m³/s)	污染物 浓度稳 定时间
30	2	0.02009	534	80	5	0.07433	144
30	5	0.03385	315	80	10	0.14107	75
30	10	0.04668	228	100	5	0.09098	117
50	5	0.05227	204	100	10	0.15303	70
60	5	0.05934	179	120	5	0.10452	102
60	10	0.11643	91	120	10	0.19095	55

0.25m/s^[12],因此,当车速高于 50km/h,开窗大小大于 5cm 时,后排的平均风速即超过 0.25m/s;当车速大于 60km/h,车窗开度大于 10cm 时,或车速大于 100km/h,车窗大于 5cm 时,前排的平均风速大于 0.25m/s,吹风感明显。当车速在 120km/h,开窗大

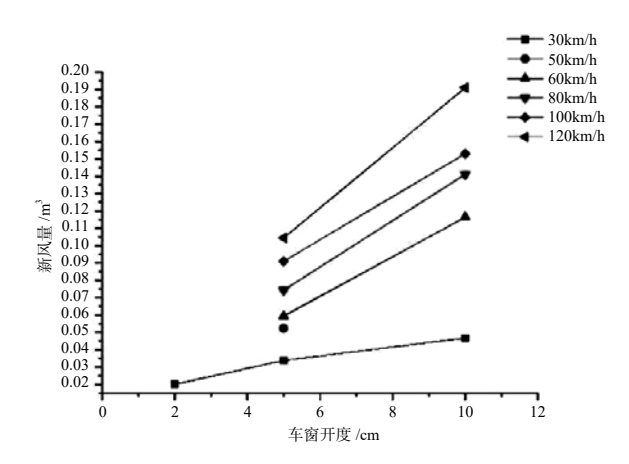


图 8 新风量与车窗开度关系图

小为 10cm 时,后排乘客的平均风速高达 1.23m/s。

此外, 表中还给出了噪声和车速、车窗开度的 关系。由表可以看出行驶速度是噪声大小的最主要 因素, 而车窗开度对噪声的影响相对较小。当车速 由 30km/h 提高到 120km/h 时, 噪声也由 59db 提高 到 75db 以上。

车速	开窗大小	前排平均风速	后排平均风速	噪声
/(km/h)	/cm	/(m/s)	/(m/s)	/db
30	5	0.13	0.22	59
30	10	0.11	0.21	59
50	5	0.15	0.37	65
60	5	0.19	0.32	63
60	10	0.25	0.56	65
80	5	0.19	0.42	68
80	10	0.52	0.70	69
100	5	0.40	0.63	70
100	10	0.49	0.92	71
120	5	0.34	0.56	75
120	10	0.44	1.23	77

表 3 气流速度和噪声表

3 结论与分析

(1) 实验结果显示, 针对行驶状态下的轿车, 利用自然通风是一种经济有效的空气更新手段, 可以有效的防止污染物的积累, 改善车舱内部的 空气质量。车窗开度的大小和行驶速度均对污染 物的排除速度有影响。当轿车在市区内行驶速度 保持在 60km/h 时, 需开窗 5cm 维持 90s 车内的或 开窗 10cm 维持 40s 使 CO, 浓度由 2500ppm 下降 到 1000ppm 以下; 当轿车行驶在高速公路, 车速 120km/h 时则需开窗 5cm 维持 40s 或开窗 10cm 维持 25s 来达到同样的效果。车速和车窗开度的增加会提 高室内的新风量, 当轿车低速行驶时, 需增加车窗 开度来提高新风量。

- (2) 当开启前排车窗时,后排乘客面部的气 流速度要明显大于前排乘客, 当车速高于 50km/h, 车窗开度大于 5cm 时,后排乘客即有强烈的吹风感 (> 0.25m/s); 当车速大于 60km/h, 车窗开度大于 10cm 时,前排乘客有吹风感。车速是影响车内噪声 的主要因素, 当车速为120km/h, 车窗开度为10cm时, 最大噪声可达 77db。
- (3)由于本实验建立一个无外界风速影响的环 境下,但即使外界风速不超过 1m/s,对实验结果仍 有一定的干扰, 且外界风速并不稳定, 可能给本次 实验造成一定的误差。同时,本次实验并不完全等 同于实际的路面情况,后者会有更复杂的行驶状况, 如行驶速度不稳定,外界风速大小不稳定等,都会 对轿车的通风能力有一定影响。

参考文献

- [1] 人民网《2017年一季度全国机动车保有量突破3 亿》(http://society.people.com.cn/n1/2017/0418/c1008-29217348.html).
- [2] 林泽键,张淑娟空调公交车内影响空气品质的机 理研究[J/OL]环境污染与防治, 2007(2)09:1-9.
- [3] 陈焕新. 空调列车室内空气品质与气流组织的研 究 [D]. 武汉: 华中科技大学, 2002.
- [4] 中华人民共和国卫生部. 室内空气质量标准 (GBT 18883-2002) [S]. 北京: 中国标准出版社, 2002.
- [5] Coley D A, Greeves R, Saxby B K. The effect of low ventilation rates on the cognitive function of a primary school class[J]. International Journal of Ventilation, 2007, 6(2):107-112.
- [6] Shendell D G, Prill R, Fisk W J, et al. Associations between classroom CO2 concentrations and student attendance in Washington and Idaho[J]. Indoor air, 2004, 14(5):333-341.
- [7] 中华人民共和国道路交通安全法 [M]. 北京: 中国 人民公安大学出版社 .2003.
- [8] 国家质量技术监督局. 公共场所空气中二氧化碳 测定方法(GBT 18204.24-2000)[S]. 北京: 中国标 准出版社.2011.
- [9] Qi M W, Li X F, Weschler L B, et al. CO₂ generation rate in Chinese people[J]. Indoor air, 2014, 24(6):559-566.
- [10] 陆亚俊主编 . 暖通空调 [M]. 北京:中国建筑工 业出版社.2015, 200-202.
- [11] 孙一坚, 沈恒根编著. 工业通风 [M]. 北京: 中 国建筑工业出版社 .2010.186-191.
- [12] 朱颖心. 建筑环境学 第 4 版 [M]. 北京: 中国建 筑工业出版社 .2016.110-112.

通风窗送风量与气流组织形式 对教室内空气污染物净化效率的影响研究

天津市制冷技术重点实验室 天津商业大学 金梧凤 毕晨 刘新明

摘 要: 近年来我国的空气污染问题越来越引起人们的重视,考虑到青少年儿童健康成长的要求,学校教室的空气质量尤为重要。通风窗可以很好地提高住宅房间中的室内品质,但对于能否满足教室的需求还需要进一步的研究。本文根据我国对中小学教室建筑规范和中小学教室空气质量要求的规定,通过实验方法研究通风窗送风量与气流组织形式对教室内空气污染物净化效率的影响,为通风窗在教室的应用提供理论参考。实验结果表明,开启通风窗能够有效降低室内 PM_{2.5} 浓度,且风速越大,室内各测点的 PM_{2.5} 浓度越低,但是不足够满足 CO₂ 浓度的要求,且送风风速对于 CO₂ 浓度的影响较小,较高送风速度仅能够略微延迟 CO₂ 浓度超出标准值的时间,通风窗在教室的应用情况下应对 CO₂ 的净化要求做进一步的改进。气流组织方面合理的送排风组合能够有效的降低室内污染物浓度有排风的方案能够使室内 PM_{2.5} 浓度下降速率提高约 30%,室内 CO₂ 浓度上升速率降低 47.83%。

关键词:通风窗;送风量;气流组织形式; PM,5; CO,

0 引言

自 2013 年以来,中国北部和东部地区频发雾霾 天气空气中 PM,5颗粒物浓度严重超标,雾霾天气严 重危害到了人们的生活环境和身体健康。其中中小 学生的健康问题更是重中之重。学校是学生们的主 要活动场所之一,由于人员密集,室内CO,浓度较高, 如 Zs^[1] 对英格兰小学教室空气质量的监测, CO₂浓 度可达 5000ppm, 远远超出限值浓度 1500ppm, 需 要补充新风稀释降低其浓度, 陈威威对北方地区高 校教室内空气品质的研究表明, 当教室处于上课状 态时, 面积为135m2、105m2、60m2的教室内CO, 的平均浓度均高于国家标准(1500ppm),分别是 国家标准的 3.65 倍、3.01 倍、2.92 倍,产生这种状 况的主要原因是室内人员密度过高, 通风不畅造成 CO2浓度严重超标^[2]。目前我国中小学校教室的通 风大多为开门窗自然通风,在雾霾日趋严重的今天, 自然通风在降低 CO。浓度的同时, 大量的大气污染 物也会被送入室内,不能满足教室空气质量的要求。

通风窗是在窗户的基础上加入机械或者自然通风,如通过安装在窗框里的风机提供送排风的动力实现室内外空气交换并净化新风^[3-4]。国内很多学者对通风窗对室内空气品质的影响进行了研究:魏景姝以 CO₂ 浓度为评价指标,采用模拟软件 CONTAM 研究了哈尔滨某住宅自然渗风和双气流通风窗对室内空气品质的改善效果。研究表明,自然渗风无法满足室内空气品质的需求,通风窗能够提供稳定的通风量,可有效改善室内空气品质^[5]。申健平对双向通风窗这一产品的运行模式和产品系列化等后续

工作进行了研究。以室内 CO_2 浓度为参考,实验测试了单独送风模式、双向通风模式、单独排风模式对室内空气品质的改善效果。研究表明三种通风模式均能有效降低室内 CO_2 浓度,其中单独送风模式效果最好 60 等等。

虽然目前对于通风窗的已经有了较为完备的研究,但是对于通风窗的实际应用方面的研究还有些不足。本文立足于中小学教室对于空气品质的要求,实验研究了通风窗的不同送风速度与气流组织对室内空气品质的改善效果,为通风窗在中小学教室的应用建立理论基础。

1 实验平台

1.1 实验室

本实验在建筑节能综合实验台上进行,室外环境模拟室的具体尺寸为 $3.61m\times2.0m\times2.4m$ (L×W×H),测试房间的尺寸为 $3.61m\times3.12m\times2.4m$ (L×W×H),如图1。

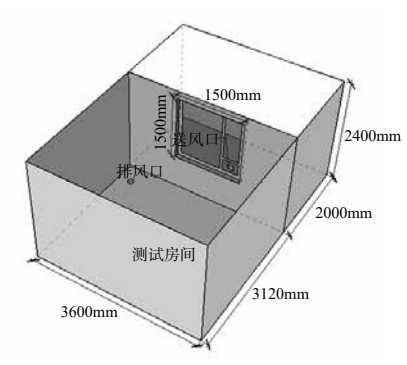


图 1 实验室结构示意图

本实验台测试房间和室外环境模拟室的温度 和污染浓度均可控。测试房间用来模拟真实的教室 环境。室内初始温度控制在18℃、室外温度控制 在-11℃。测试房间四面墙体、地板及屋顶均采取 保温措施,测试房间门为保温密封门。

1.2 诵风窗的选取

本研究中的通风窗为某公司所研发的新型通风 窗,其最大风量可达 70m³/s,但受噪音及风机等因 素的限值,其风量仍有欠缺,通风窗参数如表1, 尺寸为 150mm×150mm×900mm, 由于其安装是在原 有窗的基础上截去一部分玻璃,将通风器安装进去, 主要由上窗框承担重量, 窗玻璃基本不承重。该通 风窗占用部分窗玻璃,且破坏了窗玻璃密闭性,但 由于本身面积相对较小,安装后可再次密封,因此 不影响采光要求, 窗玻间仍可以充斥惰性气体以降 低外窗能耗。工作原理如图 2。

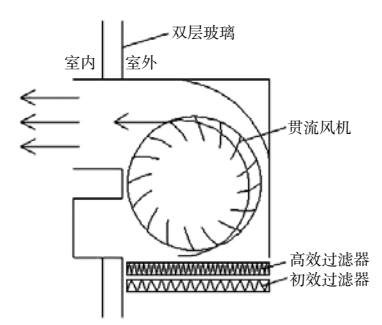


图 2 通风窗工作原理图 表1 通风窗性能参数

模式参数	低档	高档	自动档					
送风量 (m³/h)	30	30 60 50 ($PM_{2.5} > 75 \mu g/m^3$						
送风速度(m/s)	0.73	0.73 1.46 1.22						
单台适用面积	<	35m² (湯	購足 0.5h⁻¹ 的换气要求)					
噪声 (dB(A))	≤ 35	≤ 42	≤ 42					
过滤效率	> 95%							
	12	23	12~23					

1.3 试验方法及仪器

根据国家 GBJ99-86《中小学建筑设计规范》和 GB 50099-2011《中小学校设计规范》的规定,以及 周攀攀 [7] 对学校课桌椅的设计研究,设计本实验台 及模拟相关参数,测试房间面积为11.4m²,因此人 员设定为9人,作为CO2释放量。

根据团体标准《新风净化系统施工质量验收规 范》(T/CAQI 25-2017)、《中小学教室空气质量 测试方法》(T/CAQI 26-2017)、《中小学教室空 气质量规范》(T/CAQI 27-2017)规范规定,小于 60m²的教室设一个点,大于60m²的教室设两个点。

测点及采样点均匀布置在教室中线或对角线上。同 一个测试项目的多个测点或采样点应同时测量,因 此本实验浓度测点选取图 3 中 1、6 测点,分别为距 离通风窗最近的区域和最远的区域。

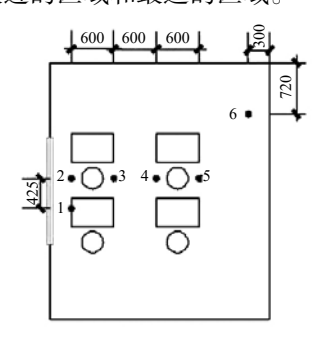


图 3 温度及浓度监测点布置图

CO, 的测试利用 CO, 释放系统(如图 4)向室 内释放定量的浓度,小学生每人每小时可呼出12升 CO, 控制流量计释放 CO, 流量为 2L/min。测试利 用 TELAIRE 二氧化碳检测仪, 温湿度使用 HOBO 温湿度记录仪(如图 5)。室内初始 CO2 浓度根据 金艳伶等[8] 对小学教室 24 小时测试的最小值而定, 约 0.05%, 即 500ppm。

PM25 的测试利用香烟燃烧来控制室外 PM25 浓 度维持在 300μg/m³, 室内只控制其初始浓度与室外 浓度相当的浓度, 使用 Dust Trak 8530 气溶胶检测 仪(如图7)。



图 4 CO₂ 释放系统



图 5 CO, 浓度及温湿度探测器



图 6 空气质量检测仪



图 7 气溶胶分析仪

温度的测试使用数据采集器采集。具体实验仪器如表 2。

キっ	か水川	명막 미디	/_ ±
表 2	实验仪	态明	细衣

仪器名称	用途	测点数	测量范围	测量精度				
MX100 数据采集器	围护结构内 表面温度	43	每隔 60s 采集一次					
Dust Trak 8530 气溶胶检测仪	测量室内 PM _{2.5} 浓度	2	0.001~150mg/m ³	± 0.002 mg/m ³				
Dust Trak 8520 气溶胶检测仪	监测室外 PM _{2.5} 浓度	1	0.001~100mg/m ³	± 0.001 mg/m ³				
二氧化碳传感器	测量室内 CO ₂ 浓度	2	0-4000ppm	±20ppm				
HOBO 温湿度记录仪	室内四处浓度 监测点温湿度	2	实时同时监测温湿度 每隔 60s 采集一次					

2 实验内容

根据团体标准《新风净化系统施工质量验收规范》(T/CAQI 25-2017)、《中小学教室空气质量测试方法》(T/CAQI 26-2017)、《中小学教室空气质量规范》(T/CAQI 27-2017)规范规定,中小学教室空气质量规范》(T/CAQI 27-2017)规范规定,中小学教室空气质量的测试,应在空调采暖系统正常运行、门窗关闭、室内正常教学,相关通风系统正常开启 1h 后进行。教室内二氧化碳(CO₂)、可吸入颗粒物(PM_{2.5})、臭氧(O₃)浓度的测定,应在有人工况下进行。至少连续测试 1 个小时,包含 1 节完整课时 45min、课间 10min 和后节课时 5min。有人工况测试时,上课期间,门、窗关闭,下课时,门可以随意开启,不得开窗,因此本文总实验测试时间定为 60min。具体工况如表 3 所示。

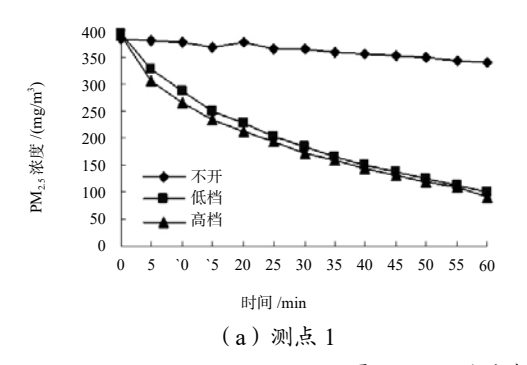


图 8 不同送风速度下室内 PM_{2.5} 浓度随时间变化图

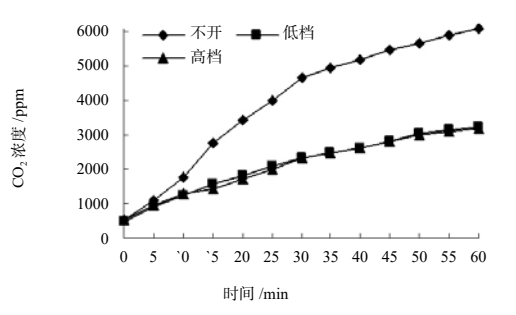


图 9 不同送风速度下室内 CO₂ 平均浓度随时间变化图

表 3 通风窗测试工况

		室内			外		送风时间	
工况	PM _{2.5} /(μg/m ³)	CO ₂ /ppm	温度 /℃	$PM_{2.5} / (\mu g/m^3)$	温度 /℃	送风方式	/min	
1	384	500		300		高档	60	
2	384	500	22~25	300	.,	低档	60	
3	384	500	22~23	300	-11	低档+排风	60	
4	384	500		300		不开	60	

3 实验结果分析

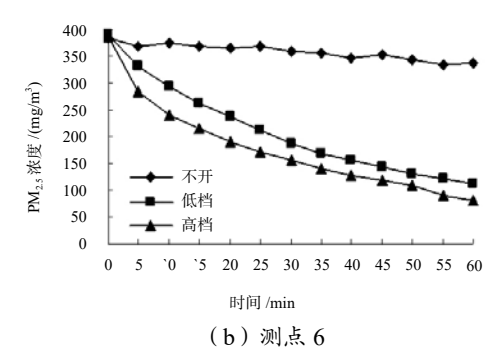
3.1 不同送风速度

图 8 是 室 外 浓 度 $300\mu g/m^3$, 室 内 初 始 浓 度 $384\mu g/m^3$, 送风角度 90° 时,不开、低档、高档工况下,室内测点 1 和 6 的 $PM_{2.5}$ 随时间的变化情况,测试时间 60min。

图 9 是室内初始浓度 500ppm 时,不开、低档、高档工况下,室内 CO_2 随时间的变化情况,测试时间 $60min_o$

表 4 是不开、低档、高档及低档加排风工况下, 浓度下降速率表。

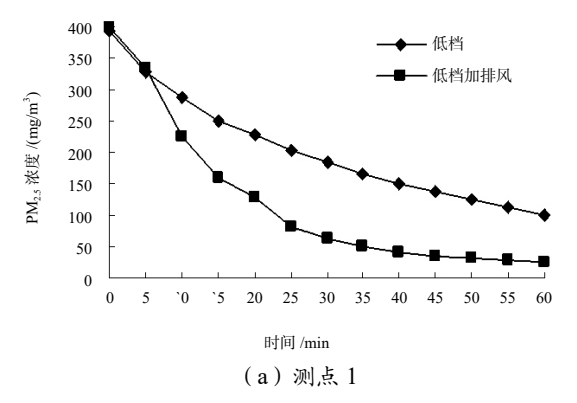
由图 8、9 及表 4 可以看出, 开启通风窗能够有效降低室内 PM_{2.5} 浓度和 CO₂ 浓度, 且风速越大,室内各测点的 PM_{2.5} 浓度越低,尤其是对距离风口较远点的影响更为明显,60min 时,对于测点 1 高档相对于低档浓度下降速率提高 1.63%,而对于测点 1 高档相对于低档浓度下降速率提高 9.68%。而送风风速对于 CO₂ 浓度的影响较小,较高送风速度仅能够略微延迟 CO₂ 浓度超出标准值的时间。



随时 间 变化图

表 4 不同送风速度和气流组织条件下 60min 内浓度下降速率

污染物	时间	不开		低档		高档		加排风			
	印印	测点 1	测点 6								
PM _{2.5}	60min	0.72	0.80	4.92	4.65	5.00	5.10	6.27	6.12		
F 1VI _{2.5}	40min	0.73	0.93	6.15	5.85	6.20	6.43	9.00	8.80		
	60min	-9	-93		-46		-45		-24		
CO ₂	40min	-1	17	-:	-53		-53		-35		
	超出限 值时间	9	9	1	5	16		24			



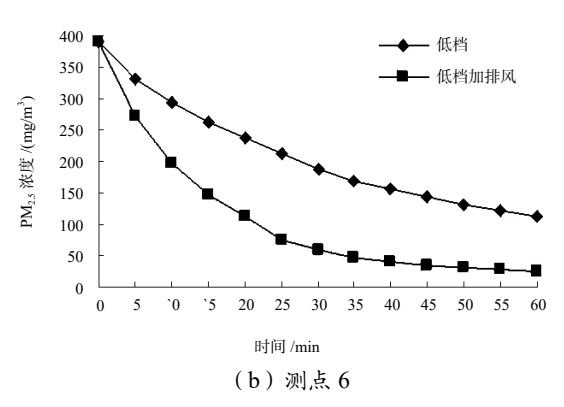


图 10 不同气流组织下室内 PM₂₅ 浓度随时间变化图

3.2 不同气流组织方式

图 10 是室外浓度 300μg/m³, 室内初始浓度 384μg/m³ 时,仅低档送风和抵挡加排风工况下,室 内测点 1 和 6 的 PM_{2.5} 随时间的变化情况,测试时间 60min

图 11 是室内初始浓度 500ppm 时,仅低档送风 和抵挡加排风工况下,室内CO。随时间的变化情况, 测试时间 60min。

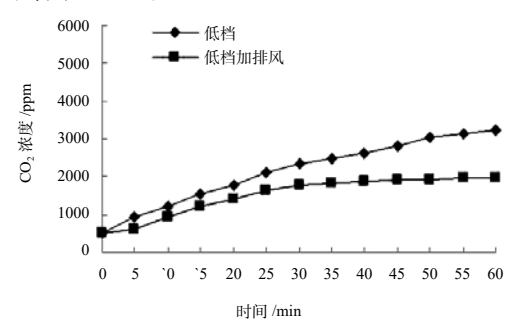


图 11 不同气流组织下室内 CO。平均浓度随时间变化图

根据图 10 和 11 可以看出, 合理的送排风组合 能够有效的降低室内污染物浓度,且降低效果明显。 根据表 4 可以看出, 60min 时对于测点 1 和测点 6 加排风方案能够使室内 PM25 浓度下降速率分别提 高 27.44% 和 31.61%, 室内 CO2 浓度上升速率降低 47.83%,超出限值浓度的时间延长60%,由此可以 看出适当的气流组织能够非常有效的控制室内污染 物浓度。

4 结论

本文通过实验的方法对通风窗的不同送风量与 气流组织形式对教室内空气污染物净化效率的影响, 得到了以下结论:

(1)开启通风窗能够有效降低室内 PM₂₅浓度, 且风速越大,室内各测点的 PM25 浓度越低,尤其是 对距离风口较远点的影响更为明显。

- (2) 送风风速对于 CO2 浓度的影响较小, 在 现有的通风窗设备中,较高送风速度仅能够略微延 迟 CO, 浓度超出标准值的时间, 并不能够达到教室 CO。的浓度要求,为了满足在教室的实际应用还需 要结合教室的CO。浓度的要求做进一步改进。
- (3) 合理的送排风组合能够有效的降低室内 污染物浓度, 且降低效果明显, 室内 PM25 浓度下 降速率提高约30%,室内CO₂浓度上升速率降低 47.83%, 近乎可以维持室内 CO,浓度不再上升, 合 理的送排风组合比只是增加送风量对室内 CO2 的净 化效果更好。

参考文献

- [1] Zs. Bakó-Biró, D.J. Clements-Croomea, N. Kochhar, H.B. Awbi, M.J. Williams. Ventilation rates in schools and pupils' performance. Building and Environment, 2012, 48:215-223.
- [2] 陈威威. 北方地区高校教室内空气品质研究. 哈 尔滨工程大学,2007.
- [3] P D. R. and Klimaatgevel M.. The chameleon skin (in Dutch). Proceedings of Facade en Klimaat[M]. Delft, 1998:6.1-6.12.
- [4] Liddament M.W.A guide to energy efficient ventilation Warwick. Air Infiltration and Ventilation Centre. 1996.
- [5] 魏景姝, 赵加宁, 陈清焰. 双向通风窗对室内空气 品质的改善[J]. 建筑科学, 2011, 27(2):107-110.
- [6] 周怀改. 通风对建筑物室内污染物浓度分布的影 响 [D]. 重庆大学 .2007.
- [7] 申健平. 双向通风窗的产品系列化及运行模式的 实验研究 [D]. 哈尔滨:哈尔滨工业大学, 2010.
- [8] 周攀攀. 小学课桌椅设计研究综述 [J]. 艺术与设 计(理论),2016,2(10):119-121.
- [9] 金艳伶,郑雪倩,贾予平,等.北京市城区两所学 校教室内二氧化碳浓度检测结果分析 [J]. 中国卫生 法制,2015,2(6):62-67.

直膨式多联机辐射空调的舒适性研究

广西大学 胡映宁 张淑凤

摘 要:实验研究了直膨式多联机辐射空调在人工模拟气候环境下冬季采暖、夏季制冷及除湿工况下的舒适性和能耗特点。结果表明,采暖工况,辐射+新风模式在室内同一时刻的温差均低于2.5℃,达到室内设定温度25℃的时间约2~3h;制冷工况,辐射+新风模式在室内同一时刻的温差在0.5℃~2℃左右,达到室内设定温度26℃的时间约1h~3h左右。新风模式下室内同一时刻的温差和响应时间相比辐射+新风模式略大。新风的冷冻除湿效果明显,除湿新风含湿量在6.2~10.7g/kg之间,除湿效率可达50%。

关键词:辐射空调;温差;响应时间;除湿;舒适性

0 引言

辐射空调因其具有良好的热舒适性及节能性而 越来越受重视,各国学者对辐射空调的运行性能进 行了大量研究。

Song D 等[1] 通过实验和仿真研究了地板辐射在 韩国某公寓的制冷运行特性,系统采用水做冷媒, 结合除湿通风系统能够一定程度改善结露和响应。 隋学敏等[2]实验测试了昆山某别墅地板辐射采暖+ 新风系统的冬季运行特性,由于地板采暖惰性较大, 从 15℃ 升到 23℃ 约用了 170min, 夏季制冷时需采 用辐射吊顶+新风系统。辐射地板采暖能节约能源 并有较好的舒适性,但制冷时易结露,且系统惯性 较大、响应时间长,需采用多套系统才能得到合适 的舒适度。明锦等[3]通过实验研究了微孔金属辐射 顶板在株洲冬季时的热舒适性,发现水温较高时系 统的使用范围更广,系统开机 160min 才能达到舒适。 唐凯等[4]测试了辐射吊顶+置换通风系统在冬季供 暖时的热舒适性,系统以水为循环液体,能提供较 舒适的室内环境, 但是系统温升较慢且惰性较大。 娄载强等^[5] 通过实验与模拟对顶棚辐射制冷室内温 度分布进行研究,结果表明室内基本温差在3℃内。

本文针对传统辐射板应用中存在的问题,提出

图 1 实验平台示意图

一种新型直膨式多联辐射空调能用于采暖、制冷和除湿工况,系统采用 R410A 做冷媒,采用课题组自主设计的辐射板结构,可有效防止结露和制冷量不足等问题。在人工模拟气候环境分别研究新风模式、辐射模式及辐射+新风模式在冬季采暖和夏季制冷工况下系统的运行特性,并通过实验研究系统在各工况下室内温度分布均匀性,得到在不同外环境时最合适的控制模式。

1 实验平台

1.1 实验平台简介

实验平台由两部分嵌套而成,外部是人工模拟气候环境室(简称大房间),里面嵌套内部实验室(简称小房间),东墙开门,所有墙体和门均采用80mm厚的聚酯保温材料制成。大房间由常规空调提供一个温湿度可控且不受外界影响的实验环境(温度调节范围:-20℃~55℃,相对湿度可由实际相对湿度加湿到90%以上);小房间由一台三匹的多联主机和辐射板、新风机和风机盘管末端组成(末端均可单独控制),空调系统采用的冷媒为R410A。实验平台整体示意图如图1所示。

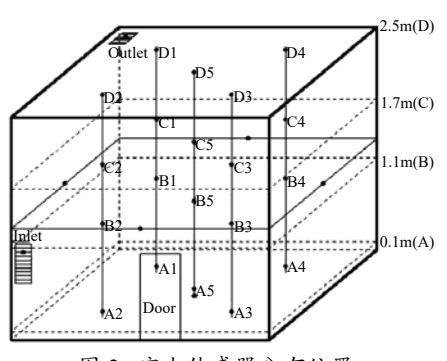


图 2 室内传感器分布位置

1.2 测试参数和实验仪器

本次实验主要研究在不同模拟室外温度环境下 室内的舒适度和能耗。测试参数主要包括室内空气 温度、各平面温湿度、围护结构温度、新风机进回 风温湿度、辐射板温度、室外空气温湿度、空调系 统的耗电量和功率。实验每隔 1min 采集一次,为减 少误差, 采用多点测量取平均值的方法。测试仪器 主要有 PT100 温度传感器、温湿度变送器、多路温 湿度无纸记录仪、电能质量分析仪,测试仪器具体 参数见表 1。

表 1 测试仪器参数

仪器名称	使用范围	精度
PT100 温度传感器	温度: -200~+200°C	0.5°C
温湿变送器	温度: −20~80°C/ 湿度: 0~100% RH	±0.4°C/±3%RH
温湿度无纸记录仪	温度: -50~400℃/湿度: 0~100%RH	0.1°C/0.1%RH
电能质量分析仪	相电压: 0~1000V/ 电流: 100mA~500A	0.01V/0.01mA

为研究辐射空调在小房间的运行特性,分别在 0.1m、1.1m、1.7m 水平面,室内进、回风口布置温 湿变送器, 在 2.5m 平面、墙体和地面布置 PT100 温 度传感器。其中 0.1m、1.1m、1.7m、2.5m 四个水平 面分别用A、B、C、D表示,每个平面布置5个传 感器(1、2、3、4、5),墙体和地面的传感器置的 具体位置见图 2。

1.3 实验工况

实验研究的所有工况见表 2, 室内辐射空调共 有三种模式,即辐射+新风模式(RCS+DOAS)、 辐射模式(RCS)和新风模式(DOAS)。采暖工况 和制冷工况模拟室外湿度不进行处理, 除湿工况采 用超声波加湿器使室外湿度在85%左右,实验测试 系统从开机到稳态各工况下测试点的温、湿度,巡

RCS+DOAS Model (Outdoor Temp: -10~-6°C)

30 25 20 10 - 1.1m - 1.7m 5 12 14 16 18 20 time/h

(a) 竖直方向温度分布

检仪每1分钟记录一组数据,电能质量分析仪也逐 时记录主机的功率和耗能。

表 2 实验工况

工况	室外模拟 环境温度 /℃	室内开启工况
1~2	-10~-6, 0~4	采暖:辐射+新风模式
3~5	9~12	采暖:辐射+新风模式、辐射模式、新风模式
6~7	13~16、21~24	新风模式
8	30~33	制冷:辐射+新风模式
9~11	36~39	制冷:辐射+新风模式、辐射模式、新风模式
12	42~46	制冷:辐射+新风模式

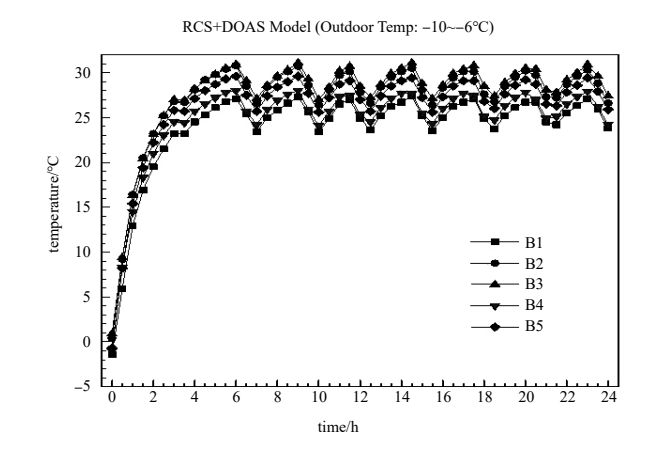
2 实验结果分析

实验每个工况运行24小时,每分钟自动记录一 次各测试点的温湿度,以半小时为间隔取点形成实 验曲线进行分析。每一次工况测试之前, 先开启人 工模拟气候环境的空调设备, 使室外模拟温度达到 设置的温度范围,并开始记录室内的温湿度变化。 竖直方向分别取 0.1m、1.1m、1.7m、2.5m 平面 5 点 的平均温度作为该平面的温度,水平面主要研究1.1m 水平面5点的温度分布情况。

2.1 采暖工况室内温度分布

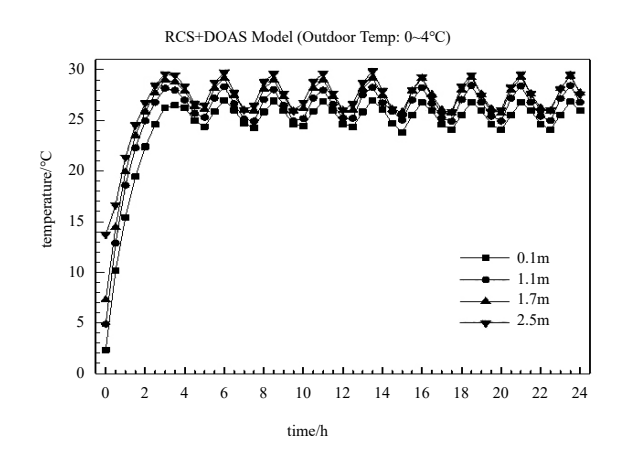
图 3 为人工模拟气候环境温度 -10~-6℃ 时开 启辐射+新风时室内温度分布情况,系统开机 3h 室 内空气温度从-5℃左右升到25℃以上,稳定后周 期波动开停机时间分别为 2h 和 1h, 竖直方向平均 温差和 1.1m 水平方向温差在 2.5℃ 左右。系统响应 较快,温差较小,温度分布在舒适度要求范围。

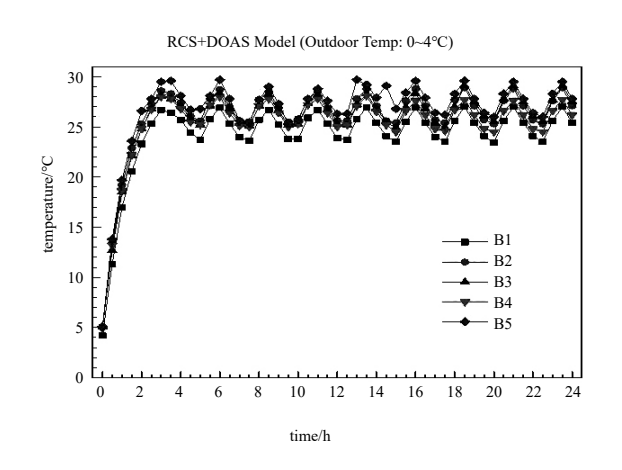
图 4 为环境温度 0~4℃ 时开启辐射 + 新风时室 内温度分布情况,系统开机 2.5h 室内温度从 4℃ 左 右上升到 25℃ 以上, 达到稳态后周期开停时间分别



(b) 1.1m 水平面温度分布

图 3 采暖工况 (-10~-6℃) 辐射+新风模式室内温度分布

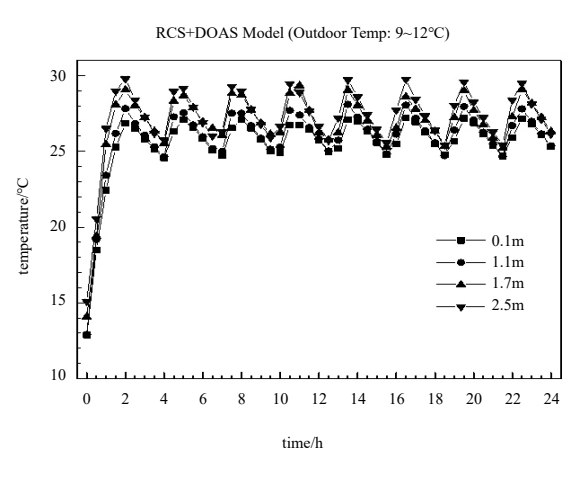


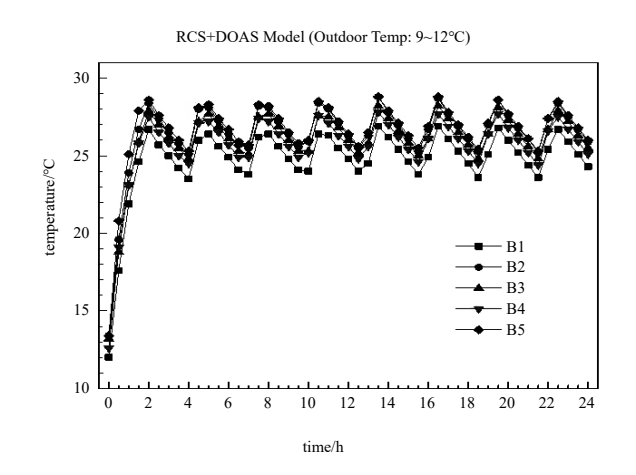


(a) 竖直方向温度分布

(b) 1.1m 水平面温度分布

图 4 采暖工况 (0~4℃) 辐射+新风模式室内温度分布

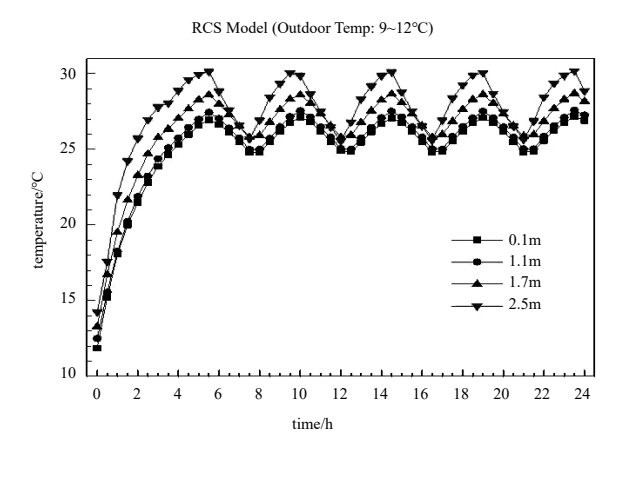


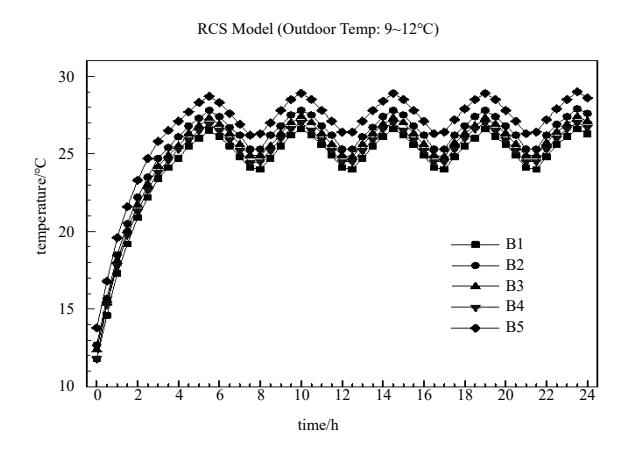


(a) 竖直方向温度分布

(b) 1.1m 水平面温度分布

图 5 采暖工况 (9~12℃) 辐射+新风模式室内温度分布





(a) 竖直方向温度

(b) 1.1m 水平面温度分布

图 6 采暖工况 (9~12℃) 辐射模式室内温度分布

为1h和1.5h,竖直方向和1.1水平方向温差均在1.5℃ 左右, 竖直方向 2.5m 平均温度略高, 1.1m 处 B1 点 由于远离辐射板和进风口温度略低。

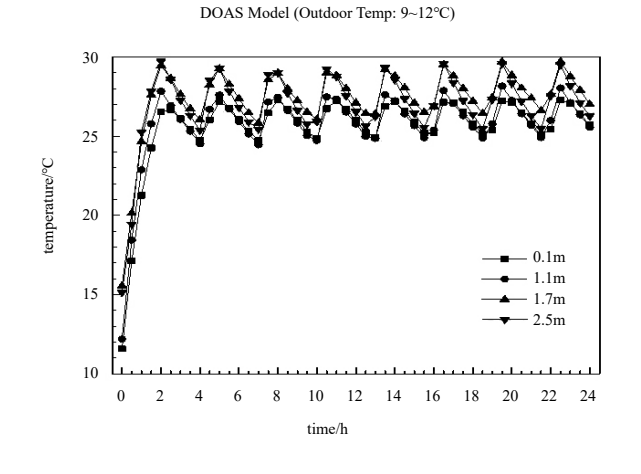
图 5 到图 7 为人工模拟气候环境温度为 9~12℃ 时分别开启辐射+新风模式,辐射模式,新风模式 时室内温度变化图。图 5 为辐射+新风模式系统开 启不到 2h 室内温度从 11℃ 左右上升到 25℃ 以上. 达到稳态的峰值,之后周期开停时间分别为 1h 和 2h, 竖直和 1.1 水平方向温差均在 1.5℃ 左右。

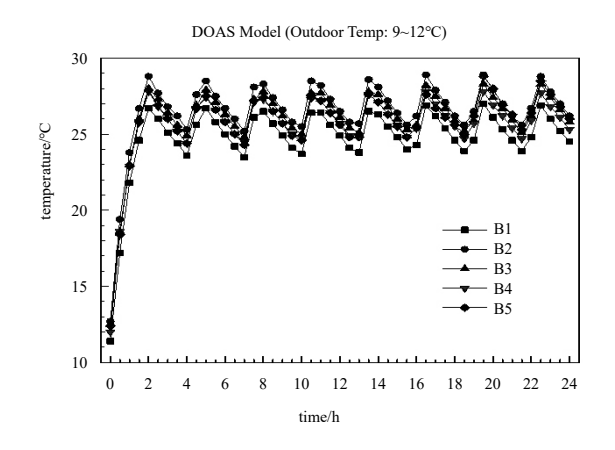
图 6 辐射模式时室内 5h 从 11.5℃ 升到 25℃ 以 上达到稳态峰值, 开停机时间分别为 2h 和 2h, 竖 直方向2.5m水平面温度比其他平面平均温度高1.5℃ 左右, 0.1m 到 1.7m 温差在 1.5℃ 左右, 1.1m 水平 方向温差大于 3℃, B5 由于在辐射板正下方温度较 高。

图 7 新风模式室内温度从 11℃ 上升到 25℃ 用 时 2h 左右, 之后周期开停机时间分别为 1h 和 2h, 竖直方向和1.1m水平方向温差均在1.5℃以内,1.1m 水平面 B2 由于靠近进风口温度略高。在该人工模拟 气候环境温度下,除辐射模式响应较慢,温差较大, 达不到舒适性要求,其他两种响应较快,温差较小, 在舒适度要求范围。

图 8 为采暖工况人工模拟外环境为 13~16℃ 时 开启新风采暖模式室内温度的分布情况, 开机不到 2h 就可以达到设定温度 25℃ 以上, 达到稳态后周 期开停时间分别为 1h 和 3h, 室内竖直方向和 1.1m 水平面的温差均在2℃以内,室内温度分布均匀, 满足舒适性要求。

由图 8 可知采暖工况下, 随人工模拟气候环境 温度的上升,辐射+新风模式的室内空气温差略有

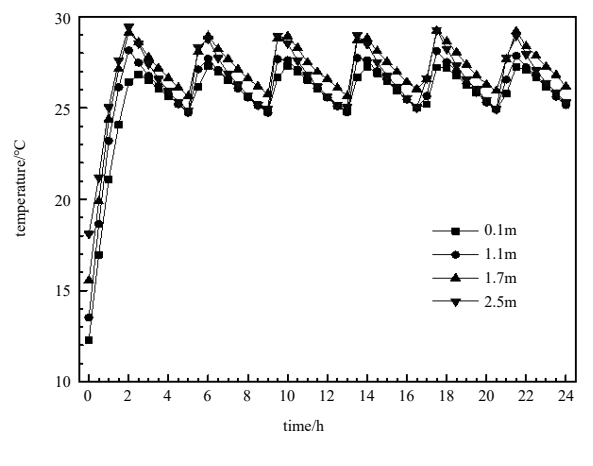


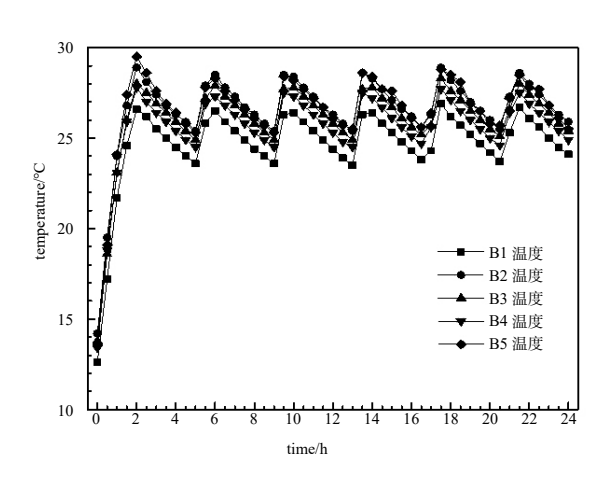


(a) 竖直方向温度

(b) 1.1m 水平面温度分布

图 7 采暖工况 (9~12℃) 新风模式室内温度分布





(a) 竖直方向温度

(b) B 水平面温度(1.1m)

图 8 采暖工况(13~16℃)新风模式室内温度分布

下降,模拟室外温度在 -10~-6℃时,室内温差最高,模拟室外温度在 0℃以上的采暖工况室内温差基本低于 2℃,室内温度分布均匀。新风模式在模拟室外温度 9℃以上室内总体温差均在 3℃以内,随室外温度降低室内温差增大;辐射模式室内温度分布最不均匀。

2.2 制冷工况室内温度分布

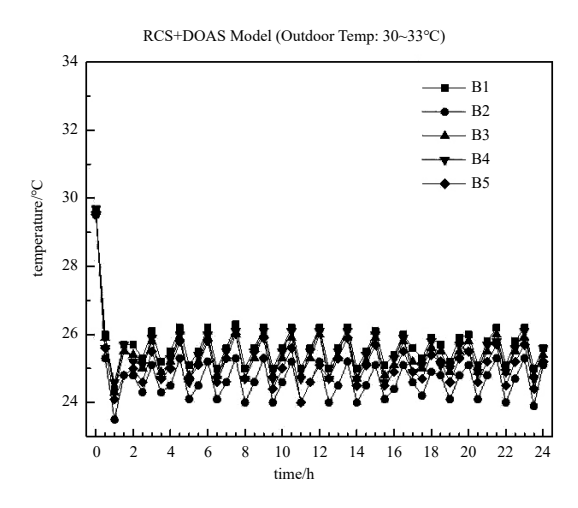
图 9 为制冷工况人工模拟气候环境温度为30~33℃时开启辐射+新风模式室内的温度变化图,系统经过大约 1h 到达稳态,室内温度从 30℃ 降到 26℃以下,之后室内温度稳定波动,竖直方向 2.5m 处由于接近辐射板,在开机后温度下降最快,最低点时比其他点温度低 0.5℃ 左右,0.1m 到 1.7m 活动区域的温差在 1℃内,1.1m 水平面总体温差小于1℃,

(a) 竖直方向温度

室内温度分布均匀。

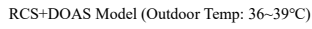
图 10 到图 12 为制冷工况人工模拟气候环境温度 36~39℃时,分别开启辐射+新风模式、新风模式、新风模式在室内竖直方向和 1.1m 水平面的温度变化图。图 10 辐射+新风模式时,系统约 1.5h 达到稳态,室内温度从 34℃降到 26℃以下,之后室内温度稳定波动,竖直方向 2.5m 水平面由于接近辐射板,在开机后温度下降最快,最低点时比其他点温度低 0.5℃左右,0.1m 水平面到 1.7m 水平面活动区域的温差在 1℃左右,1.1m 水平面靠近新风进口 B2 点温度略低,该平面温差约 2℃。

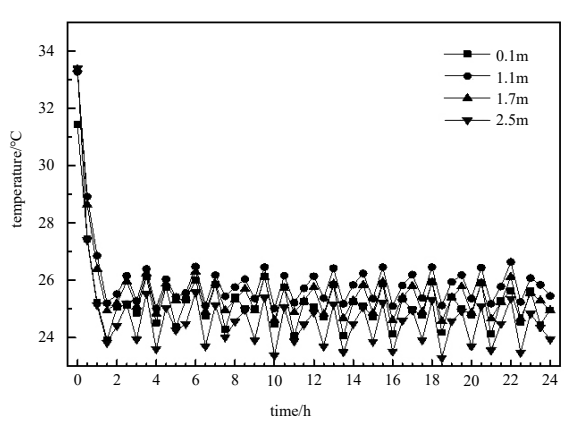
图 11 辐射模式时,系统开启 4h 室内温度从 32.5℃下降到 26℃,之后缓慢降低,竖直方向 2.5m 水平面由于靠近辐射板温度较其他水平面低 1~1.5℃ 左右,0.1m 水平面到 1.7m 竖直方向温差在 1℃左右,



(b) 1.1m 水平面温度分布

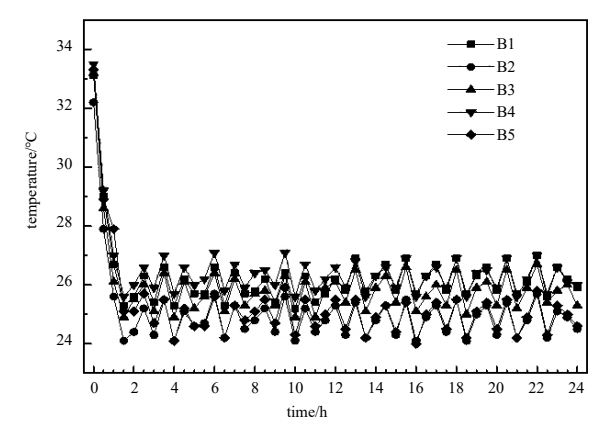
图 9 制冷工况 (30~33℃) 辐射+新风模式室内温度分布





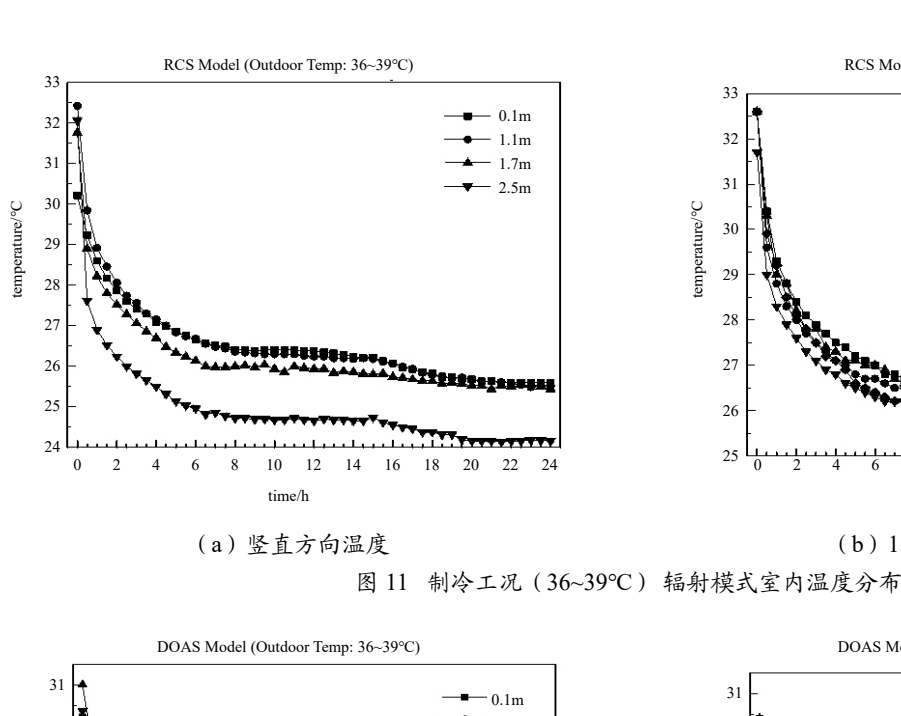
(a) 竖直方向温度

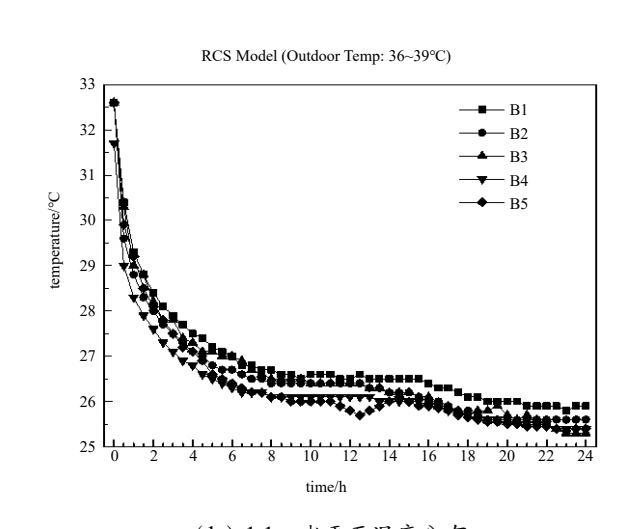
RCS+DOAS Model (Outdoor Temp: 36~39°C)



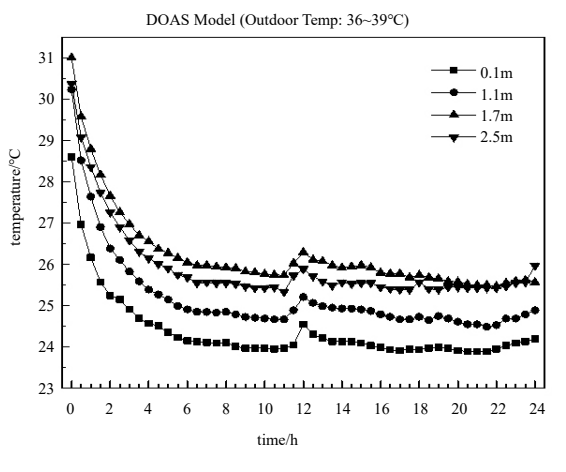
(b) 1.1m 水平面温度分布

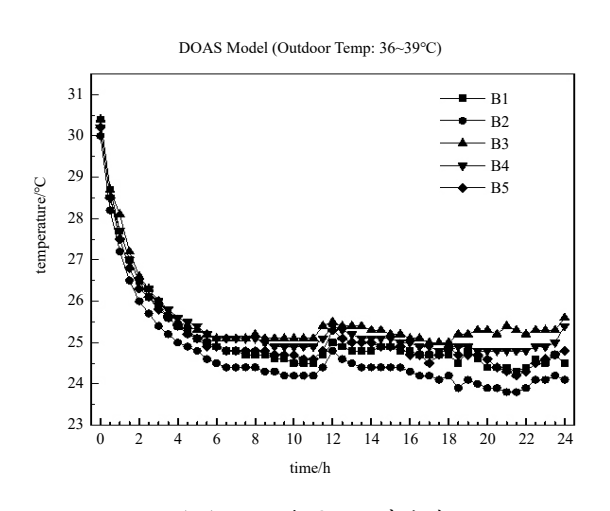
图 10 制冷工况 (36~39℃) 辐射+新风模式室内温度分布





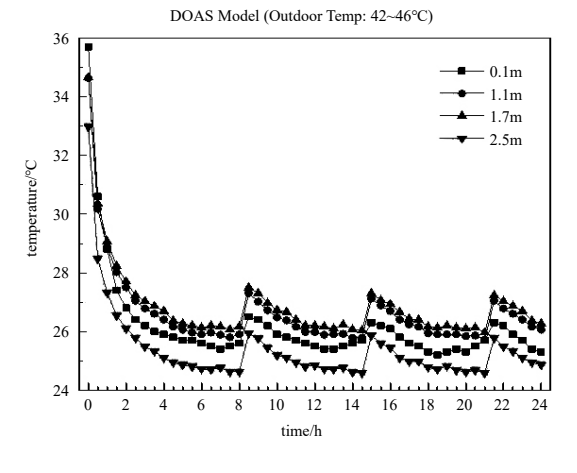
(b) 1.1m 水平面温度分布

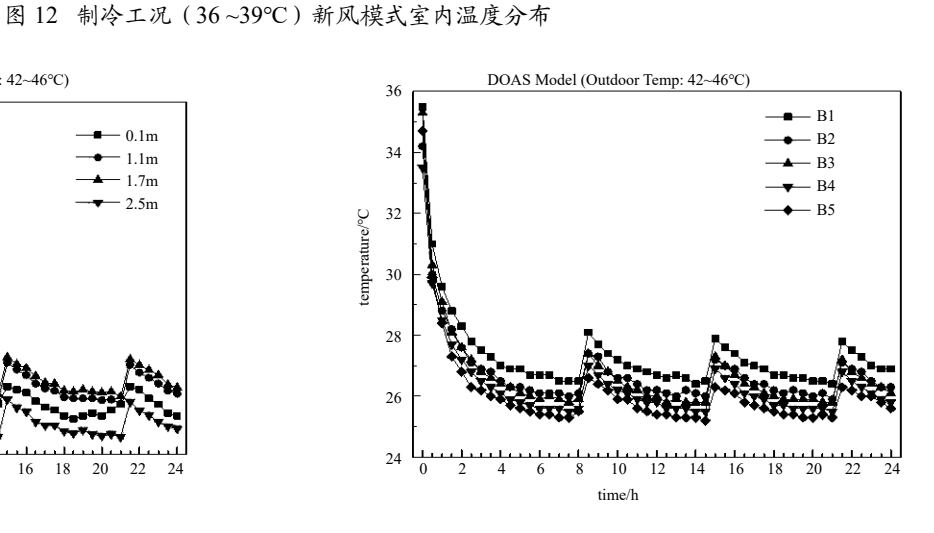




(a) 竖直方向温度

(b) 1.1m 水平面温度分布





(a) 竖直方向温度 (b) 1.1m 水平面温度分布

图 13 制冷工况 (42~46℃) 辐射+新风模式室内温度分布

1.1m 水平面温差在 1℃ 左右。

图 12 新风模式时,系统开机后 3h 室内温度从 31 下降到 26℃ 后缓慢降低,12h 时温度稍微有一点 上升是因为室内开门的原因。竖直方向平均温差在 2℃ 左右,1.1m 水平面温差在约 2℃。

图 13 为制冷工况人工模拟气候环境温度为 42~46℃下开启辐射+新风模式时室内温度变化图, 系统开机 4h 左右室内温度从 36℃ 以上降低到 26℃ 以下,之后在 26℃ 波动。其中 0.1m 平面温度相比 于其他平面低,这是由于新风进口的温度经过冷却 处理,冷空气下沉的原因,竖直方向和 1.1m 水平温 差在 2℃ 左右。

由上图可知制冷工况下,随人工模拟气候环境温度的上升,辐射+新风模式下室内同一时刻的温差呈上升趋势,在模拟室外温度30~33℃,36~39℃、42~46℃时,室内平均温差分别在0.5℃、1℃和2℃左右。在相同的人工模拟气候环境温度下,辐射+新风模式温度分布最均匀,新风模式和辐射模式温差较大。

新风机有冷冻除湿功能,冬季采暖工况和夏季制冷工况的辐射模式的室内和人工模拟气候环境含湿量基本一致,夏季制冷工况和过渡季节除湿工况的新风除湿效果如下表3所示。

工况	人工模拟 室外温度 <i>/°</i> C	控制 方式	室外空气 含湿量 /(g/kg)	除湿量 /(g/kg)	除湿新风 含湿量 /(g/kg)						
制冷	36~39	辐射+新风模式	20.0	9.9	10.1						
	36~39	新风模式	20.5	9.8	10.7						
除湿	21~24	新风模式	14.3	8.1	6.2						

表3 室内新风除湿量

从表 3 可以看出,夏季和过度季节开启工况新风冷冻除湿效果明显,除湿后的室内含湿量在舒适性范围内,实验几种工况的除湿效率在 50% 左右。

3 结论

实验研究了辐射+新风模式在人工模拟气候环境全工况下的运行特性,同时也比较了辐射+新风



模式、辐射模式、新风模式竖直方向和 1.1m 水平面的温度分布均匀性和系统的响应时间,分析制冷和除湿工况系统除湿效果。主要的结论可以总结为如下几点:

- (1) 采暖工况,随人工模拟气候环境温度降低,辐射+新风模式室内竖直方向和1.1 水平面温差呈上升趋势,模拟室外温度在-10~-6℃ 范围内室内同一时刻的温差约2.5℃,当模拟室外温度上升到0℃以上,室内温差在2℃左右。制冷工况时,随人工模拟气候环境温度从30℃上到46℃,辐射+新风模式竖直方向的温差由0.5℃上升到1.5℃左右。总的来说,辐射+新风模式温度分布均匀,室内有较好的舒适性。相比而言,新风模式室内温差略大。
- (2) 采暖/制冷工况时,在相同的人工模拟气候环境下,辐射+新风模式室内温度达到稳定的时间最短,新风模式次之,辐射模式最慢。辐射+新风模式在采暖工况模拟人工模拟气候环境温度-10~-6℃时,达到室内设定温度25℃的时间约3h,当人工模拟室外温度大于0℃时,达到室内设定温度25℃的时间在2~2.5h左右。制冷工况室外环境温度低于40℃时,辐射+新风模式均能在2h内达到室内设定温度26℃,室外环境温度40℃以上时,达到室内设定温度26℃需要3h以上。
- (3)由于新风机有制冷除湿能力,在制冷工况和除湿工况开启新风除湿后,室内空气的湿度能在舒适性范围内,实验工况中新风的除湿效率在50%左右,除湿新风的含湿量在6.2~10.7g/kg左右,在国家规定的舒适范围内。

参考文献

- [1] Song D,Kim T,Song S,et al.Performance evaluation of a radiant floor cooling system integrated with dehumidified ventilation[J]. Applied Thermal Engineering, 2008,28(11–12):1299–1311.
- [2] 隋学敏,张旭,韩星.户式地板辐射采暖+新风系统冬季工况运行性能与分析[J].流体机械,2009,37(3):53-55,5.
- [3] 明锦,李灿. 微孔金属辐射顶板空调冬季热舒适性实验研究 [J]. 建筑热能通风空调,2016(04):9-13.
- [4] 唐凯,周翔,张恩泽,等.辐射吊顶+置换通风系统冬季室内环境舒适性试验研究[J].流体机械,2011,39(8):54-58,86.
- [5] 娄载强, 杨冬, 张云婷, 等. 顶棚辐射供冷房间的温度分布探析[J]. 制冷技术, 2013(3):59-60, 69.

厦门某大厦办公楼标准层空调机房噪音分析及处理

上海建筑设计研究院有限公司 朱喆 何焰 厦门建发集团有限公司 林成凯

摘 要:办公区域的背景噪音值是办公项目的一个重要参数,空调机房往往是办公层的噪声来源。本文主要介 绍了某办公项目从设计到调试, 在标准层噪音控制方面采取的措施、发现的问题和改进的方法。

关键词: 噪音: 办公风量: 建筑隔声: 消声措施

0 前言

在办公项目中, 办公区域的背景噪音高低往往 影响着该项目的品质。在每个标准层设置的空调箱 是办公区域常见的噪声源,必须对这个噪声源和噪 声传播途径进行有效地控制,才能满足室内环境噪 声标准的要求。本文将结合厦门某大厦办公楼项目, 介绍办公楼层空调系统在噪音控制方面发现的问题 和改进的方法,以期对其他项目有所帮助。

1 项目概况

厦门某大厦新建工程是由一栋建筑高度为 215m 的 48 层超高层办公楼和多栋裙房所组成的建筑群, 总建筑面积约 150000m²。办公层的空调系统于 2013 年5月初开始调试及试运行,楼层进入带负荷试运 行阶段时, 空调系统还不能完全自动调节, 只能是 部分手动控制启停和变频。每层标准办公层的建筑 面积约为 1800m², 办公区面积约为 1400m²。标准 层采用单风道 VAV 变风量空调系统,空调箱设置在 各楼层核心筒的空调机房内, 每个空调箱的风量为 42000m³/h, 机外静压为 550Pa。 空调箱由送风机+ 盘管+均流+中效+初效过滤段组成。办公区的气 流组织为上送上回, 回风直接进入吊顶, 由风管从 吊顶吸入空调箱。

2 设计要求

办公区的设计背景噪音标准为≤ 40dBA。为了 防止空调箱运行时机房内的噪声对办公区域环境的 干扰,设计从控制噪声源、振动源和阻断噪声传播 两方面着手。

2.1 声源和振源的控制

设计中优先考虑采取把声源和振源控制在局部 范围内的一系列措施:空调机房墙体采用实心墙, 计权隔声量要求达到 45dBA; 防火隔声门的最小计



图 1 标准层平面

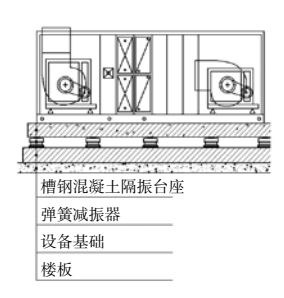


图 4 空调箱减震措施示意图

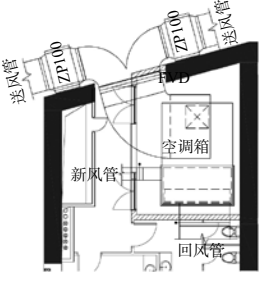


图 2 空调机房平面图

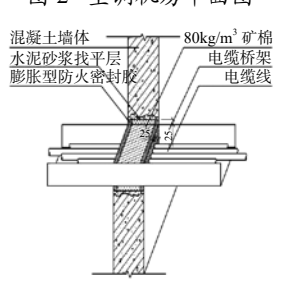


图 5 桥架穿墙措施示意图

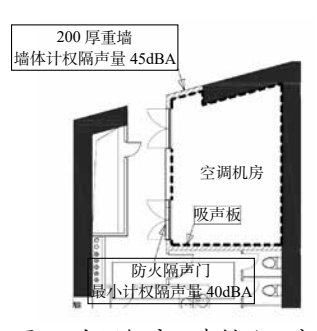


图 3 空调机房隔声措施示意图

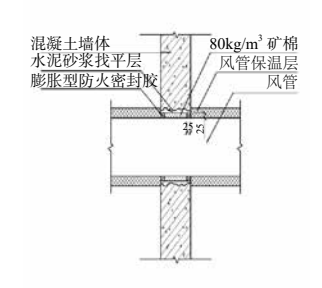


图 6 风管穿墙措施示意图

权隔声量要求达到 40dBA;穿越空调机房墙体的管线均应采取封堵措施;核心筒内空调机房内的空调箱采用弹簧减振器,减振效率 95% 以上。

2.2 空调系统的消声

空调系统的消声主要包括降低管道传播的风机 噪音和合理控制气流噪音两方面的内容。控制气流 噪声的根本措施就是降低风速。本项目标准层空调 系统风管的风速控制要求详见下表:

表1 风道内气流速度的允许值

噪声标准评价	計曲线	风道内气流速度的允许值(m/s)				
NC 或 NR 评价曲线	LA (dBA)	主风管	次风管	房间出风口		
35	40	≤ 7.5	≤ 6.0	≤ 4.0		

空调系统产生的噪声通过风管、弯头和三通等部件以及房间的自然衰减可降低消除部分,但是往往不能满足消声要求,需设置消声装置。经过计算本项目标准层空调系统的送风管和回风管上各需设置一节1400×600×1600(L)ZP100阻性片式消声器方可满足噪声标准。

3 运行状况

在试运行阶段,离空调机房较近的办公人员反映能明显听到空调机房传出的噪声,在办公区和机房内外进行噪声和风量的实测。结果如下:

空调箱电源频率在 50Hz 时,电机电流达到 39~43A,已达到额定值 40A,送风管道上测量的风量为 60000m³/h,超过设计值。电源频率在 30Hz 时电流为 22~23A,实测风量为 42000m³/h。

表 2 34 层噪声实测结果

	实测	实测值		NR 曲线的 A 声	NR 曲线的 C 声	
部位	A 声级 (db)	C 声级 (db)	设计标准 NR 值 (1)	级计算值(1)	级计算值(1)	
机房内	70.9	85.7	NR75	81.7	95.1	
机房外 3m	51	76	NR35	43.7	62.8	
机房外 10m	51	76	INKSS	43.7	62.8	

4 问题分析

4.1 风量偏大

现场测试风量的仪器为比托管,测得风量为60000m³/h,但是由于送风主管的直管段比较短,测点离三通较近,测试结果的可靠性欠佳。因此,通过测得的电流值用公式(1)计算出风机的轴功率,在风机性能曲线上找出空调箱在50HZ运行时的风量和风压。

$$N = \sqrt{3} I \cdot U \cdot \cos \varphi \cdot \eta_1 \cdot \eta_2 \tag{1}$$

其中: N 为电机功率 (KW); U 为电压 380V; I 为电流 A; $\cos \varphi$ 为功率因数风机类在 $0.8 \sim 0.85$ 之间,

取 0.825; η_1 为电机效率取 0.89; η_2 为机械传动效率 取 0.96。

表3 计算结果

	已知	测量值	计算值	运行工况(点 A)		运行工况(点A)		设计值(点B)	
	风机转 速 RPM	电流 (A)	计算轴 功率 (KW)	风量 (m³/h) 风压值 (Pa)		风量 (m³/h)	风压值 (Pa)		
工频	1350	40	17.86	50000	740	42000	1109		

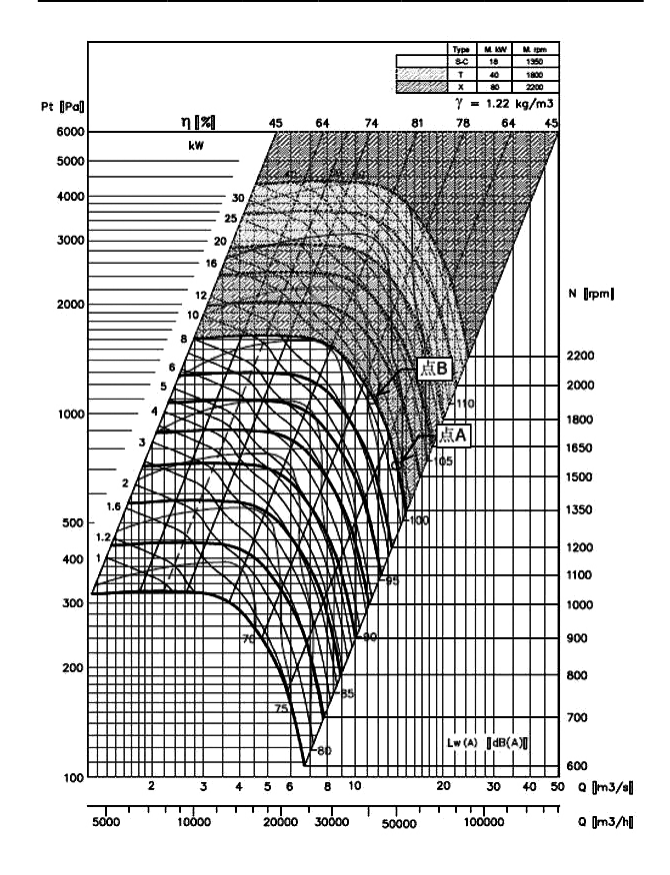


图 7 风机性能曲线

从风机性能曲线上看出在同一转速下风机压头减小,风量增加,运行的工况点向右偏离,风机的效率下降,风机的噪音增加。此外,风机风量过大,风速过高造成气流噪声也是系统噪声增加的因素。

4.2 机房噪声泄漏

比较表 2 的实测值、A 声级曲线和 C 声级曲线的值可以看出,机房内的噪音值满足标准而机房外的噪音值高于计算值,特别是低频噪音两者的差值更大,可判定存在噪声泄漏。经过现场踏勘发现电气桥架进入机房未封堵、穿墙管道封堵不严、风管与墙体之间的空隙封堵不到位等问题。此外,空调机房的砖墙采用了加气混凝土,墙体未粉刷就做了墙体吸音板,墙体材料密实度不够,也削弱了墙体的隔声能力。

5 采取的措施

5.1 风机风量调整

为了使空调箱的风量和风压满足设计要求,可 以采用更换电机皮带轮以改变风机转速或者变频改 变转速两种方法。如果采用变频的方法,会使得正 常运行后系统风量可调节的幅度变小, 因此, 首选 采用更换电机皮带轮的方法。电机皮带轮和风机皮 带轮的关系如下: 在风机皮带轮不改变的情况下, 要减小风机转速,必须减小电机皮带轮。风机原配 的电机皮带轮尺寸为 280mm, 风机皮带轮尺寸为 300mm, 50HZ 时的转速为 1350RPM, 30HZ 时的转 速为 1215RPM。电机皮带轮更换为直径 224mm 和 直径 250mm 后,又进行了风速和机房噪音的实测, 测试数据见表 4:

	1 12 1 10 1 10 1 10 1 10 1 10 1 10 1 10													
序号	电机 皮带轮	风机 皮带轮	频率	风机 转速	电流	回风 风速	机房噪音 (dB(A))							
	mm	mm	Hz	rpm	A	m/s	a	b	С	d				
1	224	300	50	1080	24	7.5	65	68	67	63				
2	224	300	38	820	19	6	61	66	65	57				
3	250	300	50	1208	28	13.5	70	73	70	67				
4	250	300	38	918	20	10.5	65	67	66	64				

表 4 皮带轮相关的测试数据

噪音的测试位置见图 8 中的 a、b、c、d 点:

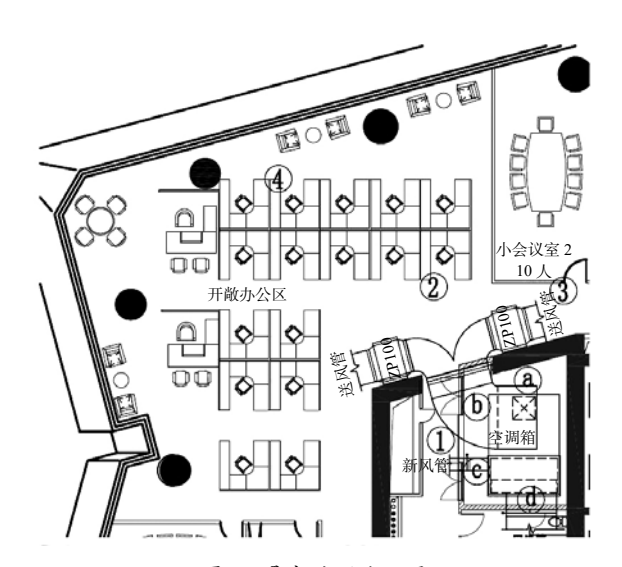


图 8 噪音的测试位置

从测试数据来看, 电机皮带轮 =224mm 时, 风 管的风速, 机房的噪音都满足设计要求, 因此, 选 择将电机的皮带轮改为 224mm。

5.2 减小气流噪音

空调箱出风口的尺寸为900×900,出口风速为 14.4 的 m/s。气流从风机出来后, 先经过一个变径, 随之而来的是90°急转弯和裤衩三通,这使得气流 流线发生急剧变化,同时在局部区域会形成涡旋, 造成能量损失、气流噪音和风管的振动。因此,采 取了两个措施以改善出风主管的气流,减小出风侧 的系统噪音。

首先, 扩大空调箱出风口的面积。结合设 备参数,将空调箱出风口由原900×900扩大为 1300×1300. 出风风凍降为 6.9m/s。

然后,对主风管的裤衩三通进行改造,形成 导流消声三通。在一分为二的三通处,增加吸声空 腔,具体要求为:三通两边的弧形板上开孔,孔径 3mm, 穿孔率 15%~20%, 空腔内填 48K 玻璃棉, 玻璃棉外包无纺布或玻璃丝布, 空腔厚度匹配三通 弧形板, 空腔外包镀锌钢板。

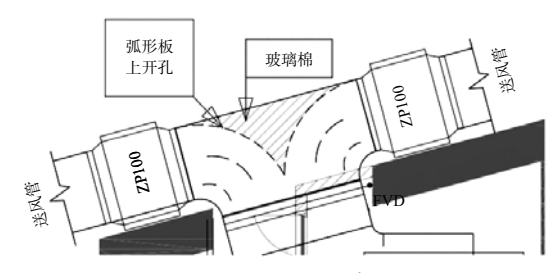


图 9 裤衩三通的消声改造

5.3 完善建筑隔声

对前期发现的封堵不严密等问题采取了一系列 的补救措施。隔声门垂直面上的胶条重新进行安装, 并清除门缝杂物,确保能关闭严密。空调机房的砖 墙部分拆除已安装的吸声板,增加粉刷层,粉刷厚 度约 75mm,增加墙体的质量和隔声能力,待砖墙 按要求粉刷后,再次安装吸声板。风管上方孔洞利 用双组份胶水(如107胶水等)加贴板材进行封堵。 穿墙管道封堵不严处按设计要求补充封堵。

6 改造后的实测

经过一系列的改造后, 在机房旁和走廊内测试 了噪音值,除了就近办公点的噪音略超过标准值, 其余三点的值均满足了设计标准。测试值详见表 5, 测试点详见图 7 中的①、②、③、④点。经分析, 在就近办公点测试时办公桌上的电脑在运行, 使得 测试值超过了设计标准。

 机房走 机房内 ②就近办 ③ 3m 4 10m 频率 电流 公点噪声 噪声 序号 噪音 道噪声 噪声 Hz dB(A) dB(A) dB(A) Α dB(A) dB(A) 46 26 39 39 62 38 35.5 20 39.5 50

表 5 34 层的实测值

7 设计体会

在办公项目中, 空调机房的噪音对办公区域的 影响时有发生。在本项目的调整过程有以下几点体 会:

- (1)设计要求的各项隔声和消声措施要落实到 位。
- (2) 空调箱出风口至机房外的主风管的气流顺 畅很重要。空调箱出风口的气流速度往往较大,气 流局促, 弯头的转弯半径过小都会使得高速气流撞 击风管产生振动,振动转化为噪音顺着风管传到机 房外。
- (3) 空调箱风机要确保运行的工作点在风机的 高效工作范围内。
- (4) 空调系统的消声是否成功直接取决于消声 器、消声弯头和消声静压箱的设计和质量。但是,

目前消声设备的制造质量没有相关的行业认证,是 否采用了合格的消声设备无法证实,消声量是否满 足产品标准要求,无从知晓。因此,要求制造商要 有保证产品质量的措施和体系,且需根据实际的管 线情况进行详细的声学计算后配备相应的消声产品。

- (5)《民用建筑隔声设计规范》GB 50118-2010 中 8.2.1 条规定, 办公室干产生噪音的房间之 间隔墙的空气隔声高要求标准值为 50dBA, 低限标 准值为 45dBA。有条件的工程官参照高标准值来执 行。
 - (6) 机房隔墙墙体应采用密实度高的材料。

参考文献

[1] 卢庆普,翁仪壁,熊文波,张国宁,等.《室内低 频噪声评价探讨(二)》——C声级与A声级的关 系全国环境声学电磁辐射环境学术会议,2003年.

会议活动

2019 年净化技术学术年会通知

在"推动中国产业高质量发展"的大背景下,与 之相关的医疗、制药、公共卫生、室内环境、生物安全、 电子信息等产业必将进一步拓宽发展空间,进入蓬勃 发展期,成为未来重要的经济增长点,这也是净化技 术与净化企业发展的大好机遇。为更深入地探讨净化 技术的创新、跨越、实现高品质、低能耗的环境控制 目标, 兹定于9月21~22日在深圳召开"2019年净化 技术学术年会",年会主题为"创新跨越品质低耗"。

会议内容包括医疗体系与医疗环境控制、人居环 境与空气净化、生物净化与实验室环境控制、工业净 化用房与相关受控环境控制、空气净化技术进展与相 关净化装置、医用空调及相关设备等。

2019 年通风技术学术年会通知

随着生活水平的提高和生活方式的改变, 人们对 于空气品质的要求也越来越高,通风技术作为改善居 住环境、工业环境及各类人工环境的重要途径, 日益 受到民众关注。为深入讨论室内通风技术与人体健康 的相关议题,兹定于10月在湖南省长沙市召开"2019 年通风技术学术年会"。

会议内容包括室内通风与空气质量,室内通风与 健康效应,室内通风与热环境,室内通风模拟、监测 与评价技术,室内通风与疾病传播,室内通风相关政 策、法规与标准,室内通风与热舒适,室内通风与健 康问题多学科交叉研究等。





60余年国家科研机构传承

打造更适合中国健康生活环境节能产品

杭州源牌科技(国电能源)源自于 电力工业部杭州机械设计研究所,传承 其60余年国家级科研院所的厚重历史以 及文化底蕴,具有人才、科研、产品、 市场等综合资源优势,是服务于能源电 力、建筑环境、智慧水务等领域的国家 重点高新技术企业。

源牌——蓄能及变风量空调领跑企业,高端中央空调与智能仪表智造者。拥有蓄冰盘管、水蓄能装置、变风量末端装置、智慧能源监控等核心产品和一体化解决方案,利用物联网技术打造中央空调专业服务平台,致力于为客户创造健康、舒适、节能的人居环境。





源牌蓄冰装置



源牌水蓄能装置



地址: 杭州市青山湖科技城大园路聚贤街1号

电话: 0571-61110372

全国服务热线: 400 926 6646





数据中心 制冷&散热系统整体解决方案

申菱是一家以空调制冷、环境治理、能源管理为方向, 集研发设计、生产制造、营销服务、工程安装、运营维护为一体 的国家火炬计划重点高新技术企业,致力于打造数据中心高量代名词!





